

ฉบับนี้พบขาด

เอกสารนี้เป็นเอกสารที่สงวนไว้สำหรับการใช้งานเพื่อการศึกษาเท่านั้น ไม่อนุญาตให้นำไปใช้ประโยชน์ด้านการค้า
ไม่ว่ากรณีใดๆทั้งสิ้น อีกทั้งห้ามมิให้ตัดแปลงเนื้อหา และต้องอ้างอิงถึงเจ้าของเอกสารทุกแห่งที่พิมพ์ไปใช้

023203

- ๑๓๓.๖๕๓๒

เฝ. เอ็ม. รีโมท สปีดเกอร์ ซีสเค็ม

นาย ชัยชนะ ภัทรสว่างวงศ์

นาย บัญญา สิทธิเวช

ได้รับการพิจารณาอนุมัติให้นับเป็นส่วนหนึ่งของการศึกษา

ตามหลักสูตร ปริญญาอุตสาหกรรมศาสตรบัณฑิต

สาขาวิชา เทคโนโลยีโทรคมนาคม



คณะกรรมการตรวจสอบวิทยานิพนธ์

.....ประธานกรรมการ

()

.....กรรมการ

()

.....กรรมการ

()

หัวหน้าภาคเทคนิคอุตสาหกรรม

.....

()

เอกสารนี้เป็นเอกสารที่สงวนไว้สำหรับการใช้งานเพื่อการศึกษาเท่านั้น ไม่อนุญาตให้นำไปใช้ประโยชน์ด้านการค้า
ไม่ว่ากรณีใดๆทั้งสิ้น อีกทั้งห้ามมิให้ดัดแปลงเนื้อหา และต้องอ้างอิงถึงเจ้าของเอกสารทุกครั้งที่มีการนำไปใช้

หัวข้อปริญญานิพนธ์ ระบบการส่งสัญญาณเสียงผ่านสายไฟฟ้าแบบ
 เลข เอ็ม เฟสล็อกคูลูป (F.M. Phase Locked Loop)
 ชื่อ นาย ชัยชนะ ภัทรสว่างวงศ์ รหัส 30.3503
 นาย ปัญญา สิทธิเวช รหัส 30.3512
 อาจารย์ที่ปรึกษา ผ.ศ. วิชัย สุรพัฒน์
 ภาควิชา เทคนิคอุตสาหกรรม
 คณะวิศวกรรมศาสตร์
 ปีการศึกษา 2534

บทคัดย่อ

ปริญญานิพนธ์เล่มนี้ได้จัดทำขึ้นเพื่อเป็นคู่มือในการทำ Project เรื่อง เฟส ล็อกคูลูป ซึ่งจะกล่าวถึงการประยุกต์ใช้งานในเครื่อง Intercom ซึ่งประกอบด้วย ภาควิชาส่งสัญญาณและภาควิชารับสัญญาณ (Transmitter & receiver) หลักการทำงานของเครื่องจะใช้หลักการเรโซแนนซ์ของความถี่ในการส่งและรับ คลื่นสัญญาณซึ่งเป็นคลื่นแบบเอฟ เอ็ม โดยเครื่องส่งสัญญาณขับเปลี่งเข้าไปยัง สายไฟฟ้าขนาด 220 โวลต์ โดยผ่านวงจรเรโซแนนซ์ทางเครื่องรับโดย ขับเปลี่งเอาสัญญาณออกจากสายไฟฟ้าและทำการกัมนอกสัญญาณเฟสล็อกคูลูป ในระบบเครื่องส่งสัญญาณจะประกอบด้วยภาคมอดูเลเตอร์ ภาคขยาย วงจร จูน และแหล่งจ่ายกำลัง ระบบของเครื่องรับสัญญาณประกอบด้วย วงจรจูน ภาคลิมิตเตอร์ ภาคกัมนอกสัญญาณ ภาคขยายเสียง และแหล่งจ่ายกำลังไฟฟ้า เครื่องจะใช้ติดต่อพูดคุยสื่อสารกันได้เป็นอย่างดีก็โดยเพียงแต่เสียบปลั๊กเข้ากับ ไฟ 220 โวลต์ในเฟสเดียวก็แล้ว

Thesis Title PLL FM Remote Speaker System
 Name Mr. Chaichana Pattarasawangwong
 Mr. Punya Sidhivech
 Thesis Advisor Mr. Vichai Surapat
 Department Industrial of Technology
 Faculty Engineering
 Academic Year 1988

ABSTRACT

This Thesis is written for a special project of Phase Locked Loop with mention in its application in intercom. The intercom consists of two parts, transmitter and receiver.

The principle of its operation uses natural resonance frequency in transmitting and receiving the carrier in F.M. format. In transmitter, the carrier will be transmitted to the 220 v. power line with coupled by tune circuit. The receiver receives the carrier detected by tune circuit from the power line and demodulated by PLL. In transmitter system consists of modulator, amplifier, tune circuit and power supply. In receiver system consists of tune circuit, differential amplifier, limiter, demodulator, audio amplifier and power supply. By plugging the transmitter and receiver system to the 220 V. power line, we can transmit the audio signal well.

สารบัญ

		หน้า
	บทคัดย่อภาษาไทย	ก
	บทคัดย่อภาษาอังกฤษ	ข
	บทนำ	1
บทที่ 1	หลักการทํางานของระบบ	3
	1.1 หลักการทํางานของภาคส่ง	3
	1.2 หลักการทํางานของภาครับ	4
บทที่ 2	ระบบเครื่องส่งสัญญาณ	5
	2.1 การทํางานของวงจรภายในเครื่องส่ง	5
	2.2 หน้าที่และส่วนประกอบภายใน	7
	2.3 วงจรปรับระดับของสัญญาณ	10
	2.4 วงจรจูน	12
	2.5 แหล่งจ่ายไฟ	18
	2.6 การทํางานของภาคปริโมค	20
	2.7 ภาคกำเนิดสัญญาณเรียก	23
บทที่ 3	ระบบเครื่องรับสัญญาณ	24
	3.1 วงจรจูนของเครื่องรับสัญญาณ	24
	3.2 ภาคขยายและลิ้มิตเตอร์	27
	3.3 ภาคคีมอคูเลท	31
	3.4 ภาคปริแอมป์และหลักการออกแบบวงจร	35
	3.5 ภาคขยายสัญญาณเสียง	36
บทที่ 4	ปัญหา การปรับปรุง และการทดลอง	38
	รูปวงจร เครื่องส่งที่สมบรูณ์	40
	รูปวงจร เครื่องรับที่สมบรูณ์	41
	รูปกราฟจากผลการทดลอง	42

	หน้า
บทสรุป	47
ภาคผนวก	48
กิตติกรรมประกาศ	73
เอกสารอ้างอิง	74



เอกสารนี้เป็นเอกสารที่สงวนไว้สำหรับการใช้งานเพื่อการศึกษาเท่านั้น ไม่อนุญาตให้นำไปใช้ประโยชน์ด้านการค้า
ไม่ว่ากรณีใดๆทั้งสิ้น อีกทั้งห้ามมิให้ดัดแปลงเนื้อหา และต้องอ้างอิงถึงเจ้าของเอกสารทุกครั้งที่มีการนำไปใช้

บทนำ

การติดต่อสื่อสารในยุคปัจจุบันนี้ได้มีการพัฒนาก้าวหน้าไปมาก มีการคิดค้นเทคนิคใหม่ ๆ เพื่อให้มีการรับส่งข่าวสารได้อย่างมีประสิทธิภาพ ในยุคก่อนที่จะมีการคิดค้นสารกึ่งตัวนำได้สำเร็จนั้น มนุษย์ได้คิดค้นระบบสื่อสารโดยใช้คลื่นแม่เหล็กไฟฟ้ามาได้ก่อนแล้วคือระบบ AM และระบบ FM โดยใช้หลอดไดโอดเป็นอุปกรณ์หลักในการทำงาน ซึ่งหลอดไดโอดนี้ต้องการเนื้อที่จัดตั้งและกำลังไฟมาก สำหรับในระบบ FM จะมีส่วนหนึ่งของระบบที่ทำหน้าที่เป็นภาคมอดูเลเตอร์ของระบบเครื่องส่งและภาคดีมอดูเลเตอร์หรือดีเทคเตอร์ของระบบเครื่องรับ โดยใช้หลอดไดโอดจะทำให้อุปกรณ์เครื่องรับ-ส่งมีขนาดใหญ่มาก กินกำลังไฟสูง และประสิทธิภาพยังต่ำดังที่เราจะเห็นได้จากเครื่องรับวิทยุในสมัยก่อน ต่อมาเมื่อมีการคิดค้นสารกึ่งตัวนำได้สำเร็จจึงได้มีการปรับปรุงระบบใหม่โดยใช้สารกึ่งตัวนำแทนที่หลอดไดโอด ทำให้ขนาดของอุปกรณ์สื่อสารเล็กลง แต่อย่างไรก็ดี ในระบบ FM ในภาคมอดูเลเตอร์และดีมอดูเลเตอร์ที่สมบูรณ์แบบที่ยังคงยุ่งยาก เช่น ภาคมอดูเลเตอร์ ออสซิลเลเตอร์ ของเครื่องส่งจะต้องมีอุปกรณ์กำเนิดความถี่ออสซิลเลเตอร์เพิ่มเข้ามาอีกส่วนหนึ่งนอกเหนือจากทรานซิสเตอร์หลาย ๆ ตัวที่ต่อกันเป็นวงจรถ่วง ส่วนเครื่องรับนั้นจะมีภาคออสซิลเลเตอร์และดีเทคเตอร์เป็นส่วนสำคัญของระบบ การออกแบบเพื่อใช้งานจึงยังไม่สะดวกเนื่องจากชิ้นส่วนของอุปกรณ์สารกึ่งตัวนำทรานซิสเตอร์ไดโอด ยังคงต้องจัดเป็นตัว ๆ ในแต่ละภาค สำหรับภาคออสซิลเลเตอร์และมอดูเลเตอร์ ต่อมาก็ได้มีการปรับปรุงพัฒนาอาจเรียกได้ว่าเป็น VCO (voltage control oscillator) ถ้ามีการป้อนกลับจาก A_{out} ไปเปรียบเทียบกับทางอินพุต (Input) ของวงจรเฟสล็อกเฟส ซึ่งทางเอาต์พุต (Output) มีสัญญาณ error ไปยัง VCO แล้วลักษณะของวงจรดังกล่าวจึงเรียกว่าเฟสล็อกลูป (Phase Lock Loop) ดังที่ใช้ในการดีมอดูเลเตอร์ในระบบของเครื่องรับสัญญาณเอฟเอ็ม ระบบวงจรถ่วงในชุดทรานซิสเตอร์นี้จึงยังต้องการกำลังไฟและเนื้อที่พอควร การใช้งานจึงยังไม่สะดวก เพราะจะต้องออกแบบและจัดวางอุปกรณ์ให้เหมาะสม ข้อจำกัดอีกอย่างก็คือการคิดแปลงเพื่อนำไปใช้งานด้านอื่น ๆ จะค่อนข้างยุ่งยาก เนื่องจากยังไม่มีมาตรฐานแน่นอน

ต่อมาเมื่อถึงยุคไอซี วงจรรวมเฟสล็อกลูปผลิติดอกมาในรูปของไอซีตัวเดียวซึ่งทำให้เกิดความสะดวกในการใช้งานเป็นอันมาก การประยุกต์เฟสล็อกลูปในการใช้งานจึงเป็นเอกสัณอย่างกว้างขวางในปัจจุบันนี้ โดยเฉพาะอย่างยิ่งในด้านโทรคมนาคมให้ดังนั้นในหนังสือเล่มนี้การคำนวณว่ากรณีใดๆทั้งสิ้น อีกทั้งยังมีให้ตัดแปลงเนื้อหา และต้องอ้างอิงถึงเจ้าของเอกสารทุกครั้งที่มีการนำไปใช้

จะกล่าวถึงการประยุกต์ใช้งานของเฟสล็อคลูปเนอร์ ๘๖๕ ในเรื่องของระบบพูดติดต่อกันภายในอาคาร (InterCOM) ซึ่งใช้ระบบคลื่นเอฟเอ็ม ที่ความถี่ ๒๐๐ KHz ประกอบด้วยระบบเครื่องส่งสัญญาณและเครื่องรับสัญญาณ ลักษณะการส่งสัญญาณจะใช้วิธีการ Resonance ของสัญญาณและการกับเปลี่สัญญาณเข้ากับสายไฟฟ้า ขนาด ๒๒๐ V ในการรับสัญญาณจะคัมเปลี่สัญญาณออกจากสายไฟฟ้าผ่านภาคเลือกสัญญาณ และใช้เฟสล็อคลูปในการคัมออกคูเลเตอร์สัญญาณในการศึกษาวิจัยจะทำการศึกษาดังการทำงานของระบบ โดยการทดลองจากวงจร และทำการปรับปรุงให้เหมาะสมกับลักษณะการใช้งานที่แท้จริง เนื่องจากระบบนี้จะทำงานเกี่ยวกับความถี่ ดังนั้นในการศึกษาจำเป็นจะต้องมีความรู้ทางด้านคณิตศาสตร์ในเรื่องของฟูเรียร์ ซึ่งจะวิเคราะห์ลักษณะของสัญญาณที่เป็นไปในระบบ จึงจะสามารถทำความเข้าใจการทำงานได้เป็นอย่างดี เมื่อทำการทดลองและปรับปรุงเรียบร้อยแล้ว ต่อไปก็จะประกอบเป็นอุปกรณ์สำเร็จเพื่อนำไปใช้งาน ซึ่งจากการทดลองได้ผลเป็นที่น่าพอใจ มีประโยชน์เพื่อใช้ในการพูดติดต่อกันภายในอาคาร โดยเพียงแต่เสียบปลั๊กเข้ากับระบบไฟ ๒๒๐ V ก็จะใช้ใช้งานได้ทันที

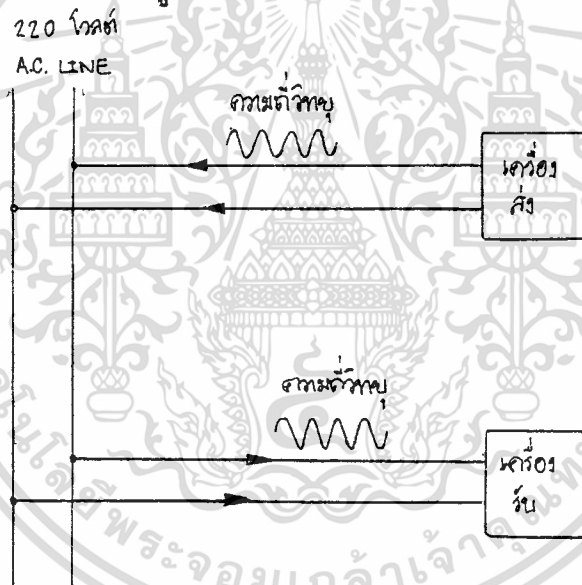
เอกสารนี้เป็นเอกสารที่สงวนไว้สำหรับการใช้งานเพื่อการศึกษาเท่านั้น ไม่อนุญาตให้นำไปใช้ประโยชน์ด้านการค้าไม่ว่ากรณีใดๆทั้งสิ้น อีกทั้งห้ามมิให้ดัดแปลงเนื้อหา และต้องอ้างอิงถึงเจ้าของเอกสารทุกครั้งที่มีการนำไปใช้

บทที่ ๑

หลักการทํางานของระบบ

ระบบการสื่อสารภายในอาคารระบบนี้เป็นระบบหนึ่งในหลาย ๆ แบบที่ใช้กันอยู่ในปัจจุบัน ในการติดต่อกันภายในอาคารโดยไม่ต้องเดินสายสัญญาณเฉพาะ ซึ่งก่อให้เกิดความยุ่งยากในการ เคลื่อนย้ายไปใช้ในอีกสถานที่หนึ่ง

เนื่องจากส่งสัญญาณเสียงเข้าไปในสาย ๒๒๐ โวลต์ โดยตรงขณะที่มีไฟ ๒๒๐ โวลต์ต่อ อยู่ไม่สามารถทำได้ ดังนั้นจึงต้องทำการมอดูเลตคลื่นเสียงเข้ากับคลื่นวิทยุที่มีความถี่ค่าแล้วจึง ส่งไปตามสาย ส่วนทางด้านตัวรับก็นำความถี่คลื่นวิทยุมาทำการดีมอดูเลต ทำให้ได้เป็นความถี่ คลื่นเสียงที่สามารถอธิบายได้ ดังรูป



รูปที่ ๑.๑ แสดงแนวความคิดที่ใช้ในการสื่อสารระบบนี้

๑.๑ หลักการทํางานภาคส่ง

ในระบบการส่งนี้จะรับสัญญาณข่าวสารจากแหล่งสัญญาณ เช่น ไมโครโฟน จากมอดูเลเตอร์แบบ หรือความถี่แทน (CODE) หรือแหล่งสัญญาณอื่น ๆ เข้ามามอดูเลต ซึ่งเป็นการผสม สัญญาณทางความถี่แบบ เอฟ เอ็ม (FM. MODULATION) ซึ่งกำหนดคลื่นพาหะ (CARRIER) ไว้แล้ว จากนั้นสัญญาณที่ผสมแล้วจะนำไปขยายกำลังที่ภาคอาร์เอฟ แอมพลิฟาย (RF. AMPLIFIER) แล้วจูน (TUNE) ความถี่ที่ต้องการ แล้วส่งผ่านเข้าสายไฟที่ ๒๒๐ โวลต์

เอกสารนี้เป็นเอกสารที่สงวนไว้สำหรับการใช้งานเพื่อการศึกษาเท่านั้น ไม่อนุญาตให้นำไปใช้ประโยชน์ด้านการค้า ไม่ว่ากรณีใดๆทั้งสิ้น อีกทั้งห้ามมิให้ดัดแปลงเนื้อหา และต้องอ้างอิงถึงเจ้าของเอกสารทุกครั้งที่มีการนำไปใช้

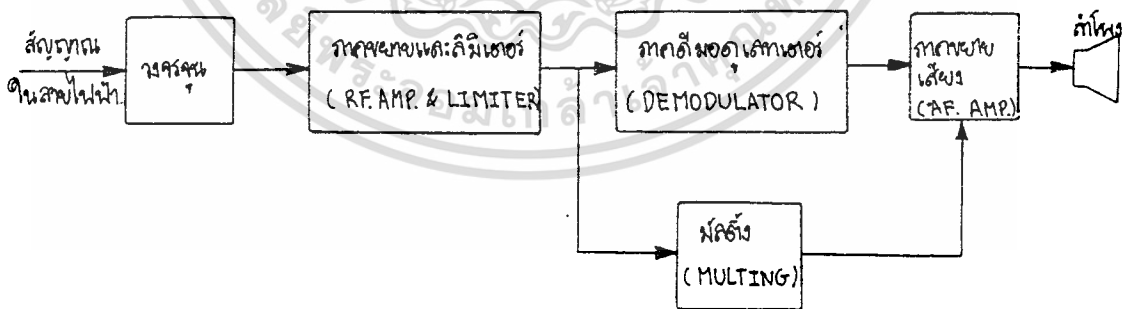


รูป ๑.๒ บล็อกไดอะแกรมการทำงานของเครื่องส่ง

๑.๒ หลักการทำงานของภาครับ

เมื่อรับสัญญาณจากสายอากาศที่เครื่องส่ง ส่งมา ทำการจูนความถี่หาหะที่ต้องการผ่านเข้าไปขยายให้แรงขึ้น และ สัญญาณจะถูกจำกัด (LIMIT) โดยทำให้ขนาดแอมพลิจูด (AMPLITUDE) ของสัญญาณคงที่ เนื่องจากการส่งแบบ FM นั้นขนาดของสัญญาณจะไม่มีผลต่อการตีมอดูเลต (DEMODULATION) ซึ่งสัญญาณที่ได้จากการตีมอดูเลตจะถูกทำการขยายออกแล้ว

ส่วนภาคมัลติ่ง (MULTING) มีไว้เพื่อตัดเสียงรบกวน (NOISE) เมื่อไม่มีคลื่นพาหะส่งเข้ามา



รูป ๑.๓ บล็อกไดอะแกรมการทำงานของเครื่องรับ

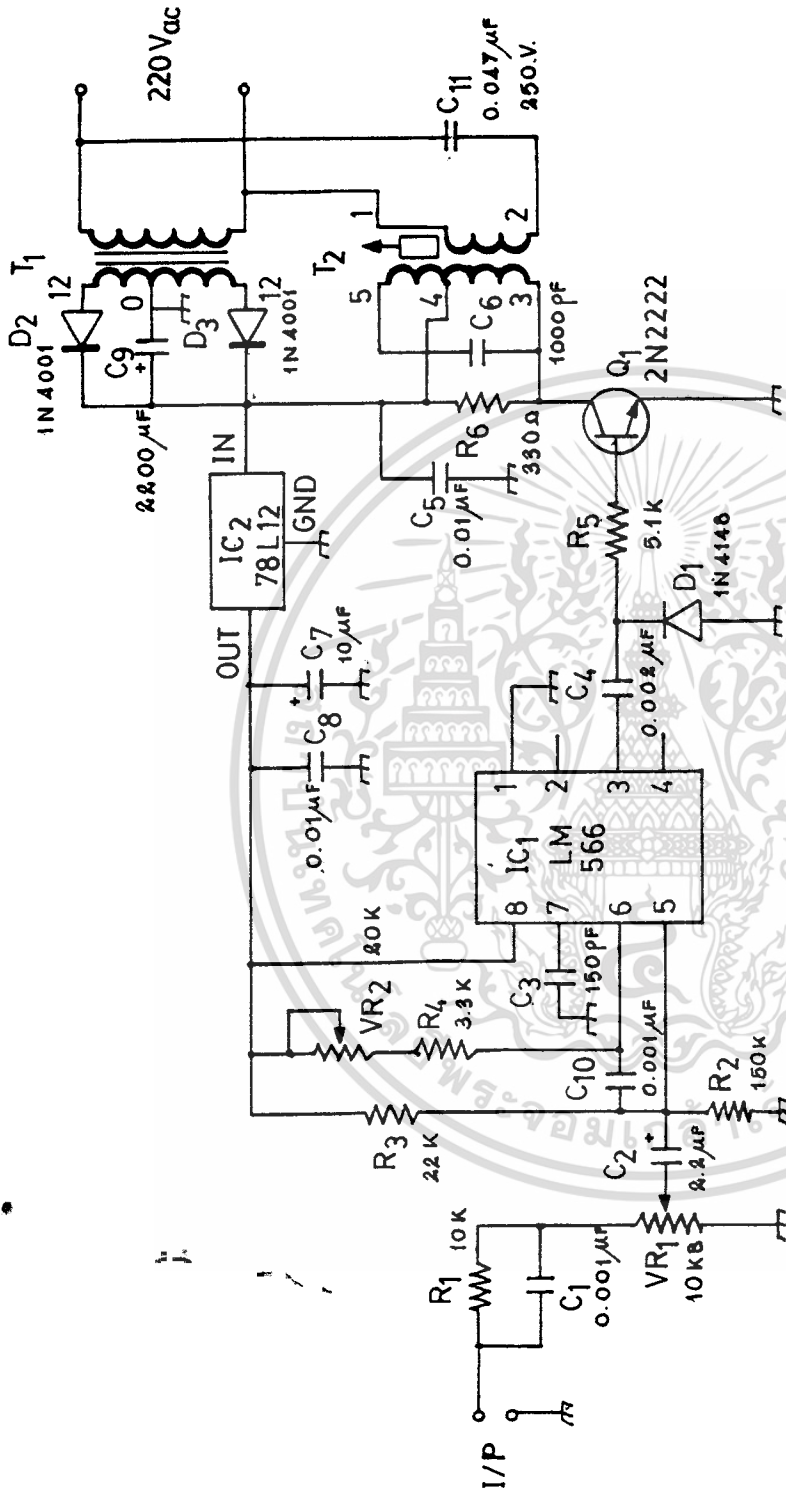
บทที่ ๒

ระบบเครื่องส่งสัญญาณ

๒.๑ การทำงานของวงจรภายในเครื่องส่ง

รูปที่ ๒.๑ เป็นวงจรเครื่องส่งใช้ ไอ ซี เบอร์ LM ๕๖๖ ซึ่งเป็นตัวกำเนิดความถี่ควบคุมด้วยแรงดัน หรือ VCO (VOLTAGE CONTROL OSCILLATOR) ทำหน้าที่มอดูเลตแบบ F.M. (FREQUENCY MODULATION) โดยกำหนดความถี่กลางหรือคลื่นพาหะ (f_0) ด้วย R_4 VR_2 และ C_3 ในวงจรนี้เลือกใช้ความถี่คลื่นพาหะในช่วง ๒๕๐ KHz ซึ่งเป็นช่วงที่เหมาะสมในการใช้งานในลักษณะนี้ ถ้าหากความถี่สูงเกินไปก็จะเกิดการสูญเสียในสาย เนื่องจากไม่ใช่เป็นสายส่งสัญญาณโดยตรง และถ้าหากความถี่ต่ำเกินไป จะทำให้เกิดการรบกวนจากความถี่ใกล้เคียง หรือ นอยซ์ (NOISE) ได้

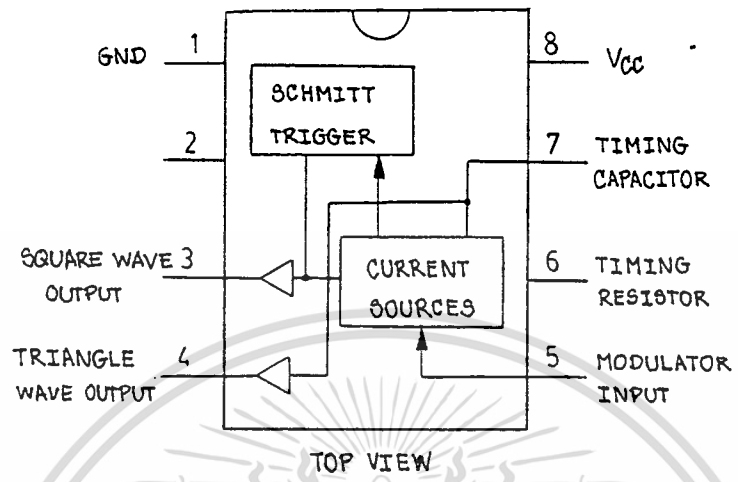
สัญญาณอินพุตที่ถูกป้อนผ่าน R_1 , C_1 เพื่อช่วยการตอบสนองความถี่ด้านความถี่สูงให้ดีขึ้น มี VR_1 เป็นตัวปรับสัญญาณไม่ให้เกิดการโอเวอร์มอดูเลต ที่ทำให้เสียงเพี้ยนได้ ส่วน R_2 และ R_3 เป็นตัวกำหนดระดับแรงดันอินพุตที่ขา ๕ (V_s) จะอยู่ในช่วง $\frac{1}{10} V_{cc}$ จนถึง V_{cc} เมื่อไดโอดเออร์พุทจากขา ๓ ของ IC₁ ซึ่งเป็นคลื่นสี่เหลี่ยม ความถี่ ๒๕๐ KHz จะคัปปลิง (COUPLING) ผ่าน C_4 และ D_1 ซึ่งต่อเป็นวงจรปรับระดับสัญญาณ (CLAMPER) ป้อนให้ทรานซิสเตอร์ Q_1 โดยมี R_5 เป็นตัวกำหนดไบอัส ทำการขยายกำลังให้สูงขึ้นและให้หม้อแปลงไอเอฟ T_1 ขุนเอาสัญญาณความถี่ที่ขยายแล้วนี้ คัปปลิงผ่าน C_{11} เข้าไปยังสายไฟ ๒๒๐ โวลต์ การจูนนั้นจะมี C_6 เป็นตัวกำหนดความถี่เรโซแนนซ์ (RESONANCE) ส่วน IC 78L12 นั้นเป็นตัวจ่ายไฟเลี้ยงแบบคงที่ (12V) ให้กับ IC LM ๕๖๖ ส่วนไดโอด D_2 , D_3 เป็นไดโอดเรกติไฟ (RECTIFIER) ให้เป็นไฟ ดี ซี ส่วน C_9 จะทำหน้าที่ฟิวเจอร์แรงดันให้เรียบ ส่วน C_5 , C_7 , C_8 เป็นตัว BYPASS ความถี่สูงลงกราวด์



รูป 2.1 วงจรเครื่องส่ง

เอกสารนี้เป็นเอกสารที่สงวนไว้สำหรับการใช้งานเพื่อการศึกษาเท่านั้น ไม่อนุญาตให้拿去ใช้ประโยชน์ด้านการค้า
ไม่ว่ากรณีใดๆทั้งสิ้น อีกทั้งห้ามมิให้ดัดแปลงเนื้อหา และต้องอ้างอิงถึงเจ้าของเอกสารทุกครั้งที่มีการนำไปใช้

๒.๒ หน้าที่และส่วนประกอบภายในไอซี LM ๘๖๖



รูป ๒.๒ ส่วนประกอบภาคต่าง ๆ ในไอซี LM๘๖๖

จากวงจรเครื่องส่งสัญญาณจะใช้สัญญาณเมอดูเลทจากขา ๓ ของไอซี ซึ่งเป็นคลื่นสี่เหลี่ยม ส่วนขา ๕ จะเป็นคลื่นสามเหลี่ยม ระดับแรงดันอินพุทที่ขา ๕ จะอยู่ในช่วง $\frac{3}{4} V_{cc}$ ถึง V_{cc} ซึ่งแรงดันที่ขา ๕ (V_5) หาได้จาก

เมื่อ $\frac{3}{4} V_{cc} \leq V_5 \leq V_{cc}$
 จาก VOLTAGE DIVIDER (V_5)

$$V_5 = \frac{R_2}{R_2 + R_3} \cdot V_{cc}$$

 กำหนด $R_2 = 150\text{ K}$, $R_3 = 22\text{ K}$

$$V_5 = \frac{150\text{ K}}{150\text{ K} + 22\text{ K}} \cdot V_{cc}$$

$$= 10.4 \text{ โวลท์}$$

จะได้ $10.4\text{ V} \leq V_5 \leq 12\text{ V}$ ซึ่งยังอยู่ในข้อกำหนดของไอซี ส่วน C_2 ที่ต่อระหว่างขา ๖ กับ ขา ๕ เพื่อป้องกันการรอสจิลเลท ขณะ VCO กำลังทำงาน

สำหรับความถี่ออสซิลเลเตอร์หรือความถี่คลื่นหาเม้น เราควบคุมได้โดยคาปาซิเตอร์ที่ขา ๘ (TIMING CAPACITOR) และความต้านทาน R_4 , VR_2 ที่ขา ๖ (TIMING RESISTOR) ดังนั้นเราสามารถหาความถี่คลื่นหาเม้น (f_0) จาก

เอกสารนี้เป็นเอกสารที่สงวนไว้สำหรับการใช้งานเพื่อการศึกษาเท่านั้น ไม่อนุญาตให้นำไปใช้ประโยชน์ด้านการค้า ไม่ว่าจะกรณีใดๆทั้งสิ้น อีกทั้งห้ามมิให้ดัดแปลงเนื้อหา และต้องอ้างอิงถึงเจ้าของเอกสารทุกครั้งที่มีการนำไปใช้

$$f_0 = \frac{2(V_{CC} - V_5)}{R_4 C_3 V_{CC}}$$

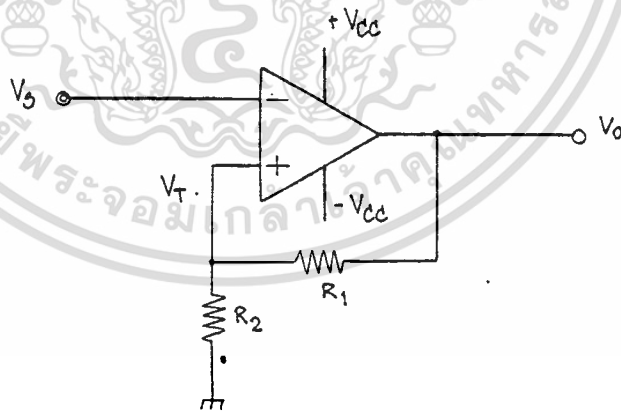
เมื่อ $2\text{ K}\Omega < R_4 < 20\text{ K}\Omega$

กำหนด $f_0 = 250\text{ KHz}$, $C_3 = 150\text{ PF}$

จะได้ $R_4 = \frac{2(V_{CC} - V_5)}{f_0 C_3 V_{CC}}$
 $= 7.1\text{ K}\Omega$

เนื่องจาก $R_4 = 7.1\text{ K}\Omega$ ไม่มีขายจึงใช้ $R_4 = 8.2\text{ K}\Omega$ ต่อกันร่วมกับ $V_{R2} = 20\text{ K}\Omega$ เพื่อช่วยปรับความถี่ให้ตรง 250 KHz ตามต้องการ

จากบล็อกไดอะแกรม รูปที่ ๒.๒ จะเห็นว่ามีส่วนที่สำคัญอยู่ ๒ ส่วนภายในไอซี คือ วงจรชmittริกเกอร์ (SCHMIT TRIGGER) หรือเรียกว่ารีเจนเนอเรทีฟคอมพาราเตอร์ (REGENERATIVE COMPARATOR) และส่วนของวงจรแหล่งจ่ายกระแส (CURRENT SOURCE) หลักการทำงานของวงจรชmittริกเกอร์นั้นยกตัวอย่างอธิบายได้ ดังรูปที่ ๒.๓



รูปที่ ๒.๓ วงจร อินเวอร์ตติ้ง ชmittริกเกอร์

จากรูปที่ ๒.๓ ถ้าใส่ตัวป้อนกลับ (FEED BACK) เข้าที่ขาบวกของ OP - AMP สถานะของวงจรจะกลับ กับสถานะของลิเนียร์ วงจรจะไม่เป็นลิเนียร์ (NON-LINEAR) อีกต่อไป การเพิ่มขึ้นของโวลต์เทส (+V) มากกว่า (-V) และถูกขยายโดย A เท่าของ OP-AMP แล้วถูกป้อนกลับมายังขาบวกของ OP-AMP จะยังสูงกว่า V_0 ให้เป็นบวกมากกว่าค่าจนกระทั่งเอาต์พุตเป็นเอาต์พุตที่สูงจนไว้สำหรับการใช้งานเพื่อการศึกษาเท่านั้น ไม่นอนญาติให้นำไปใช้ประโยชน์ด้านการค้า V_0 SATURATE ที่ $+V_{CC}$ ในขณะของเล็กลงกับค่า (+V) ต่ำกว่า (-V) แล้ว V_0 จะไม่ทำงานใดๆทั้งสิ้น อีกทั้งยังไม่มีเหตุเปลี่ยนแปลงเนื้อหา และต้องอ้างอิงถึงเจ้าของเอกสารทุกครั้งที่มีการนำไปใช้



เป็นลบมากขึ้นเรื่อย ๆ จน SATURATE ที่ $-V_{CC}$

$$\text{จากรูป } V_T = \frac{R_2}{R_1 + R_2} (\pm V_o)$$

$$\text{สภาวะที่ ๑ } V_s < \frac{R_2}{R_1 + R_2} \cdot V_o$$

$$\text{ให้ } R_1 = R_2, \quad V_s < \frac{1}{2} V_o, \quad V_o \approx +V_{CC}$$

$$V_{CC} = 20; \quad V_s < \frac{1}{2} (+20)$$

$$V_s < 10$$

ถ้าที่ขั้ว V_s สมมุติว่าป้อนเข้ามาน้อยกว่า $10V$ สมมุติ $9V$

$$\text{จะได้ } V_s = 9V, \quad V_T = 10V$$

$\therefore V_o$ จึงเป็นบวก ($+20$ โวลต์)

สภาวะที่ ๒

$$V_o = -V_{CC} = -20$$

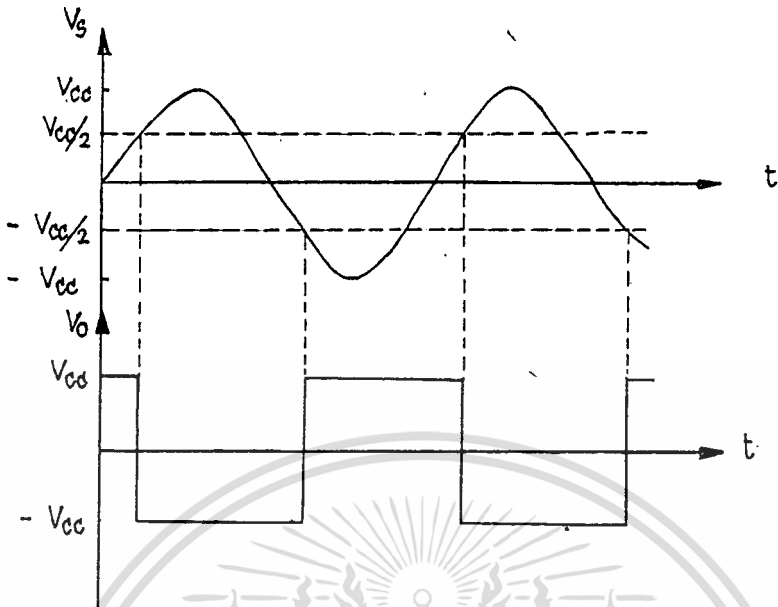
$$V_s > \frac{1}{2} (-20)$$

$$> -10$$

ถ้าที่ขั้ว V_s เข้ามา $-9V$, $V_T = -10V$

$\therefore V_o$ จึงเป็นลบ (-20 โวลต์)

OUTPUT STATE	CORRESPONDING INPUT RANGE
$+V_{CC}$	$V_s < \frac{R_2}{R_1 + R_2} \cdot V_{CC}$
$-V_{CC}$	$V_s > -\frac{R_2}{R_1 + R_2} \cdot V_{CC}$



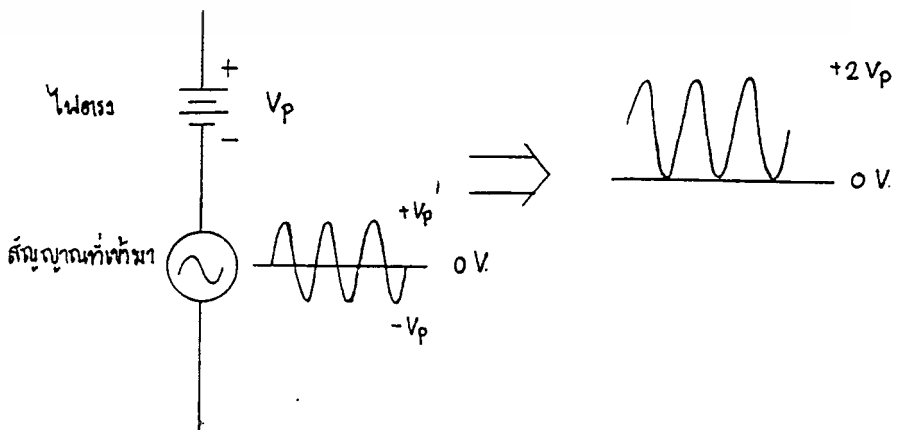
รูป ๒.๔ การตอบสนองของวงจรซิมิทริกเกอร์ต่อสัญญาณอินพุต

ดังนั้นถ้าหากว่าเราบ่อนสัญญาณเสียงซึ่งมีความถี่ของเสียงมีการเปลี่ยนแปลงจะทำให้ทางเอาต์พุตมีความถี่เปลี่ยนแปลงไปด้วย

สำหรับส่วนของวงจรแหล่งจ่ายกระแส (CURRENT SOURCE) นั้นจะให้กระแสทางเอาต์พุตไปยังวงจรซิมิทริกเกอร์ โดยมีการเปลี่ยนแปลงของกระแสขึ้นอยู่กับสัญญาณอินพุตนั้นคือสัญญาณอินพุตสามารถเปลี่ยนแปลงกระแสจากแหล่งจ่ายกระแสได้

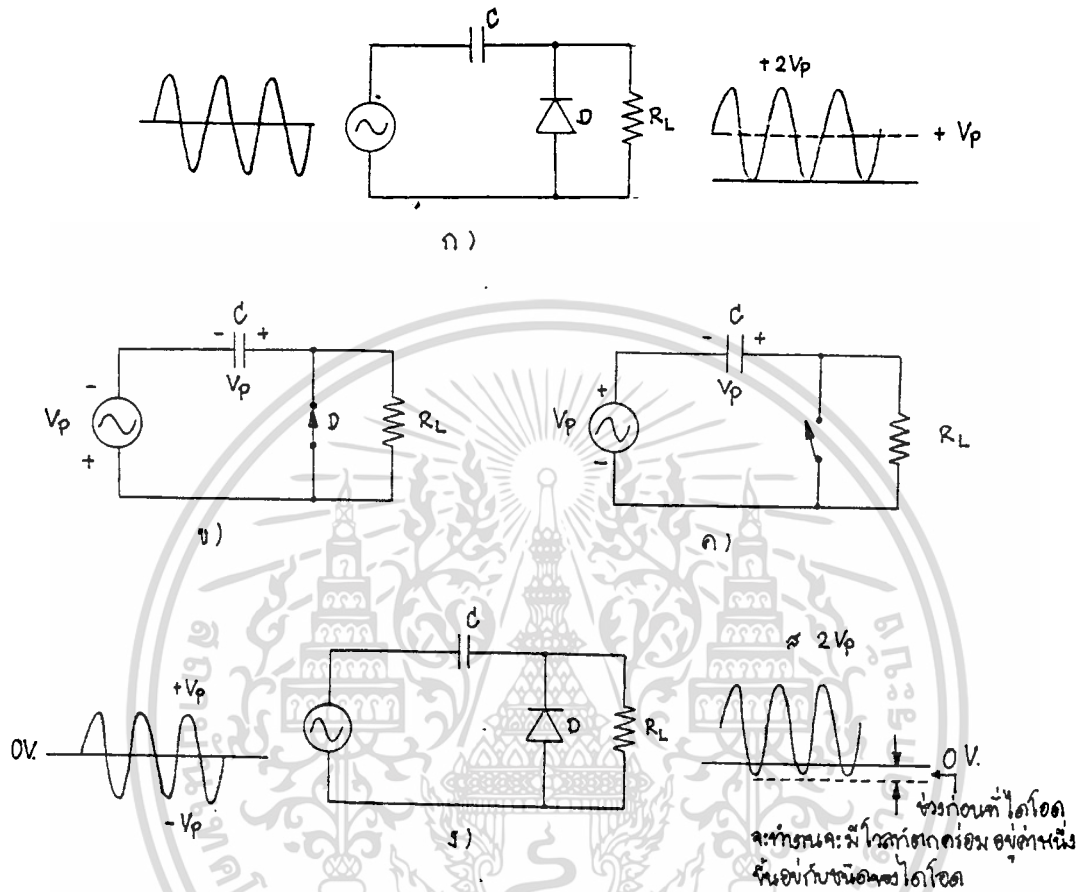
๒.๓ วงจรปรับระดับของสัญญาณ (CLAMPER)

วงจรปรับระดับของสัญญาณคือการรวมค่าไฟตรง (D.C. VOLTAGE) กับสัญญาณที่เข้ามา (INCOMING SIGNAL) จากตัวอย่างรูป ๒.๕



เอกสารนี้เป็นเอกสารที่สงวนไว้สำหรับการใช้งานเพื่อการศึกษาเท่านั้น ไม่อนุญาตให้นำไปใช้ประโยชน์ด้านการค้า
 รูปที่ ๒.๕ การปรับระดับแบบบวก
 ไม่ว่าจะกรณีใดๆทั้งสิ้น อีกทั้งห้ามมิให้ตัดแปลงเนื้อหา และต้องอ้างอิงถึงเจ้าของเอกสารทุกครั้งที่มีการนำไปใช้

ไฟตรงกับสัญญาณที่เข้ามาจะถูกปรับระดับรวม ≈ 1 โวลต์คี่ซี กับสัญญาณที่เข้ามา เรียกว่า การปรับระดับแบบบวก ส่วนวงจรที่ใช้งานจริงจะมีลักษณะ ดังรูป ๒.๖ ก



รูป ๒.๖ แสดงการทำงานของวงจรปรับระดับแบบบวก

การทำงานของวงจรปรับระดับแรงดันแบบบวกตอนแรกให้สัญญาณที่เข้ามาช่วงลบเข้ามา ก่อน ไดโอดจะเปิดวงจร (TURN ON) ดังรูป ๒.๖ ข ที่ช่วงลบนี้คาปาซิเตอร์จะชาร์จ (CHARGE) ถึง V_p ซึ่งก่อนที่ช่วงลบจะเข้ามา ไดโอดจะเปิดวงจรออกดังรูป ๒.๖ ค) ถ้า ความต้านทาน R_L และ C จะทำให้เกิด TIME CONSTANT ทำให้เกิดคาบเวลา (PERIOD) มีค่ามากกว่า T ของสัญญาณที่เข้ามา ซึ่งก็คือเหตุผลที่ C CHARGE จนเกือบเต็มในช่วงเวลาที่ ไดโอดเปิดวงจร

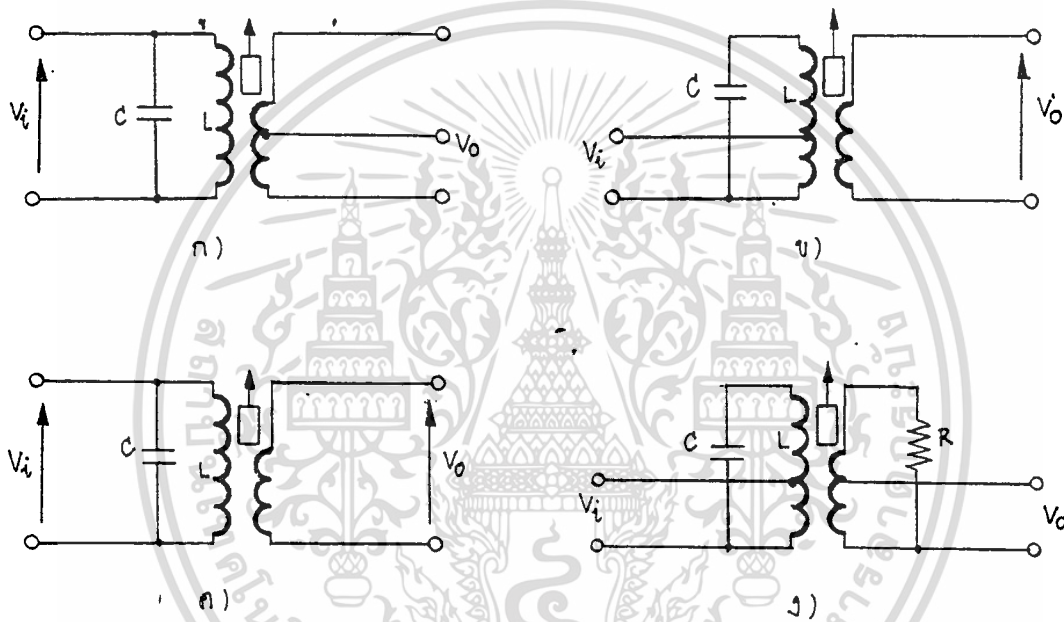
รูป ๒.๖ ง แสดงถึงวงจรที่ใช้ได้โดยปกติ ไดโอดจะมีโวลต์ตกคร่อมก่อนที่ จะทำงาน ที่ทำให้รูปคลื่นทางเอาต์พุตมีสัญญาณต่ำกว่าสัญญาณเล็กน้อย ขึ้นอยู่กับชนิดของไดโอด เมื่อเรากลับ

เอกส่าจะเป็นเอกสารที่สงวนไว้สำหรับการใช้ภายในเพื่อการศึกษาเท่านั้น ไม่อนุญาตให้นำไปใช้ประโยชน์ด้านการค้า ข้าราชการไดโอดวงจรจะกลายเป็นวงจรปรับระดับแรงดันแบบลบ (NEGATIVE CLAMPER)

ไม่ว่ากรณีใดๆทั้งสิ้น อีกทั้งห้ามมิให้ตัดแปลงเนื้อหา และต้องอ้างอิงถึงเจ้าของเอกสารทุกครั้งที่มีกรนำไปใช้

๒.๘ วงจรจูน (TUNE)

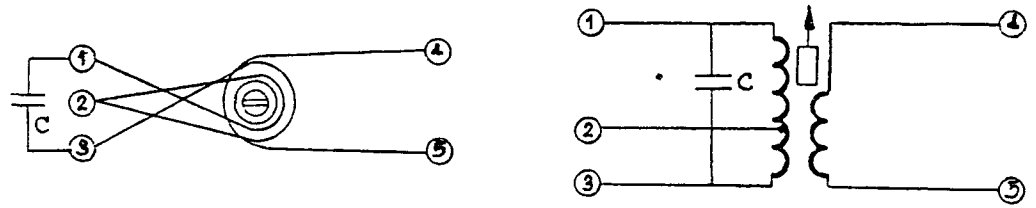
วงจรจูนของเครื่องส่งนี้เป็นวงจร LC ใช้หลักการของการรีโซแนนซ์ในการเลือกความถี่ที่เหมาะสมผ่านตัวมัน วงจรนี้ปกติจะเรียกว่าวงจรแทงค์ (TANK CIRCUIT) มีคุณสมบัติเป็นฟิลเตอร์เช่นเดียวกับ RC ฟิลเตอร์ กล่าวคือ ตัวมันจะเป็นแบนด์พาสฟิลเตอร์ (BAND PASS FILTER) จะยอมให้ความถี่ช่วงที่ต้องการผ่านเท่านั้น วงจรแทงค์สามารถจะต่อใช้งานได้หลายลักษณะตามความต้องการ ดังรูปที่ ๒.๘



รูปที่ ๒.๘ วงจรแทงค์ลักษณะต่าง ๆ

วงจรจูนของเครื่องส่งจะใช้หม้อแปลง ไอ เอฟ ของวิทยุ คัดแปลงใหม่เพื่อให้เหมาะสมกับความถี่ที่ใช้งาน ซึ่งหม้อแปลงนี้มีขายทั่วไป ซึ่งมีขนาดความถี่รีโซแนนซ์ ๔๕๕ KHz บางแบบก็มี ความถี่รีโซแนนซ์สูงถึง ๑๐.๗ MHz ที่ใช้ในวิทยุเอฟเอ็ม แต่ที่เราใช้ในเครื่องส่งนี้จะใช้ไอเอฟ ที่มี ความถี่รีโซแนนซ์ ๔๕๕ KHz. งบประมาณสี่ค่า ซึ่งมีค่าใกล้เคียง ๒๕๐ KHz มาทำการคัดแปลง

หม้อแปลงไอเอฟที่ใช้นี้ใช้ของ TOKO MODEL ๑๘๐๐๒ สี่ค่าซึ่งมีลักษณะการพัน ดังรูป ๒.๘



เอกสารนี้เป็นเอกสารที่สงวนไว้สำหรับการใช้งานเพื่อการศึกษาเท่านั้น ไม่อนุญาตให้นำไปใช้ประโยชน์ด้านการค้า รูปที่ ๒.๘ การพันขดลวดภายในหม้อแปลง ไอเอฟ และ วงจรแทงค์

ไม่ว่ากรณีใดๆทั้งสิ้น อีกทั้งห้ามมิให้ดัดแปลงเนื้อหา และต้องอ้างอิงถึงเจ้าของเอกสารทุกครั้งที่มีการนำไปใช้

หม้อแปลงไอเอฟเดิมนี้จะมีขดลวดเดิมของมันพันอยู่และมีคาปาซิเตอร์ติดมาด้วยซึ่งคาปาซิเตอร์นี้จะมีค่าความจุ ประมาณ ๑๘๐ PF และรีโซแนนซ์ที่ความถี่ ๕๕๕ KHz เพราะฉะนั้นที่ความถี่รีโซแนนซ์ (f₀) จะได้

$$\omega_0 L = \frac{1}{\omega_0 C}$$

$$L = \frac{1}{\omega_0^2 C}$$

ดังนั้นเราสามารถคำนวณค่าเหนี่ยวนำได้ เมื่อเราทราบจำนวนรอบที่พันระหว่างขั้ว ๑-๓

$$\text{ค่าความเหนี่ยวนำต่อรอบ} = \frac{1}{\omega_0^2 \cdot C \cdot N} \quad \text{N/TURN}$$

เมื่อ N = จำนวนรอบของขดลวดที่ขั้ว ๑-๓

เมื่อเราใช้ลวดเบอร์เดิม แต่ต้องการเปลี่ยนจำนวนรอบคาปาซิเตอร์และความถี่รีโซแนนซ์แล้ว เราจะสามารถคำนวณได้ เช่น เราหาค่าเหนี่ยวนำต่อรอบได้ 1×10^{-5} H และค่า C = 1000 PF และต้องการความถี่ รีโซแนนซ์ที่ ๒๕๐ KHz เราก็จะหาจำนวนรอบได้

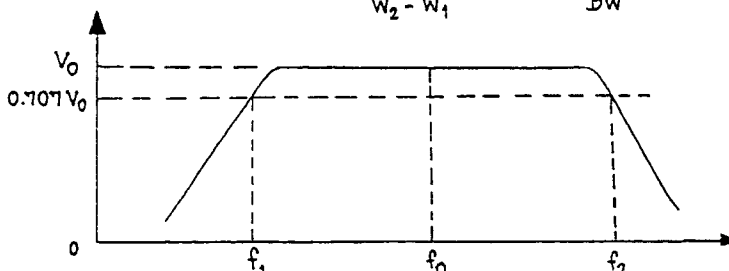
$$1 \times 10^{-5} = \frac{1}{\omega_0^2 \cdot C \cdot N}$$

$$N = \frac{1}{\omega_0^2 \times 1 \times 10^{-5}}$$

$$N = 40.52 \text{ รอบ}$$

ข้อควรคำนึงอีกอย่างหนึ่งก็คือ ค่า แยกเตอร์คุณภาพ (QUALITY FACTOR) ควรจะต้องมีค่าสูง ๆ และต้องอยู่ในเกณฑ์ที่เหมาะสม ซึ่งค่าแยกเตอร์นี้จะหาได้จาก (แสดงดังรูป ๒.๙)

$$Q_0 = \frac{\omega_0}{\omega_2 - \omega_1} = \frac{f_0}{BW}$$



เอกสารนี้เป็นเอกสารที่สงวนไว้สำหรับการใช้งานเพื่อการศึกษานี้เท่านั้น อนุญาตให้นำไปใช้ประโยชน์ด้านการค้า รูป ๒.๙ แสดงจุดลักษณะของแอมพลิจูดแอมพลิจูด

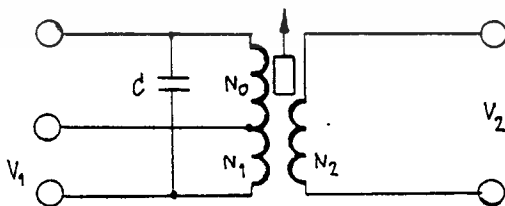
ไม่ว่ากรณีใดๆทั้งสิ้น อีกทั้งห้ามมิให้ดัดแปลงเนื้อหา และต้องอ้างอิงถึงเจ้าของเอกสารทุกครั้งที่มีการนำไปใช้

จากรูปจะเห็นว่า BW คือ ช่วงระหว่าง f_1 กับ f_2 ถ้าแบนด์วิธแคบจะทำให้ค่า Q_0 มีค่ามาก แต่ในกรณีของเครื่องส่งนี้ไม่ต้องการแบนด์วิธที่แคบเกินไป เพราะสัญญาณที่ใช้เป็นระบบเอพเอ็ม ระบบการเปลี่ยนแปลงทางความถี่แบบเอพเอ็มนี้จึงต้องการแบนด์วิธที่พอเหมาะเพราะถ้าหากว่าหม้อแปลงไอเอชเอ็มมีแบนด์วิธแคบมาก จะทำให้ความถี่บางความถี่ของเอพเอ็มไม่สามารถผ่านวงจรจนไปได้จึงทำให้การส่งเป็นไปอย่างไม่มีประสิทธิภาพ จากการมอดูเลทของ VCO ในเครื่องส่งนั้นเราปรับค่าความต้านทาน R_1 เพื่อให้สัญญาณข่าวสารมอดูเลทเข้ากับคลื่นพาหะที่ ๑๐ เปอร์เซนต์ ดังนั้นความถี่ก็จะเปลี่ยนแปลงในช่วง $๒๕๐ \text{ KHz} \pm 10\%$ คืออยู่ระหว่าง ๒๒๕ และ ๒๗๕ KHz เราจะหาแบนด์วิธ (BANDWIDTH) ได้เท่ากับ ๕๐ KHz ดังนั้นแฟกเตอร์คุณภาพจะหาได้จาก

$$Q_0 = \frac{f_0}{BW} = \frac{250 \text{ KHz}}{50 \text{ KHz}} = 5$$

สำหรับแบนด์วิธของหม้อแปลงไอเอชเอ็มสามารถหาได้จากการทดลอง จะเห็นว่าค่าแฟกเตอร์ Q_0 จากการคำนวณมีค่าต่ำ แต่จากการทดลองจะมีแบนด์วิธระหว่าง ๒๔๐-๒๖๐ KHz คือมีแฟกเตอร์ เท่ากับ ๑๐ ซึ่งความจริงควรจะมีค่าน้อยกว่านี้ แต่ในการทดลองนี้ปรากฏว่าฟิลเตอร์ยอมให้ช่วงความถี่สัญญาณผ่านช่วงตั้งแต่ ๑๕๐ ถึง ๓๕๐ KHz โดยขนาดของสัญญาณทางเอาต์พุทจะลดลงเหลือ ๑๐% ของค่าเดิม ณ จุดความถี่ (f_0)

ส่วนการคำนวณหาขนาดแรงดันทางเอาต์พุทที่ต้องการของหม้อแปลงไอเอชเอ็มซึ่งการคำนวณที่ใช้หลักการอันเดียวกันกับหม้อแปลงของไฟฟ้ากำลัง แต่ของหม้อแปลงไอเอชเอ็มจะเป็นจริงก็ต่อเมื่อใช้กับความถี่รีโซแนนซ์ของมันเท่านั้น นอกเหนือจากนี้ก็ไม่ใช้ได้เพราะมันจะลัดวงจรซึ่งความถี่ที่ไม่ต้องการจะผ่านไปได้ค่อนข้างมาก



รูป ๒.๑๐ วงจรที่ใช้ในการคำนวณหาจำนวนรอบ

เมื่อจำนวนรอบทั้งหมดทางขด PRIMARY $N = N_0 + N_1$

ค่าเหนี่ยวนำทั้งหมด $L =$ ค่าเหนี่ยวนำต่อรอบ $\times N$

เอกสารนี้เป็นเอกสารที่สงวนไว้ความถี่การใช้งาน f_0 เพื่อการศึกษา $\frac{1}{2\pi\sqrt{LC}}$ ไม่นอนุญาตให้นำไปใช้ประโยชน์ด้านการค้า ไม่ว่าจะกรณีใดๆทั้งสิ้น อีกทั้งห้ามมิให้ดัดแปลงเนื้อหา และต้องอ้างอิงถึงเจ้าของเอกสารทุกครั้งที่มีการนำไปใช้

$$\text{และ } \frac{V_1}{V_2} = \frac{N_1}{N_2} \quad (\text{ที่ความถี่ } f_0)$$

จากการคำนวณหาค่า L นั้น เราจะไม่คิดค่าของ L_2 จาก N_2 เพราะมีผลต่อทางอินพุตน้อยมาก สำหรับหม้อแปลงไอเอชทีนำมาใช้นี้ใช้ซิลิโคนเบอร์ # 46 ๑WG จำนวนรอบ $N_0 = ๑๐๐$ รอบ $N_1 = ๕๐$ รอบ และ $N_2 = ๑๐๐$ รอบ ใช้คาปาซิเตอร์ต่อขนานเข้าไป 1000 PF มีความถี่รีโซแนนซ์ ๒๕๐ KHz เราสามารถหาค่าเหนี่ยวนำได้ดังนี้

$$\begin{aligned} \text{ค่าเหนี่ยวนำ} \quad L &= \frac{1}{\omega_0^2 C} \\ &= \frac{1}{(2\pi \times 250 \text{ KHz})^2 \cdot 1000 \text{ PF}} \\ &= 0.405 \text{ mH} \end{aligned}$$

$$\begin{aligned} \text{ค่าเหนี่ยวนำต่อรอบ} \quad \frac{L}{N} &= \frac{0.405 \text{ mH}}{50 + 100} \\ &= 2.7 \times 10^{-6} \text{ H/รอบ} \end{aligned}$$

$$\frac{V_2}{V_1} = \frac{N_2}{N_1}$$

$$V_2 = \frac{100}{50} V_1$$

$$= 2 V_1$$

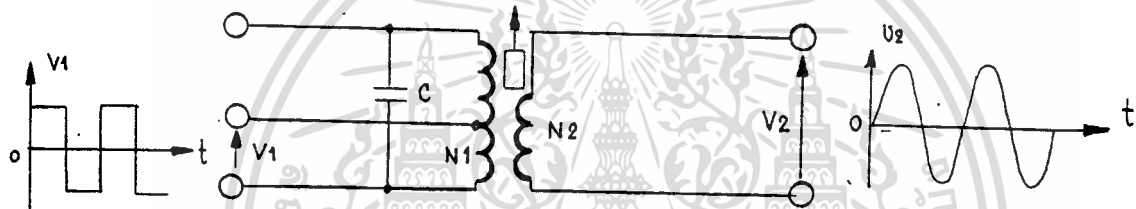
จากการทดลอง ขณะที่ยังไม่คัปปลิงวงจรปฐมเข้าสายไฟ ๒๒๐ โวลต์ วัดแรงดัน V_1 ได้เท่ากับ $11.5 V_{p-p}$ และทางเออร์ทุท V_2 ได้เท่ากับ $23 V_{p-p}$ ถ้าจำนวนขดลวดจะได้อีก

$$V_2 = 2V_1$$

$$= 23 V_{p-p}$$

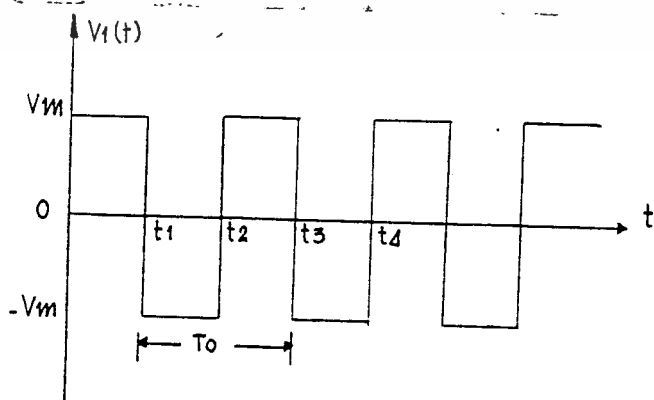
การวิเคราะห์โดยใช้ทฤษฎีฟูรีเยร์ (Fourier Analysis) ของสัญญาณที่
ผ่านวงจรจูน

คุณสมบัติของวงจรจูน นอกจากจะเป็นฟิลเตอร์ความถี่แล้ว มันยังมีคุณสมบัติต่อคลื่นสัญญาณที่มีฮาร์โมนิกด้วย กล่าวคือ ในวงจรเครื่องส่งนี้จะส่งคลื่นแบบสี่เหลี่ยมให้กับวงจรจูน ซึ่งคลื่นสี่เหลี่ยมนี้ประกอบด้วยฮาร์โมนิกของค่าไซน์ (Sine) ที่ความถี่ต่าง ๆ กัน และมีความถี่ของคลื่นฮาร์โมนิกแบบไซน์ความถี่ 250 KHz รวมอยู่ด้วย ทั้งนี้ตัววงจรจูนมีแบนด์วิธที่แคบมาก ๆ ทางเอาพุทจะได้สัญญาณไซน์ 250 KHz ที่บริสุทธิ์ ก็จะไม่มีการที่ความถี่อื่นปะปนมาด้วย



รูปที่ 2.11 แสดงคุณสมบัติทางเอาพุทของสัญญาณอินพุทของวงจรจูน

ต่อไปเราจะวิเคราะห์สัญญาณคลื่นสี่เหลี่ยม โดยอาศัยทฤษฎีของฟูรีเยร์ เมื่อสัญญาณอินพุทเป็นคลื่นสี่เหลี่ยมมีพีริอด (Period) $T = T_0$ และ $\omega_0 = \frac{2\pi}{T_0}$



เอกสารนี้เป็นเอกสารที่สงวนลิขสิทธิ์ 2.12 สัญญาณอินพุทที่ป้อนเข้าวงจรจูนไม่อนุญาตให้นำไปใช้ประโยชน์ด้านการค้าไม่ว่ากรณีใดๆทั้งสิ้น อีกทั้งห้ามมิให้ตัดแปลงเนื้อหา และต้องอ้างอิงถึงเจ้าของเอกสารทุกครั้งที่มีการนำไปใช้

จากรูปที่ 2.12 เมื่อเราวิเคราะห์ที่แตกฮาร์โมนิคจะได้ฟังก์ชันแบบฟูเรียร์ เป็น

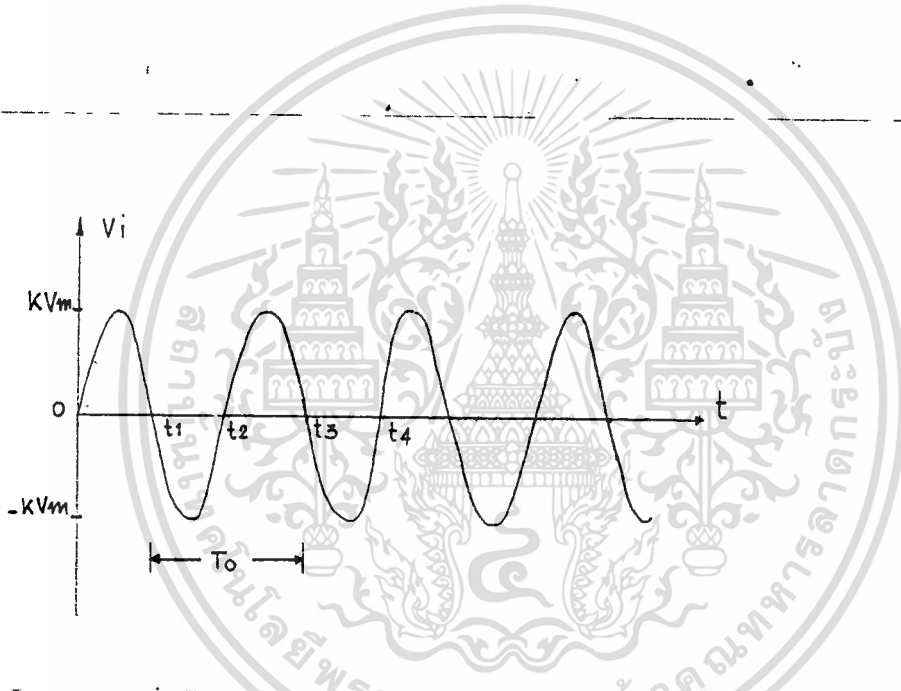
$$f(t) = \frac{4V_m}{\pi} (\sin \omega_0 t + \frac{1}{3} \sin 3\omega_0 t + \frac{1}{5} \sin 5\omega_0 t + \dots + \sin n\omega_0 t),$$

$$h = \text{odd}$$

จะเห็นว่ามีคลื่นฮาร์โมนิคประกอบกันหลายความถี่ แดว่งจรจูนเลือกความถี่เรโซแนนซ์

ที่ ω_0 ดังนั้นทางเอาท์พุทจะได้สัญญาณเป็นแบบคลื่นไซน์เวฟฟังก์ชันเป็น

$$v_2(t) = \frac{N_2}{N_1} \left(\frac{4V_m}{\pi} \sin \omega_0 t \right) = K V_m \sin \omega_0 t$$



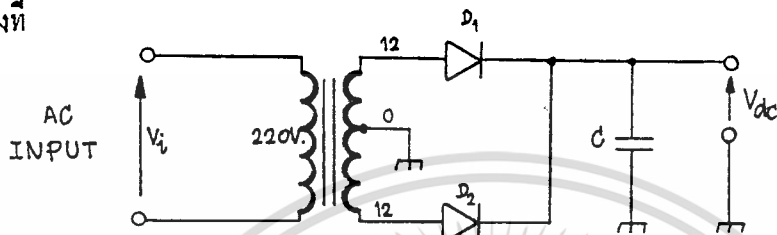
รูปที่ 2.13 สัญญาณเอาท์พุทจากวงจรรจูน

ถ้าความถี่ f_0 เปลี่ยนแปลงตามขนาดของสัญญาณขาเข้า จาก T_0 (รูปที่ 2.12) จะมีการเปลี่ยนแปลงไปด้วย และความถี่ของสัญญาณเอาท์พุท (รูปที่ 2.13) จะเปลี่ยนแปลงตามอินพุท ซึ่งจากการวัดมันจะเปลี่ยนแปลงพร้อม ๆ กันกับอินพุท แต่จะมีการเปลี่ยนแปลงตามขนาดควมในขณะที่มีความถี่เปลี่ยนแปลงรอบ ๆ ความถี่ 250 KHz ขนาดที่เปลี่ยนแปลงไปมาก นอกเหนือนั้นขึ้นอยู่กับแบนด์วิดท์ที่ไต่กล่าวมาแล้ว ซึ่งการเปลี่ยนแปลงขนาดนี้ทางภาคเครื่องรับจะมีวงจรมิตเตอร์ทำหน้าที่ขลิบขนาดของสัญญาณทั้งส่วนบนและล่างกลก

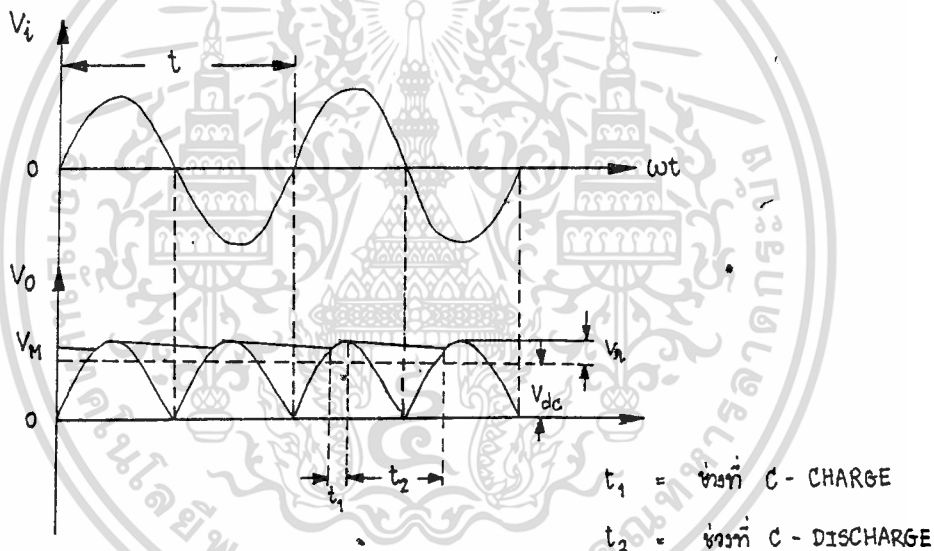
๒.๕ แหล่งจ่ายไฟ (POWER SUPPLY)

ภาคจ่ายไฟที่ใช้ในเครื่องส่งและเครื่องรับแบ่งได้เป็น ๒ ส่วนคือ

๑. แบบ UNREGULATOR หรือแบบไม่คงที่ คือ เมื่อโหลดเปลี่ยนแปลงอาร์มูทที่ได้จากแหล่งจ่ายไฟก็จะเปลี่ยนตามทำให้ได้แรงดันไม่คงที่ ซึ่งถ้าใช้กับภาคออสซิลเลเตอร์ก็จะทำให้ได้ความถี่ไม่คงที่



รูป ๒.๑๔ วงจรของภาคจ่ายไฟแบบ UNREGULATOR ชนิด FULL WAVE



จากรูป V_{dc} หาได้จาก $V_{dc} = V_m - \frac{I_{dc}}{4fc}$

V_m : PEAK RECTIFIER VOLTAGE เมื่อยังไม่มี C-FILTER

I_{dc} : กระแสที่ไหลผ่าน LOAD

f : ความถี่ไฟสลับ

ส่วนริบเบิลโวลท์เตจ (RIPPLE VOLTAGE) V_r หาได้จาก

$$V_r = \frac{I_{dc}}{4\sqrt{3}fc}$$

เมื่อได้ OUTPUT VOLTAGE และ RIPPLE VOLTAGE จะได้เปอร์เซ็นต์ริบเบิล (%r)

$$\% r = \frac{V_r}{V_{dc}} \times 100$$

และคาร์ริบเบิลแฟกเตอร์ (RIPPLE FACTOR) (r)

เอกสารนี้เป็นเอกสารที่สงวนไว้สำหรับการใช้งานเพื่อการศึกษาเท่านั้น ไม่อนุญาตให้นำไปใช้ประโยชน์ด้านการค้า ไม่ว่าจะกรณีใดๆทั้งสิ้น อีกทั้งห้ามมิให้ตัดแปลงเนื้อหา และต้องอ้างอิงถึงเจ้าของเอกสารทุกครั้งที่มีการนำไปใช้

ดังนั้นค่า RIPLE FACTOR ที่จะแปรผันเป็นส่วนกลับ กับค่าคาปาซิเตอร์ ดังนั้นถ้าต้องการวงจรที่มี REGULATION ดีขึ้นจะต้องเลือกค่า C ให้มากขึ้น และยิ่งขึ้นอยู่กับโหลด (RL) ที่นำมาต่อด้วย

ส่วนค่า PEAK INVERSE VOLTAGE OF DIODE (PIV) คือค่าแรงดันย้อนกลับขณะ REVERSE BIAS ของไดโอดที่หนได้ ซึ่งดูได้จากข้อมูลจำเพาะของไดโอดเบอร์นั้น

$$PIV = 2 V_M$$

ซึ่งจากวงจรภาคจ่ายไฟที่ใช้ มีคาปาซิเตอร์ (C) FILTER 2200 μF / 25V และวงจรต้องการกระแส (I_{dc}) ประมาณ 1A และระดับแรงดันที่ผ่านการ RECTIFIER แล้ววัด V_M ได้ 18V. ดังนั้นคำนวณหา (V_{dc}) OUTPUT VOLTAGE ของวงจร และหารีปเปิลโวลต์เตจ (V_r)

$$V_{dc} = 18 - \frac{1}{4.50 \text{ Hz} \cdot 2200 \mu\text{F}}$$

$$= 15.7 \text{ V.}$$

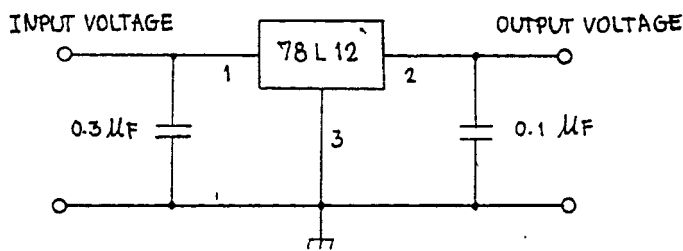
$$V_r = \frac{1}{4.50 \cdot 50 \cdot 2200 \mu\text{F}}$$

$$= 1.3 \text{ V.}$$

$$\therefore \% r = \frac{1.3}{15.7} \times 100$$

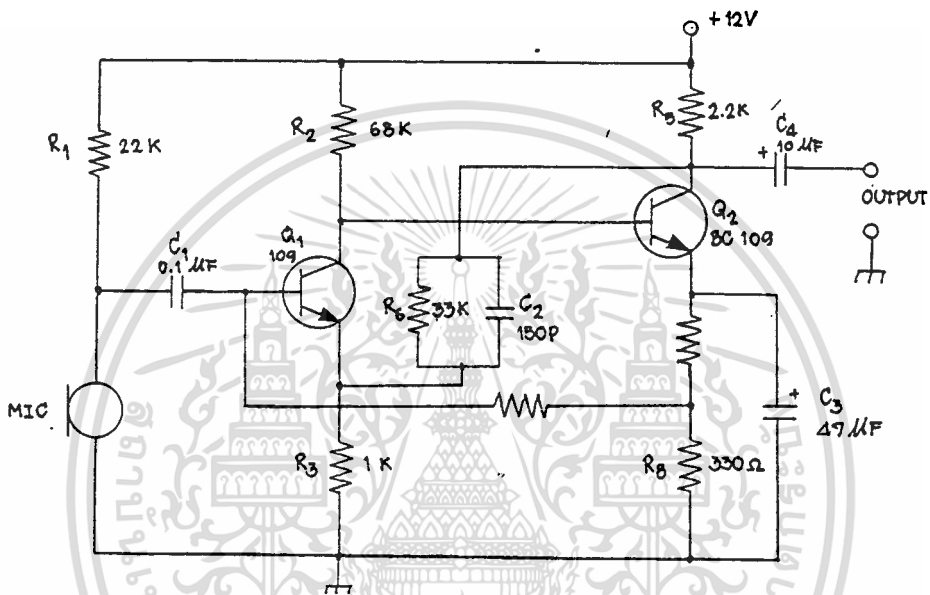
$$= 8.3 \%$$

๒. แบบ REGULATOR หรือแบบคงที่ ซึ่งแรงดันที่เอาออกจะคงที่เมื่อโหลดเปลี่ยนแปลงไป เมื่อนำมาจ่ายแรงดันให้กับภาคออสซิลเลเตอร์จะทำได้ความถี่ที่คงที่ ซึ่งแหล่งจ่ายไฟแบบคงที่นี้เราใช้ IC REGULATED เบอร์ 78L12 ซึ่งแรงดันเอาออกจะเท่ากับ ๑๒ โวลต์ และมีการจัดวงจรทำได้ ดังนี้



โวลต์ เฉลยทางอินพุตกำหนดที่ก่อนไฟดีซี สูงสุดไม่เกิน ๓๕ โวลต์ ส่วนเอาต์พุตที่ได้จะ มีการเปลี่ยนแปลงได้ไม่เกิน ๑๑.๕ ถึง ๑๒.๕ โวลต์ ซึ่งถือว่าคงที่มาก ส่วนคาปาซิเตอร์ ๐.๓๓ μF เพื่อเป็นฟิลเตอร์ และ คาปาซิเตอร์ ๐.๑ μF เมื่อเพิ่มเสถียรภาพของ TRANSIENT RESPONSE

๒.๖ การทำงานของภาคปริแอมป์ที่ใช้กับคอนเดนเซอร์ไมค์



รูปที่ ๒.๑ วงจรภาคปริไมค์แบบทรานซิสเตอร์ ๒ ตัว

จากรูปเป็นวงจรขยายส่วนหน้าที่ใช้ขยายสัญญาณเสียงหรือปริแอมป์ ซึ่งมีหลักการทำงาน และการออกแบบสามารถกระทำไดดังนี้ R_6 และ C_2 จะทำการป้อนกลับแบบลบเพื่อเพิ่มเสถียรภาพ ของวงจร ส่วนค่าความต้านทานที่ใช้ในการให้ไบอัสแก่วงจรนี้สามารถหาได้จาก เริ่มแรกเรากำหนดให้แรงดัน เออร์พุตเป็นครึ่งหนึ่งของแรงดันจ่ายไฟ นั่นคือ +6 โวลต์ (V_{C2}) เพื่อให้สามารถสวิงสัญญาณได้เต็มที่ ต่อไปหา

$$\begin{aligned} \text{กระแสที่ไหลผ่าน } R_5 &= \frac{V_{CC} - V_{C2}}{R_5} \\ &= \frac{12 - 6}{2.2 \text{ K}} \\ &= 2.7 \text{ mA} \end{aligned}$$

$$\begin{aligned} \text{กระแสที่ไหลผ่าน } R_6 &= \frac{V_{C2}}{R_3 + R_6} \\ &= \frac{6}{1\text{K} + 33\text{K}} \end{aligned}$$

เอกสารนี้เป็นเอกสารที่สงวนไว้สำหรับการใช้งานเพื่อ 0.17 mA เท่านั้น ไม่นอนุญาตให้นำไปใช้ประโยชน์ด้านการค้า ไม่ว่าจะกรณีใดๆทั้งสิ้น อีกทั้งห้ามมิให้ตัดแปลงเนื้อหา และต้องอ้างอิงถึงเจ้าของเอกสารทุกครั้งที่มีการนำไปใช้

ดังนั้นจะเลือกกระแสไหลไปทางคอลเลคเตอร์ของ

$$Q_2 = 2.7 - 0.17 \text{ mA} = 2.53 \text{ mA}$$

แรงดันอิมิตเตอร์ของ Q_1 โดยสมมุติให้กระแสไหลใน Q_1 เป็น $100 \mu\text{A}$

$$\begin{aligned} V_E &= R_3 (I_E + \\ &= 1 \text{ k}\Omega (100 \mu\text{A} + 0.17 \text{ mA}) \\ &= 270 \text{ mV} \end{aligned}$$

หาค่า R_8 โดยใช้แรงดัน

$$\begin{aligned} V_{B1} &= V_{E1} + V_{BE} \\ &= 270 \text{ mV} + 0.7 \text{ V} \\ &= 0.97 \text{ V} \approx 1 \text{ V} \text{ โดยประมาณ} \end{aligned}$$

ถ้าว่ากระแสเบสของ Q_1 มีน้อยมาก ๆ จนกระแสไหลใน R_4 ก็น้อยมาก ๆ แรงดันที่รอยต่อระหว่าง R_7 และ R_8 จะมีค่าใกล้เคียงกับ V_{B1} มาก คือ ๑ โวลต์ นั่นเอง ดังนั้นหา R_8 ได้โดย

$$\begin{aligned} R_8 &= \frac{V_{R8}}{I_{E2}} \\ &= \frac{1 \text{ V}}{2.53} \\ &= 395.25 \Omega \end{aligned}$$

เราเลือกค่าที่มียาว คือ ๓๓๐ Ω มาใช้

เลือกค่า R_7 ให้เป็น ๕๖๐ โอห์ม เราก็จะหาแรงดันอิมิตเตอร์ของ Q_2 ได้ดังนี้

$$\begin{aligned} V_{E2} &= (R_7 + R_8) I_{E2} \\ &= (560 + 330) \times 2.53 \text{ mA} \\ &= 2.25 \text{ V} \end{aligned}$$

และแรงดันที่เบสของ Q_2 ก็จะเป็น

$$\begin{aligned} V_{B2} &= 2.25 + 0.7 \\ &= 2.95 \text{ V} \end{aligned}$$

แรงดันนี้จะเป็นแรงดันที่คอนเนคเตอร์ของ Q_1 ด้วยที่พอเพียงให้สว่างสัญญาณได้เต็มที่

เราออกแบบให้กระแสไหลใน Q_1 เป็น ๑๐๐ ไมโครแอมป์ นั่นก็คือ I_{C1} ดังนั้นกระแส

เอกลที่ไหลผ่าน R_2 หาได้จาก $I_{C1} + I_{B1}$ ซึ่งกระแสเบสของ Q_2 นี้หาได้จาก $\frac{I_{C2}}{h_{FE}}$ ใช้ประโยชน์ด้านการคำนวณว่ากรณีใดๆทั้งสิ้น อีกทั้งห้ามมิให้ตัดแปลงเนื้อหา และต้องอ้างอิงถึงเจ้าของเอกสารทุกครั้งที่มีการนำไปใช้

$$\begin{aligned}
 I_{B2} &= \frac{I_{C2}}{h_{FE}} \\
 &= \frac{2.53 \text{ mA}}{60} \\
 &= 42 \mu\text{A}
 \end{aligned}$$

ดังนั้นหาค่า R_2 ได้จาก

$$\begin{aligned}
 \frac{V_{CC} - V_{C1}}{I_{C1} + I_{B2}} &= \frac{12 - 2.95}{(100 + 42) \mu\text{A}} \\
 &= 63 \text{ k}\Omega
 \end{aligned}$$

เลือกค่าใกล้เคียงที่สุดคือ 68 k Ω

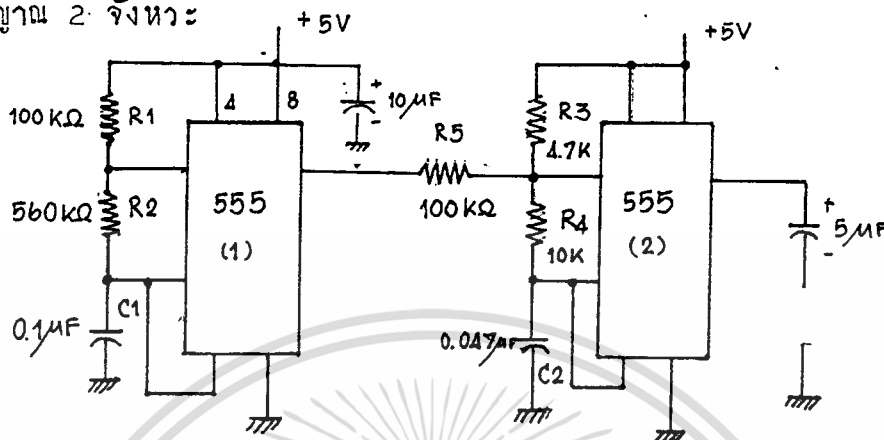
ส่วนความต้านทาน R_1 นั้นมีไว้เพื่อจ่ายไบอัสให้กับคอนเดนเซอร์ไมค์



๒.๓) ภาคสัญญาณเรียก (Calling)

ใช้ ไอ ซี เบอร์ LM 555 ดังรูป 2.17 โดยเป็นวงจรสร้าง

สัญญาณ 2 จังหวะ



รูปที่ 2.17 วงจรสร้างสัญญาณเรียก

แต่ละตัวเป็นวงจร Astable โดยตัวแรกจะสร้างสัญญาณออกซึ่งมีความถี่ (f_1)

$$f_1 = \frac{1.443}{(R_1 + R_2) \cdot C_1}$$

$$= \frac{1.443}{(100k + 2(560k)) \cdot 0.1\mu F}$$

$$= 11.8 \text{ Hz}$$

ไปเข้ายังขา Discharge (ขา 7) ของ Astable คั่นหลังเพื่อควบคุมการคายประจุและประจุของตัวเก็บประจุโดยขณะที่ Astable ตัวหลังมีความถี่ (f_2)

$$f_2 = \frac{1.443}{(R_4 + 2R_5) \cdot C_2}$$

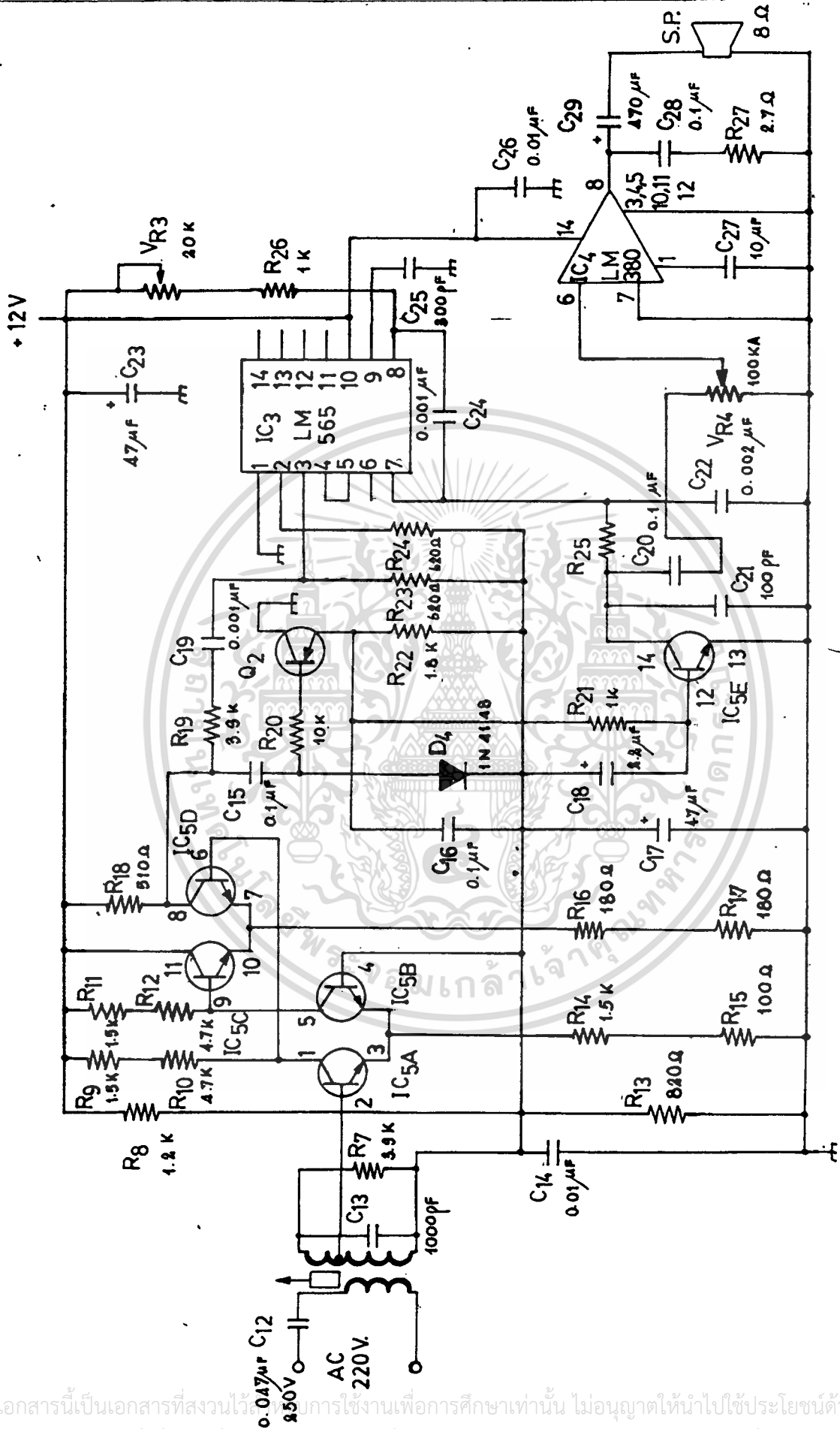
$$= \frac{1.443}{(4.7k + 2(10k)) \cdot 0.047\mu F}$$

$$= 1.243 \text{ KHz}$$

บทที่ ๓

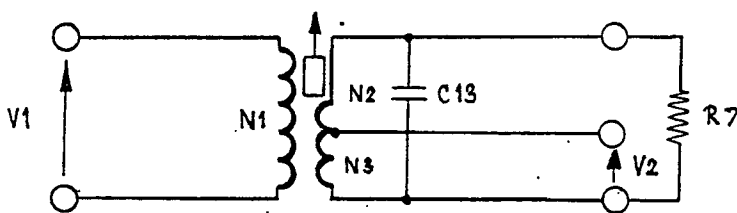
ระบบเครื่องรับสัญญาณ๓.๑ วงจร Tuning ของเครื่องรับสัญญาณ

เป็นภาคแรกของวงจรในเครื่องรับ โดยจะรับสัญญาณจากเครื่องส่งที่ส่งมาทางสายไฟฟ้า เข้ามาทางอินพุทของหม้อแปลงไอเอฟ มีคาปาซิเตอร์ เป็นตัวกันแรงดันไฟฟ้าความถี่ต่ำเอาไว้ หน้าที่ของวงจรนี้จะคัดเลือกสัญญาณออกมาจากสายไฟที่ความถี่เรโซแนนซ์ ๒๕๐ KHz เท่ากับความถี่ของเครื่องส่ง วงจร Tuning ของภาครับสัญญาณ ถ้าหากมีความถี่เรโซแนนซ์ไม่ตรงกับความถี่ของภาคส่งแล้วจะทำให้การรับสัญญาณเกิดการเพี้ยนและรับสัญญาณไม่ได้ วงจร Tuning ของเครื่องรับจะรับสัญญาณแบบชานนจากสายเข้ามาทางอินพุท ขนาดแรงดันทางเอาต์พุทที่ต้องการนั้นขึ้นอยู่กับอัตราส่วนของจำนวนรอบ หม้อแปลงไอเอฟที่ใช้เบอร์ YMC ๑๕๖๐๒ เช่นเดียวกับเครื่องส่ง และขดลวดที่ใช้เบอร์เดียวกันตลอดคือใช้ # 46 SWG. ค่า C13 ที่เป็นตัวกำหนดความถี่เรโซแนนซ์มีค่าเท่ากับ 1000 PF ค่าเหนี่ยวนำต่อรอบมีค่า 2.7×10^{-6} H/รอบ จะได้จำนวนรอบทางเอาต์พุทเท่ากับ ๒๐๐ รอบ จากรูปที่ ๓.๒ จะได้



รูป 3.1 วงจรเครื่องรับสัญญาณ

เอกสารนี้เป็นเอกสารที่สงวนไว้สำหรับการใช้งานเพื่อการศึกษาเท่านั้น ไม่อนุญาตให้นำไปใช้ประโยชน์ด้านการค้า
 ไม่มีการแก้ไขทั้งสิ้น อีกทั้งยังมีให้ตัดแปลงเนื้อหา และต้องอ้างอิงถึงเจ้าของเอกสารทุกครั้งที่มีการนำไปใช้



รูป ๓.๒ วงจรจูนของเครื่องรับ

$$N = N_2 + N_3 = 200 \text{ รอบ}$$

$$L = 1 / \omega_0^2 C_{13} \text{ H}$$

แรงดันทางเอาต์พุต $V = \frac{N_3}{N_1} V_1$

จากการทดลองเมื่อใช้ C13 1500PF จะทำให้แบนด์วิดท์กว้างมากเกินไป ซึ่งไม่ต้องการ เพราะความถี่ฮาร์โมนิกอื่นหรือความถี่ของสัญญาณรบกวนอาจเข้ามาได้มากขึ้น จึงใช้ค่า C13 1000 PF เพื่อลดแบนด์วิดท์ให้อยู่ในช่วงที่เหมาะสม ขนาดแรงดันที่ส่งมาจากเครื่องส่งทางเอาต์พุตเครื่องส่งมีค่าเท่ากับ 2 Vp-p เนื่องจากเอาต์พุตของเครื่องรับจะส่งสัญญาณไปให้วงจรขยายและลิ้มิตเตอร์ซึ่งมีอัตราขยายที่สูงมาก ดังนั้นเอาต์พุตของวงจรจูนในเครื่องรับนี้ไม่จำเป็นต้องรับแรงดันของสัญญาณเข้ามามากนัก จึงเลือกใช้อัตราส่วนของสัญญาณเป็น

$$\frac{V_2}{V_1} = \frac{N_3}{N_1} = \frac{15}{50} = 0.3$$

$$V_2 = 0.3 V_1$$

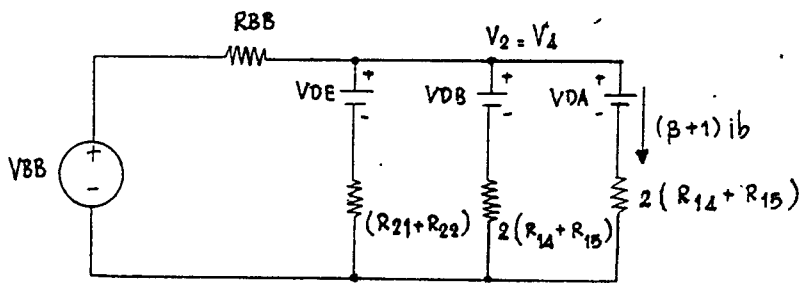
$$N = N_2 + N_3 = 200 \text{ รอบ}$$

$$N_2 = 200 - 15 = 185 \text{ รอบ}$$

เมื่อต่อวงจรจูนของเครื่องรับเข้ากับสายไฟ และใช้สโควคัลสัญญาณที่รับได้เท่ากับ 0.95 Vp-p ขนาดของสัญญาณที่ส่งลดลงเท่ากับ $2 \times 0.95 = 1.05 \text{ V}$ และวัคัลสัญญาณทางเอาต์พุตได้เท่ากับ 0.28 Vp-p ถ้าคำนวณจากสมการข้างบนจะได้

$$\begin{aligned} V_2 &= 0.3 V_1 \\ &= 0.3 \times 0.95 \\ &= 0.285 \text{ Vp-p} \end{aligned}$$

ค่าที่คำนวณได้จะมีค่าใกล้เคียงกับค่าที่เราวัดได้ เหตุผลของการเลือกอัตราส่วนของสัญญาณเอาต์พุตต่ออินพุตมีค่าเท่านี้เพราะว่าเราป้องกันไม่ไห้วงจรขยายเกิดการท้งหลายเนื่องเอกสารนี้เป็นเอกสารที่สงวนไว้สำหรับการใช้งานเพื่อการศึกษาเท่านั้น ไม่อนุญาตให้นำไปใช้ประโยชน์ด้านการค้าไม่ว่ากรณีใดๆทั้งสิ้น อีกทั้งห้ามมิให้ดัดแปลงเนื้อหา และต้องอ้างอิงถึงเจ้าของเอกสารทุกครั้งที่มีการนำไปใช้



รูปที่ ๓.๔ การไบอัสที่ขาเบสของ Q_{5A}, Q_{5B} และ Q_{5E}

เมื่อ $V_{BB} = \frac{R_8 V_{CC}}{R_8 + R_{13}} ; V_{CC} = 12 \text{ V}$

$$= \frac{820 \times 12}{820 + 1200} = 4.871 \text{ V}$$

และ $R_{BB} = R_8 // R_{13} = 487.128 \text{ } \Omega$

จะได้ $V_D = \text{แรงดันที่ Junction B,E} = 0.715 \text{ V}$

$$V_2 = V_4 = \left[\frac{4.871}{487.128} + \frac{0.715}{(1800 + 1000)} + \frac{0.715}{1600} \right] \left[487.128 // 2800 // 1600 \right] = 3.526 \text{ V}$$

ซึ่งจากการวัดได้แรงดันเท่ากับ ๓.๕ V กระแสที่ไบอัสให้กับ Q_{5A} หรือ Q_{5B} จะได้

เท่ากับ

$$(\beta + 1) I_B = \frac{(V_2 - V_D)}{2(R_{14} + R_{15})} = \frac{(3.526 - 0.715)}{3200} = 0.878 \text{ mA}$$

$$I_E \approx (\beta + 1) I_B = 0.878 \text{ mA}$$

จาก Data Sheet ที่ $I_E = 0.800$ จะได้ $\beta = 98$

กระแสที่ไบอัส หรือ $I_B = \frac{0.878}{98} = 8.868 \text{ } \mu\text{A}$

กระแสที่ไหลผ่านคอลเลกเตอร์ $= 98 \times 8.868$

$$= 0.869 \text{ mA}$$

เราจะหาแรงดัน VCE ที่จุดทำงาน (Q Point) ได้ดังนี้

$$V_{CC} = I_C R + V_{CE} + I_E \{2(R_{14} + R_{15})\}$$

$$V_{CE} = V_{CC} - I_C R - 2 I_E (R_{14} + R_{15})$$

$$= 12 - 0.869 \times 6.2 - 2 \times 0.878 \times 1.6$$

$$= 3.8 \text{ V}$$

เอกสารนี้เป็นเอกสารที่สงวนไว้สำหรับการใช้งานเพื่อการศึกษาเท่านั้น ไม่อนุญาตให้นำไปใช้ประโยชน์ด้านการค้า
ไม่ว่ากรณีใดๆทั้งสิ้น อีกทั้งห้ามมิให้ดัดแปลงเนื้อหา และต้องอ้างอิงถึงเจ้าของเอกสารทุกครั้งที่มีการนำไปใช้

แรงดัน DC ที่ขา ๑ และขา ๕ ของไอซี LM ๓๐๔๖ จะได้เท่ากับ

$$\begin{aligned} V_1 = V_5 &= V_{CE} + 2 I_E (R_{14} + R_{15}) \\ &= 3.8 + 2 \times 0.878 \times 1.6 \\ &= 6.6 \text{ V} \end{aligned}$$

แรงดันที่ไบอัสให้แก่ Q5C และ Q5D ก็คือ V1 และ V5 ตามลำดับ ระดับแรงดันจริงๆ จะต่ำกว่าคือประมาณ 6V จากการวัด เพราะแรงดันที่ลดลงนั้นเนื่องจากโหลด Q5C และ Q5D ค่าย กระแสเบสที่ไบอัสให้กับ Q5D จะหาได้ดังนี้

$$V_6 = V_D + 2(\beta + 1) I_B (R_{16} + R_{17})$$

$$(\beta + 1) I_B = (V_6 - V_D) / 2(R_{16} + R_{17})$$

$$= (6.6 - 0.715) / (2 \times 360)$$

$$I_E = 8.173 \text{ mA}$$

จาก Data Sheet จะได้ $\beta = 105$

$$I_B = 77.1 \text{ } \mu\text{A}$$

$$I_C = \beta I_B = 8.09 \text{ mA}$$

แรงดันที่ขา ๘ และ ๗ หรือ VCE จะหาได้จากสมการ

$$V_{CE} = V_{CC} - I_C R_{18} - 2 I_E (R_{16} + R_{17})$$

$$= 12 - 8.09 \times 0.51 - 2 \times 8.173 \times 0.36$$

$$= 1.98 \text{ V}$$

แรงดันที่ขา ๘ จะได้เท่ากับ

$$V_8 = V_{CE} + 2 I_E (R_{16} + R_{17})$$

$$= 1.98 + 2 \times 8.173 \times 0.36$$

$$= 7.86 \text{ V}$$

จากการวัดในวงจรจะได้ V_8 ประมาณ 8V สาเหตุที่แรงดันจากการวัดมากกว่าที่คำนวณเนื่องจาก Q5C ไม่มีโหลด ทำให้กิ่งกระแสจากแหล่งจ่ายได้สูงกว่า Q5D มีผลทำให้แรงดันตกคร่อม R_{16} และ R_{17} มีค่าสูงเพิ่มขึ้น จากการคำนวณจะแยก R_{16} และ R_{17} นี้ออกเป็น ๒ ตัวซึ่งค่าที่ได้ก็เห็นเพียงค่าประมาณเท่านั้น

ในการวัดสัญญาณ AC ที่จุดต่าง ๆ ทั้งแอมป์สัญญาณเข้ามาที่ขาเบส Q5A มีขนาดสัญญาณ

เอกสาร 0.28 V_{p-p} สัญญาณเอาท์พุทที่ซายด์อัลเลคเตอร์ Q5A (ขา ๑) วัดได้ 2.7 V_{p-p} และเอาท์พุทการคำนวณว่ากรณีใดทั้งสิ้น อีกทั้งห้ามมิให้ตัดแปลงเนื้อหา และต้องอ้างอิงถึงเจ้าของเอกสารทุกครั้งที่มีการนำไปใช้

ทางขาคอลเลคเตอร์ (ขา ๔) ของ Q5B ซึ่งมีขนาดเท่ากับ $6.4 V_{p-p}$ ในภาคขยายสัญญาณภาคแรกนี้ Q5A และ Q5B จะทำหน้าที่เป็นตัวขยายแบบคิพแอมป์ มีเอาต์พุต ๒ ขั้ว เพื่อต่อไปยังภาคขยายภาคที่ ๒ และลิมิตเตอร์ ภาคขยายภาคหลังนี้จะใช้ ทรานซิสเตอร์ Q5C และ Q5D เป็นตัวขยายสัญญาณ โดยสัญญาณเอาต์พุตจะมีขั้วสัญญาณเดี่ยว สัญญาณที่เข้ามาจะได้รับการขยายจนถึงจุดอิ่มตัวจนไม่สามารถขยายได้อีกต่อไป ดังนั้นมันจึงทำหน้าที่เป็นลิมิตเตอร์ด้วย ข้อดีก็คือสัญญาณรบกวนที่เข้ามารบกวนทางขนาดจะถูกขับออกไป จึงสามารถป้องกันสัญญาณรบกวนแบบนี้ได้ สัญญาณเอาต์พุตที่ขาคอลเลคเตอร์ (ขา ๔) ของ Q5D จะเห็นคลื่นสี่เหลี่ยม มีความถี่เปลี่ยนแปลงตามการมอดูเลตของสัญญาณ ขนาดของสัญญาณที่วัดได้ (ที่ขา ๔) เท่ากับ $6.2 V_{p-p}$ จากวงจรตามรูปที่ ๓.๑ สัญญาณที่เอาต์พุตจากขา ๔ ของภาคลิมิตเตอร์ จะถูกลดขนาดลงด้วยควมต้านทาน R 19 และคาปาซิเตอร์ C 19 ลงเหลือ $0.9 V_{p-p}$ เพื่อเป็นอินพุตให้กับเฟสล็อคลูปที่ขา ๓ ขณะเดียวกันสัญญาณทางเอาต์พุตจากภาคขยายลิมิตเตอร์นี้ จะผ่าน C15 ไปยังวงจรดีเทคเสียง (mute peak detector)

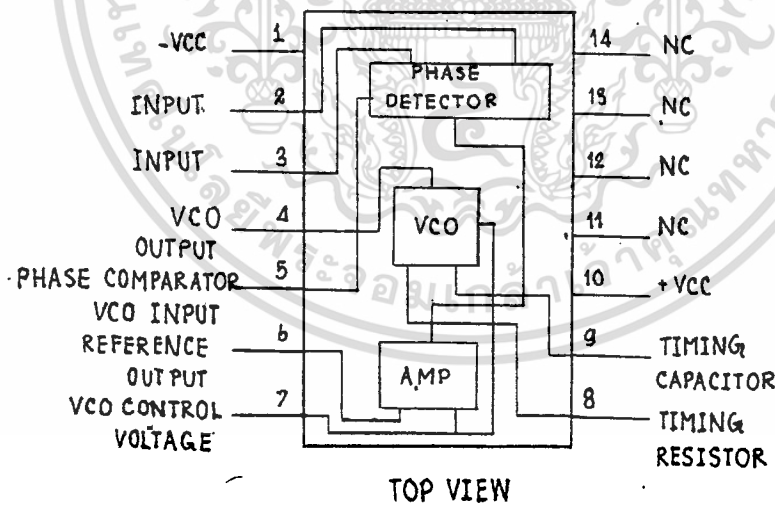
วงจรดีเทคเสียง (mute peak detector) นี้ มีหน้าที่ทำให้ภาครับสัญญาณมีเสียงเงียบ ขณะที่ยังไม่มีสัญญาณเข้ามา กล่าวคือ เมื่อเราปิดเครื่องส่งสัญญาณ ระดับของสัญญาณรบกวนที่เข้ามาทางอินพุตของเครื่องรับนั้น จะทำให้เฟสล็อคลูปพยายามที่จะล็อกเข้ากับสัญญาณรบกวนนั้น ผลก็คือเกิดเสียงที่เราไม่ต้องการออกมาทางเอาต์พุตที่ลำโพง ดังนั้นวงจรดีเทคเสียงจึงทำหน้าที่นี้โดยเฉพา, ซึ่งประกอบด้วยวงจรดีเทคแรงดันสองเท่า (Voltage - Doubling Peak Detector) คือ D4, Q2 และ C16 ในขณะที่ยังไม่มีสัญญาณข่าวสารเข้ามาทางเครื่องรับนั้น ทรานซิสเตอร์ Q5E จะได้รับการไบอัสจาก V2 หรือ V4 ซึ่งมีขนาด $3.5 V$ ผ่าน R21 และ R22 ซึ่งมีกระแสไบอัสที่ไบอัสเท่ากับ $(๓.๕ - 0.๖๑๕) / (๑๘๐๐ + ๑๐๐๐) = 0.๘๘ mA$ ทำให้ Q5A ON มีผลในสัญญาณเสียงที่ดีเทคจากเฟสล็อคลูปออกมาทางขา ๖ ถูกลดด้วยจรรยา R25 ผ่าน Q5E ลงกราวด์ ดังนั้นจึงไม่มีสัญญาณใด ๆ ที่เฟสล็อคลูปดีเทคได้ผ่านวงจรขยายเสียงออกไปทางเอาต์พุตที่ลำโพง จึงทำให้มีเสียงเงียบในขณะที่ไม่มีสัญญาณมอดูเลตเข้ามา

เมื่อสัญญาณมอดูเลตจากเครื่องส่งส่งเข้ามาทางเครื่องรับ จึงทำให้สัญญาณเอาต์พุตจากภาคขยายลิมิตเตอร์ซึ่งมีขนาด $6.2 V_{p-p}$ ผ่านวงจรดีเทคแรงดันสองเท่า จะเห็นว่าช่วงแรกของสัญญาณจะอินทิเกรตโดย C15 และไดโอด D4 จะลัดสัญญาณช่วงแรกผ่าน C15 ลงกราวด์ เมื่อสัญญาณ C15 จะระงูแรงดัน $+3.8 V$ เอาไว้ การเมื่อสัญญาณลดลงเป็นศูนย์และเปลี่ยนเป็นลบ C15 จะไม่ทำงานอีกทั้งห้ามมิให้ตัดแปลงเนื้อหา และต้องอ้างอิงถึงเจ้าของเอกสารทุกครั้งที่มีการนำไปใช้

จะคายประจุด้วยค่าคงที่เวลาประมาณ $C_{15} \cdot (R_{18} + R_8 + R_{22} + R_{20}) = 1.35 \text{ ms}$ เนื่องจากช่วงลคของสัญญาณสั้นมาก ดังนั้นระดับแรงดันที่ C_{15} จะลดลงไปเล็กน้อย เมื่อสัญญาณเปลี่ยนระดับเป็นลบ / ที่เอาต์พุทของลิมิตเตอร์จะเป็น -2.4 V ดังนั้นระดับของสัญญาณตกคร่อมไดโอดจะเท่ากับ $-V_{C15} - V = -6.2 \text{ V}$ ซึ่งเป็นระดับของสัญญาณที่ป้อนให้กับวงจรมินิโมเรเตอร์ $R_{20} C_{16}$ คาปาซิเตอร์ C_{16} จะอินทิเกรตสัญญาณอินพุทที่ผ่าน R_{20} ผ่าน Q_2 ซึ่งเป็นตัวขยายแบบคอลเลคเตอร์ร่วม (COMMON collector) เอาต์พุททางขาอิมิตเตอร์ (Emitter) จึงมีสัญญาณเฟสเดียวกัน และมีความต้านทาน R_{22} เป็นโหลดของสัญญาณ ต่อมาสัญญาณนี้จะถูกอินทิเกรตผ่าน C_{18} R_{21} มีผลทำให้ Q_{5E} cut off ดังนั้นสัญญาณข่าวสารที่เฟสล็อกคลุบที่เทคออกมากทางขา ๑ จะไม่ถูกลคด้วยสัญญาณด้วย Q_{5E} ทำให้สัญญาณผ่านไปยังจรรยาเยียงและเอาต์พุทออกทางลำโพงได้

๓.๓ ภาคีมอดูเลเตอร์ (Demodulator)

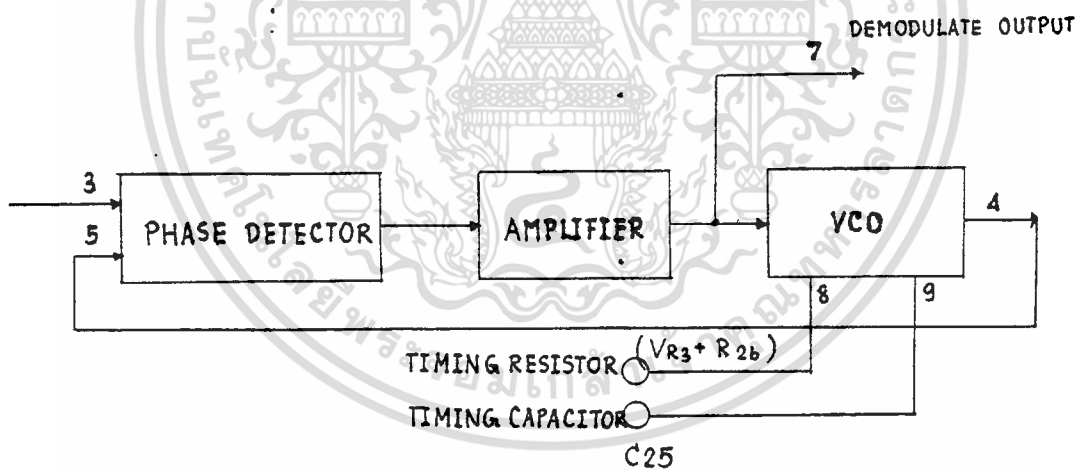
ภาคีมอดูเลเตอร์นี้จะทำหน้าที่เป็นตัวแยกสัญญาณเสียงออกจากเครื่องรับที่ส่งมาจากเครื่องส่ง อุปกรณ์ที่ใช้ทำหน้าที่นี้คือเฟสล็อกคลุบ มีลักษณะภายในแสดงตามรูปที่ ๓.๕



รูปที่ ๓.๕ ลักษณะการจัดขภายในไอซี LM 565 CN

ไอซี LM 565 CN นี้ เป็นเฟสล็อกคลุบที่ผลิตขึ้นมาเพื่อใช้งานทั่ว ๆ ไป ตามความประสงค์ของผู้ใช้ ซึ่งมีความเสถียรภาพ และความถี่ของ VCO สูง เพื่อให้การใ้ใช้งานวงการมอดูเลทแบบเอเอ็มมีความเห็นค่า ๆ ภายในยังมีวงจรมินิโมเรเตอร์ที่สัมพันธ์กัน จึงทำให้การขับสัญญาณเป็นไปได้ดี ความถี่ VCO ภายใน จะสามารถปรับค่าได้ด้วยความต้านทาน

และคาปาซิเตอร์ที่นำมาต่อภายนอก และช่วงของการจูนสามารถทำได้ถึง ๑๐ : ๑ ในขณะที่ค่าคาปาซิเตอร์คงที่ คุณสมบัติของแบนด์วิทของระบบเมื่อลูบิต ความเร็วในการตอบสนองช่วงการจับสัญญาณ (capture) และช่วงการลอค (pull in range) สามารถปรับได้ช่วงที่กว้างมากด้วยความต้านทานและคาปาซิเตอร์ที่นำมาต่อภายนอก ลูบของมันเราอาจใช้ตัวหารความถี่แบบดิจิทัลใส่เข้าไประหว่าง VCO และเฟสดีเทคเตอร์ (Phase detector) เพื่อใช้งานให้เป็นตัวคูณความถี่ได้ ช่วงการทำงานของมันอยู่ในช่วง 0°C ถึง 70°C ขนาดแรงดันที่ใช้กับเฟสล็อกคลุบนี้อาจใช้ขนาดแรงดัน $\pm 12\text{ V}$ ขนาดสัญญาณอินพุตไม่เกิน 2 Vp-p จากวงจรของเครื่องรับตามรูปที่ ๓๐ จะเห็นว่าสัญญาณจะเข้ามาทางขา ๓ ของเฟสล็อกคลุบในขณะที่อินพุตขา ๕ จะทำหน้าที่เสมือนต่อกับกราวด์โดยผ่าน R24 เนื่องจากเอาท์พุทจากลิมิตเตอร์มีสัญญาณออกมาชั่วเดียวขนาดแรงดันที่ไบอัสให้กับเฟสล็อกคลุบจะใช้ 12 V การทำงานภายในแสดงเป็นบล็อกไดอะแกรมตามรูปที่ ๓.๖



รูปที่ ๓.๖ บล็อกไดอะแกรมการทำงานของเฟสล็อกคลุบในเครื่องรับ

การทำงานของเฟสล็อกคลุบในรูปที่ ๓.๖ เมื่อสัญญาณมอดูเลทเข้ามาทางขา ๓ ของวงจรเปรียบเทียบกับเฟส ถ้าสัญญาณที่เข้ามานั้นมีเฟสไม่ตรงกันกับเอาท์พุทของ VCO ที่ย้อนกลับเข้ามาจะทำให้เกิดสัญญาณ error ออกไปทางเอาท์พุทของวงจรเปรียบเทียบกับเฟส ขนาดของสัญญาณ error นี้ ขึ้นอยู่กับความต่างเฟสทางอินพุทที่เปรียบเทียบกัน สัญญาณ error นี้จะได้รับการขยายกำลังขึ้นโดยวงจรขยาย ซึ่งเอาท์พุทที่ออกจากวงจรขยายนี้ก็คือสัญญาณเลี้ยงที่

ขยายส่วนหนึ่งจะต่อไปควบคุม ซึ่งเป็นวงจรสร้างออสซิลเลเตอร์ ความถี่ของออสซิลเลเตอร์นี้สามารถควบคุมโดยแรงดันจากวงจรขยาย นอกจากนี้ ความต้านทาน VR3 และคาปาซิเตอร์ C25 ยังสามารถกำหนดความถี่ออสซิลเลเตอร์ได้อีกด้วย

เมื่อสัญญาณ error ได้รับการขยายจากวงจรขยาย ทำให้แรงดันที่ควบคุมทางอินพุทของ VCO มีการเปลี่ยนแปลง ดังนั้นความถี่ออสซิลเลเตอร์ทางเอาต์พุทที่ขา ๔ เกิดการเปลี่ยนแปลงด้วย และป้อนกลับไปเปรียบเทียบกับเฟสของสัญญาณอินพุทอีกครั้งหนึ่ง ซึ่งความถี่จาก VCO นี้ จะพยายามล็อกเข้ากับสัญญาณมอดูเลทอินพุทที่ขา ๓ ซึ่งช่วงการล็อกนี้เราสามารถควบคุมได้โดยการปรับ VR3 หรือ C25 ซึ่งในเครื่องรับนี้ ค่า VR3 และ C25 จะปรับให้อาท์พุทของ VCO มีความถี่ออสซิลเลเตอร์เท่ากับ 250 KHz เท่ากับความถี่ของสัญญาณข่าวสาร จะทำให้เฟสล็อกสามารถล็อกกับสัญญาณข่าวสารได้ แต่อย่างไรก็ตามสัญญาณ error จากการเปรียบเทียบย่อมจะไม่เท่ากับศูนย์ และสัญญาณข่าวสารที่อินพุททางขา ๓ นั้น เป็นแบบเอพเอ็มมีการเปลี่ยนแปลงทางความถี่ ความขนาดสัญญาณเสียงที่มอดูเลท ดังนั้นขนาด error จะมีค่าเปลี่ยนแปลงตามความถี่สัญญาณ error นี้ ก็คือสัญญาณเสียงที่มอดูเลทออกมาจากสัญญาณข่าวสารเหล่านั้นเอง แต่ขนาดของสัญญาณยังต่ำจึงได้รับการขยายจากวงจรขยายอีกทีหนึ่งจึงเอาพุทไปทางขา ๘ ความถี่ออสซิลเลเตอร์ของ VCO ในเฟสล็อกหาได้จากสูตร

$$f_o = \frac{1}{3.7 (VR3 + R2b) \times C25} \quad (3.7)$$

ช่วงของการล็อก (Hold in range) เราสามารถหาได้จากสูตร

$$f_H = \pm \frac{8 f_o}{V_c} \quad (3.8)$$

เมื่อ f_o ความถี่อิสระของออสซิลเลเตอร์ (Free running frequency)

f_H ช่วงความถี่ที่ล็อก (Hold in range)

V_c แรงดันที่จ่ายไบอัสให้แก่วงจร

สำหรับความถี่ออสซิลเลเตอร์ f_o นั้น เมื่อเราปรับ VR3 = 2.6 k จะได้ความถี่ $f_o = 250 \text{ kHz}$ จึงคำนวณจากสูตรที่ ๓.๘ จะได้

$$\begin{aligned} f_o &= \frac{1}{3.7 \times (2.6 \text{ k} + 1 \text{ k}) \times 300 \times 10^{-12}} \\ &= 250 \text{ kHz} \end{aligned}$$

สำหรับช่วงการล็อก $\pm 50 \text{ kHz}$ จากการทดลองได้ช่วงของการล็อกประมาณ $\pm 50 \text{ kHz}$

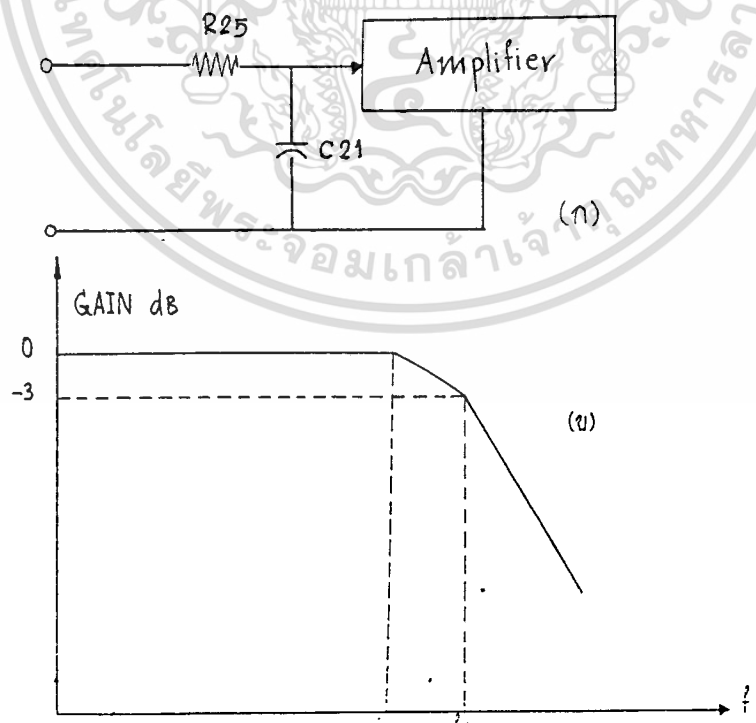
ซึ่งถ้าหาจากสูตรที่ ๓.๘ จะได้

เอกสารนี้เป็นเอกสารที่สงวนไว้สำหรับการใช้งานเพื่อการศึกษาเท่านั้น ไม่อนุญาตให้นำไปใช้ประโยชน์ด้านการค้า ไม่ว่ากรณีใดๆทั้งสิ้น อีกทั้งห้ามมิให้ดัดแปลงเนื้อหา และต้องอ้างอิงถึงเจ้าของเอกสารทุกครั้งที่มีการนำไปใช้

$$f_H = \pm \frac{8f_o}{V_c} = \pm \frac{8 \times 250 \text{ K}}{12} = \pm 166.66 \text{ KHz}$$

ซึ่งค่าที่วัดได้กับการคำนวณโคแตกต่างกันมาก เนื่องจากระบบแรงดันไบอัสของเฟส ล็อคลูปปกติเท่ากับ $\pm 12 \text{ V}$ แต่ในเครื่องรับจะใช้แรงดันเฉพา $+12 \text{ V}$ เท่านั้น ดังนั้นช่วง การลอคจะได้จากการคำนวณเท่ากับ $\pm 166.66/2 = \pm 83.3 \text{ KHz}$ ซึ่งมีค่าแตกต่างไปจากการ ทดลองเท่ากับ 33.3 KHz เนื่องจากเราเพิ่ม $C22$ เข้ากับวงจรซึ่งทำให้ช่วงการลอคเปลี่ยน แปลงไป

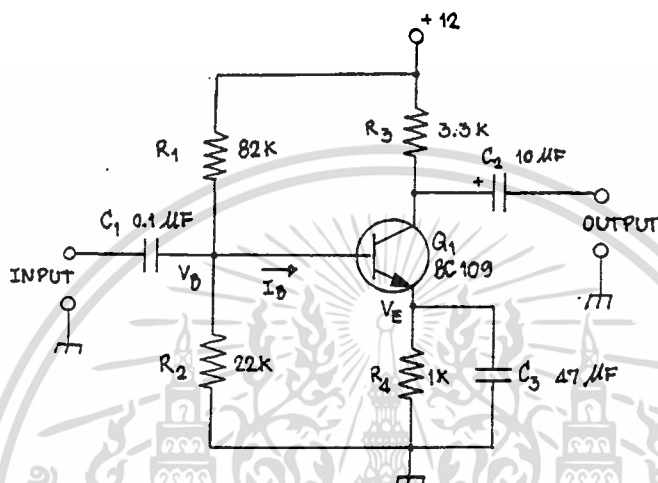
สัญญาณเสียงที่ตีเทคจากเฟสล็อคจะผ่านภาคขยายเสียงต่อไป แต่ก่อนที่จะเข้าภาค ขยายเสียงจะถูกลดขนาดของสัญญาณลงโดย $C21$ ซึ่งทำหน้าที่เป็นคัปเปอร์ซึ่งในคอนแรกก็ ได้กล่าวถึงวงจรที่เอมพีไฟส์ในเครื่องส่งมาแล้ว ซึ่งคุณสมบัติของทรานซิสเตอร์แสดงตามรูปที่ ๒.๓ วงจรที่เอมพีไฟส์จะทำงานกลับกันกับทรานซิสเตอร์เอมพีไฟส์ซึ่งเป็นเสมือนอิมเมจ (Image) คือมันจะลด ขนาดของสัญญาณลงต่อความถี่ที่เพิ่มขึ้น ทำให้ระดับเสียงมีความสั่นคลอนเหมือนเดิม ในขณะที่ สัญญาณรบกวนยังมีค่าคงเดิม วงจรที่เอมพีไฟส์และโลจิกเอมพีไฟส์แสดงตามรูปที่ ๓.๖ (ก) และ (ข)



รูป ๓.๖ (ก) วงจรที่เอมพีไฟส์ และ (ข) โลจิกเอมพีไฟส์

เอกสารนี้เป็นเอกสารที่สงวนไว้สำหรับการใช้งานเพื่อการศึกษาเท่านั้น ไม่อนุญาตให้นำไปใช้ประโยชน์ด้านการค้า ไม่ว่ากรณีใดๆทั้งสิ้น อีกทั้งห้ามมิให้ดัดแปลงเนื้อหา และต้องอ้างอิงถึงเจ้าของเอกสารทุกครั้งที่มีการนำไปใช้

๓. ภาครับสัญญาณและหลักการออกแบบวงจร



รูปที่ ๓. วงจรภาครับสัญญาณ

เมื่อภาคดีเทคเตอร์ (DETECTOR) แยกความถี่ที่ต้องการออกจากความถี่ของคลื่นพาหะได้แล้วแต่สัญญาณที่ได้จะมีกำลังต่ำ ดังนั้นจึงต้องทำการขยายโดยภาครับสัญญาณก่อนที่จะส่งให้ภาคเพาเวอร์แอมป์ขยายออกสู่ลำโพง

การทำงานของภาครับสัญญาณ ความต้านทาน R_1 , R_2 และ R_4 ทำหน้าที่จัดไบอัสให้เสถียรภาพแก่วงจร ซึ่งถ้าไบอัสไม่เหมาะสมสัญญาณเอาต์พุตที่ได้จะเกิดการเพี้ยน (DISTORTION) หรือเกิดการถูกขลิบยอดของสัญญาณ ส่วน R_3 นั้นคือไว้เพื่อจัดแรงดันออกไปใช้งาน C_1 และ C_2 เป็นตัวเก็บประจุต่อกันกระแสไฟตรงไม่ให้เข้าและออกจากวงจรนี้ C_3 นั้นคือไว้เพื่อเพิ่มอัตราการขยายของวงจร โดยรวมกระแสที่ไหลในวงจรทางคานคอลเลคเตอร์จะเท่ากับกระแสที่ไหลในอีมิเตอร์ด้วย ส่วนแรงดันคอลเลคเตอร์จะต้องพยายามไว้อิสอาไว้ให้ได้แรงดันประมาณครึ่งหนึ่ง

ของ V_{cc} ซึ่งเราสามารถออกแบบได้ดังนี้

$$\begin{aligned} \text{แรงดันไบอัสที่ขาเบส } V_B &= \frac{R_2}{R_1 + R_2} \cdot V_{cc} \\ &= \frac{22\text{ K}}{82\text{ K} + 22\text{ K}} \cdot 12 \\ &= 2.5\text{ V} \end{aligned}$$

$$\begin{aligned} \text{หาแรงดันที่ขาอิมิตเตอร์ } V_E &= V_B - V_{BE} \\ &= 2.5 - 0.7 \\ &= 1.8\text{ V} \end{aligned}$$

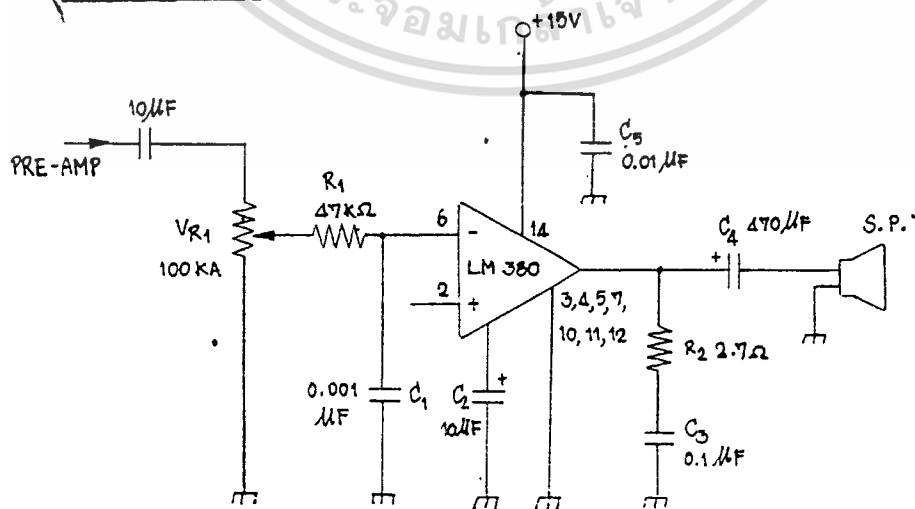
$$\begin{aligned} \text{จะได้กระแสไหลในอิมิตเตอร์ } I_E &= \frac{V_E}{R_4} \\ &= \frac{1.8}{1\text{ K}} \\ &= 1.8\text{ mA} \end{aligned}$$

ซึ่งค่าของกระแส $I_E \approx I_C$

ส่วนการหาแรงดันที่คอลเลคเตอร์ (V_C) หรือแรงดันเอาต์พุตในกรณีที่ไม่มีสัญญาณจะประมาณครึ่งหนึ่งของ V_{cc} หรือแรงจ่าย เพื่อว่าเวลาที่มีสัญญาณอินพุตเข้ามาเอาต์พุตจะได้สวิงทั้งทางบวกและลบได้เต็มที่โดยไม่เกิดการขลิบยอด

$$\begin{aligned} \text{ดังนั้น } V_C &= V_{cc} - I_C R_C \quad \text{ซึ่ง } I_C \approx I_E \\ &= 12 - (1.8\text{ mA} \times 3.3\text{ K}) \\ &= 6.06\text{ V} \end{aligned}$$

๑๐. ภาคขยายสัญญาณเสียง (POWER AUDIO AMPLIFIER)



เมื่อได้รับสัญญาณที่ขับปล้งผ่าน C_1 10µF จากภาคปริแอมป์ VR_1 จะทำหน้าที่ปรับขนาด เอกสารนี้เป็นเอกสารที่สงวนลิขสิทธิ์ไว้กับการใช้งานเพื่อการศึกษาเท่านั้น เมื่อนุญาตให้นำไปใช้ประโยชน์ด้านการค้า ไม่ว่าจะกรณีใดๆทั้งสิ้น อีกทั้งห้ามมิให้ดัดแปลงเนื้อหา และต้องอ้างอิงถึงเจ้าของเอกสารทุกครั้งที่มีการนำไปใช้

ของสัญญาณตามต้องการ ส่วน R_1 และ C_1 คือเป็น LOW PASS FILTER โดยมีคัตออฟของความถี่ที่ 20 kHz ป้อนเข้าขา 6 ของ LM 380 ซึ่งเป็นแบบ INVERTING AMP ทำการขยายสัญญาณให้แรงขึ้นก่อนที่จะป้อนสู่ลำโพง ส่วน C_2 ที่ขา 9 นั้น เป็น C BYPASS ส่วน R_2 และ C_3 นั้น เป็นตัวป้องกันการออสซิลเลทเมื่อโหลดถึงกระแสมาก ๆ

อัตราขยายในทึ่ IC LM 380 เท่ากับ 50 เท่า และกำลังขับสูงสุดขนาดทาง
โหลดที่ 2.5 W ที่โหลด 8 Ω เราจะหาอัตราขยายเป็น db ได้เท่ากัน

$$dB = 20 \log A_v$$

$$= 20 \log 50$$

$$= 33.97 \approx 34 \text{ dB}$$

$$P = I^2 R$$

$$I = \sqrt{P/R}$$

แรงดันทาง
โหลดที่

ขนาดแรงดัน
อินพุท

$$V_o = IR = 8 \sqrt{P/R}$$

$$V_i = \frac{V_o}{50} = \frac{8 \sqrt{P/R}}{50}$$

$$= \frac{8}{50} \times \sqrt{\frac{2.5}{8}}$$

$$= 0.0894 \text{ V}$$

$$= 89.4 \text{ mV}$$

เอกสารนี้เป็นเอกสารที่สงวนไว้สำหรับการใช้งานเพื่อการศึกษาเท่านั้น ไม่อนุญาตให้นำไปใช้ประโยชน์ด้านการค้า
ไม่ว่ากรณีใดๆทั้งสิ้น อีกทั้งห้ามมิให้ตัดแปลงเนื้อหา และต้องอ้างอิงถึงเจ้าของเอกสารทุกครั้งที่มีการนำไปใช้

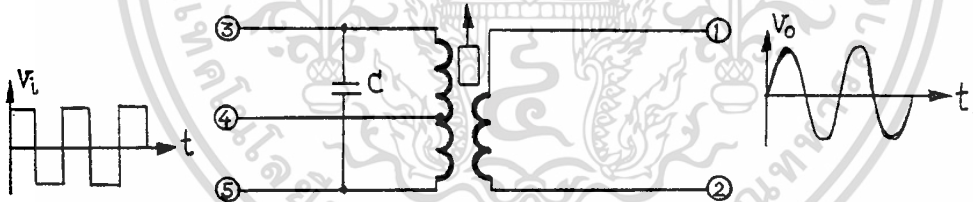
บทที่ 4

ปัญหา การปรับปรุง และการทดลอง

4.1 หมอแปลงไอ เอฟทีซีที่มีจำนวนของขดลวดไม่เท่ากันทำให้ความถี่เรโซแนนซ์แตกต่างกันไปซึ่งความถี่ที่ใช้ส่งผ่านสายไฟฟ้า ความถี่ที่ใช้ประมาณ 100 ถึง 300 กิโลเฮิร์ตต์แต่ความถี่ที่ใช้ในการทดลองนี้เราเลือกใช้ความถี่ที่ 250 กิโลเฮิร์ตต์เพราะถ้าความถี่สูงเกินไปทำให้เกิดความสูญเสียภายในสายแบบควิกควางจากการทดลองและทฤษฎีในบทที่ 3 ถึงสมการที่ 3.8

ในการทดลองนี้เราเลือกใช้หมอแปลงไอ เอฟทีซีค่า เบอร์ YMC 14602 ของ Toko ซึ่งมีความถี่เรโซแนนซ์ที่ใกล้เคียงกับความถี่ที่เราเลือกใช้ในงานนี้ (YMC14602 มีความถี่เรโซแนนซ์ที่ 455 กิโลเฮิร์ตต์)

ดังนั้นถ้าต้องการให้ความถี่เรโซแนนซ์เปลี่ยนไปเราสามารถใส่ทั้งค่า Inductance หรือ Capacitor อย่างใดอย่างหนึ่งโดยคำนวณได้จากสูตรวงจรจูนในบทที่ 2 แต่ในการทดลองเราใช้วิธีการเปลี่ยนค่าคาปาซิเตอร์ โดยมีหลักการดังนี้



ขั้นแรก ป้อนสัญญาณรูปคลื่นสี่เหลี่ยมขนาด $1 V_{pp}$ ที่ความถี่ 100 KHz ถึง 400 KHz จาก Signal Gen เข้าที่ขา 4 และขา 5 ของหมอแปลงไอ เอฟ

ขั้นที่สอง ใช้สโคปจับสัญญาณเอาต์พุตที่ขา 1 และขา 2 ของ ไอ เอฟ คำนวณ โดยสังเกตุรูปร่างสัญญาณเอาต์พุตที่ปรากฏที่จอสโคป จากการเปลี่ยนค่าความถี่ของสัญญาณอินพุตที่ป้อน ตั้งแต่ 100 KHz - 400 KHz โดยคุณลักษณะของสัญญาณที่จอสโคป ถ้าความถี่เรโซแนนซ์จะเห็นแรงดันสูงสุดและโครูปสัญญาณชานที่ความถี่นั้นออกมา ดังหลักการทางคณิตศาสตร์โดยใช้ทฤษฎีฟูเรียร์

เอกสารนี้เป็นเอกสารที่สงวนไว้สำหรับการใช้งานเพื่อการศึกษาเท่านั้น ไม่อนุญาตให้นำไปใช้ประโยชน์ด้านการค้า ไม่ว่าจะกรณีใดๆทั้งสิ้น อีกทั้งห้ามมิให้ตัดแปลงเนื้อหา และต้องอ้างอิงถึงเจ้าของเอกสารทุกครั้งที่มีการนำไปใช้

ดังนั้นถ้าเราเปลี่ยนค่าคาปาซิเตอร์และทำตามวิธีนี้ เลือกค่าคาปาซิเตอร์ที่เหมาะสม ตามความถี่ที่เราเลือกใช้ในการส่ง

จากการทดลองค่าคาปาซิเตอร์ที่เปลี่ยนเพื่อให้ได้ความถี่เรโซแนนซ์ที่ต้องการโดยที่ความเหนี่ยวนำมีค่าคงที่แล้ว ค่าคาปาซิเตอร์ที่ได้จากการทดลอง และจากการคำนวณมีค่าใกล้เคียงกัน

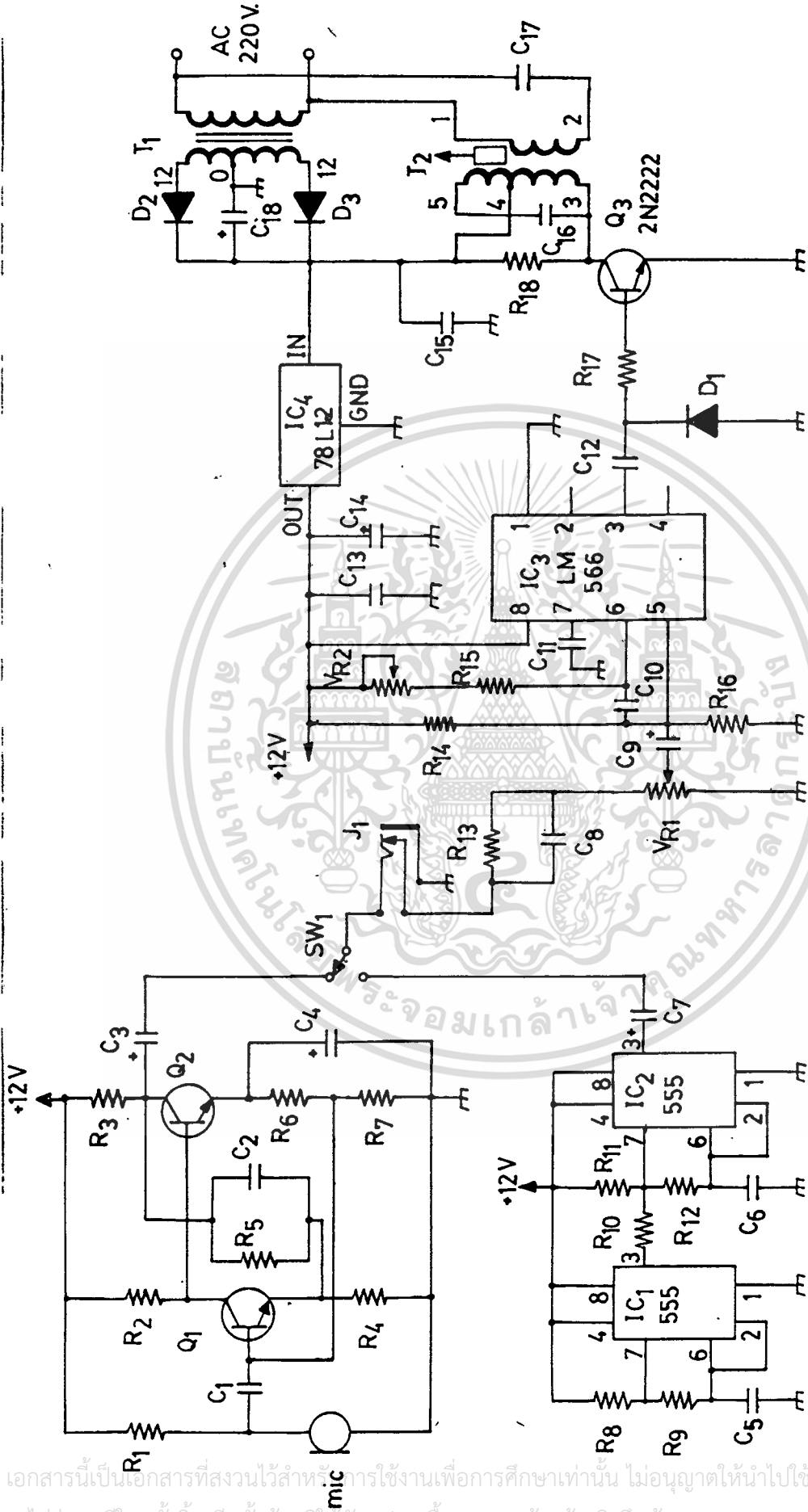
4.2 ที่ภาครับเมื่อสัญญาณที่จูนเข้ามามีความแรงเกินไปหรือมีสัญญาณอิมพลัสสูงๆเข้ามา จากการทดลองทำให้ทรานซิสเตอร์ Q7A, Q7B ใน IC # 3046 ซาก(เปิดวงจรระหว่างขา B กับขา E) เนื่องจากไคร์บริเวอ์ไบอัส ดังนั้นจึงได้น่าวงจรชลิตขนาดของสัญญาณมาคือที่ขาเบสของทรานซิสเตอร์ Q7A (ที่ขา 2 ของ IC #3046) ดังรูป ทำให้ทรานซิสเตอร์ Q7A ไม่เป็นอันคราย

4.3 เนื่องจากสัญญาณที่คี่เทคออกมาที่ขา 7 ของ LM 565 มีขนาดสัญญาณอ่อน จึงทำการเพิ่มภาคปริแอมป์เพื่อขยายสัญญาณให้เหมาะสมกับแรงดันอินพุทของภาคเพาเวอร์แอมป์จากผลการคำนวณในหัวข้อภาคขยายสัญญาณเสียง

4.4 เนื่องจาก IC# LM 380 ร้อนมากเพราะมีความถี่สูงผ่านเข้าไป จึงทำให้เกิดการออสซิลเลชัน ดังนั้นจึงทำการฟิลเตอร์ความถี่สูงนั้นออกไป โดยกำหนดความถี่คัทออฟไฟจากสูตร

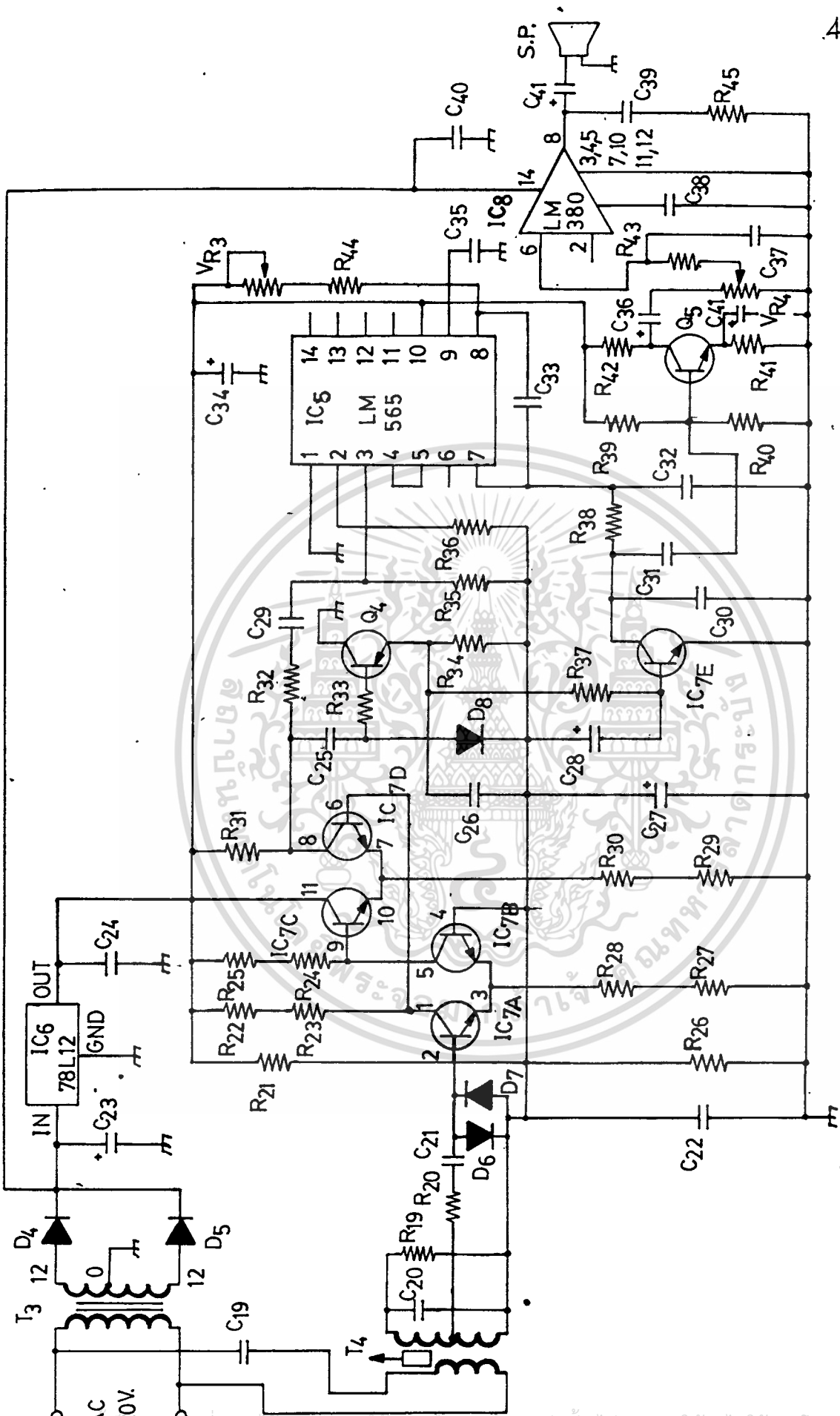
$$F_c = \frac{1}{6.28 * R43 * C37}$$

จึงทำให้ความถี่สูงถูกขยายพาสลงกราวด์หมดทำให้ IC LM 380 หรือเพาเวอร์แอมป์ไม่เกิดการออสซิลเล



รูปวงจรเครื่องส่งที่สมบูรณ์แล้ว

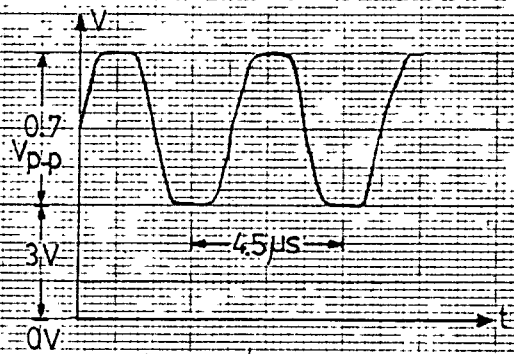
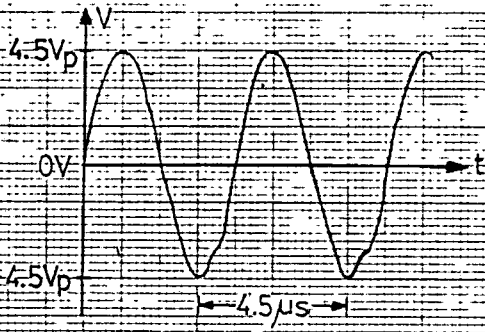
เอกสารนี้เป็นเอกสารที่สงวนไว้สำหรับการใช้งานเพื่อการศึกษาเท่านั้น ไม่อนุญาตให้นำไปใช้ประโยชน์ด้านการค้า
ไม่ว่ากรณีใดๆทั้งสิ้น อีกทั้งห้ามแก้ไขเปลี่ยนแปลงเนื้อหา และต้องอ้างอิงถึงเจ้าของเอกสารทุกครั้งที่มีการนำไปใช้



รูปวงจรเครื่องรับที่สมบรูณ์แล้ว

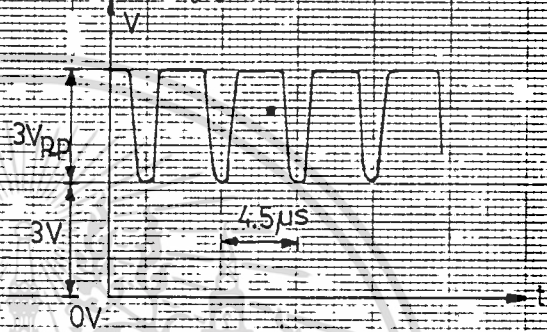
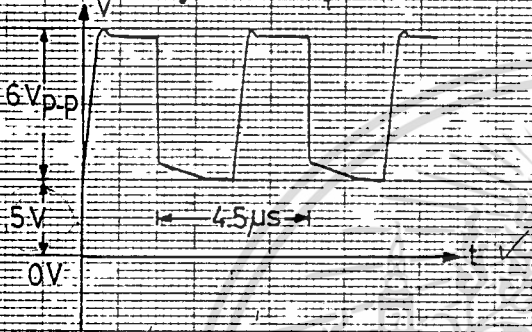
เอกสารนี้เป็นเอกสารที่สงวนไว้สำหรับการใช้งานเพื่อการศึกษาเท่านั้น ไม่อนุญาตให้นำไปใช้ประโยชน์ด้านการค้า

ไม่ว่ากรณีใดๆทั้งสิ้น อีกทั้งห้ามมิให้ดัดแปลงเนื้อหา และต้องอ้างอิงถึงเจ้าของเอกสารทุกครั้งที่มีการนำไปใช้



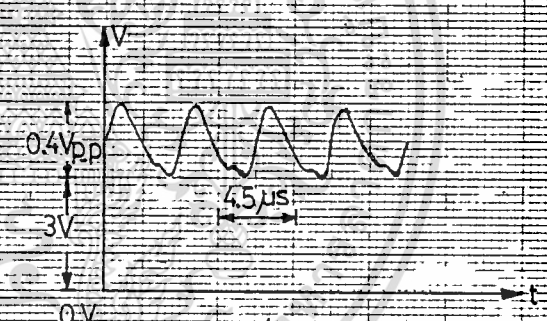
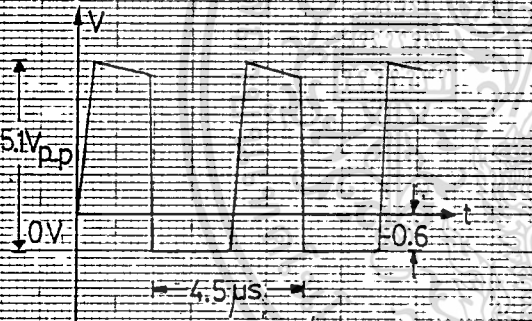
สัญญาณเคาน์พัลภาคตั้ง

สัญญาณที่ขา 2 ของ IC # 3946



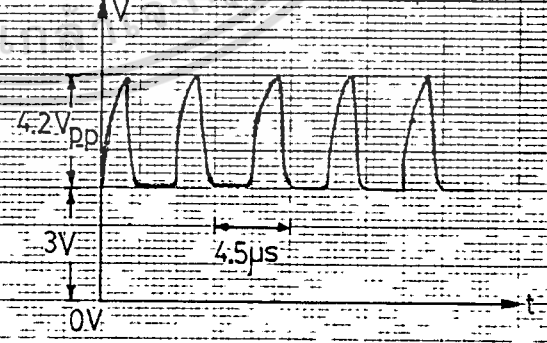
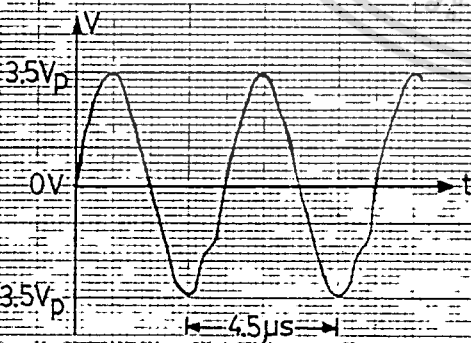
สัญญาณที่ขา 3 ของ IC-LM-566

สัญญาณที่ขา 1 ของ IC # 3946



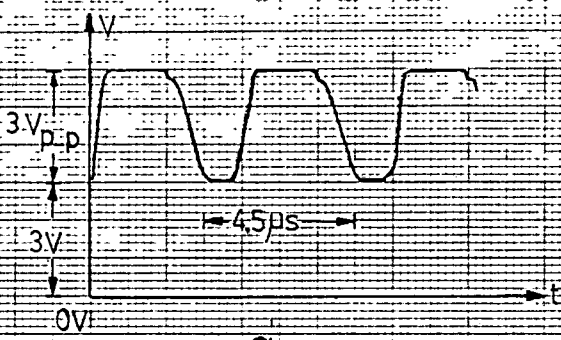
สัญญาณที่ขาโทด D1

สัญญาณที่ขา 3 ของ IC # 3946



สัญญาณที่ขา C 20

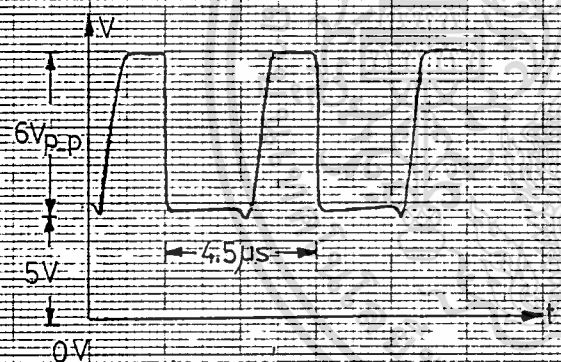
สัญญาณที่ขา 5 ของ IC # 3946



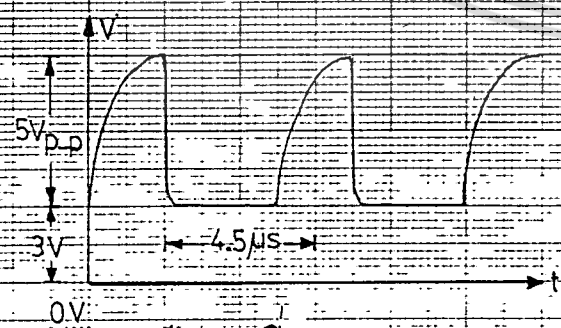
สัญญาณที่ 6 104 IC # 3346



สัญญาณที่ 7 104 IC # 3346



สัญญาณที่ 8 104 IC # 3346



สัญญาณที่ 9 104 IC # 3346

ค.ท.ท.(RESISTOR)

R1,R14,R40	22k
R2	68k
R3	2.2k
R4,R20,R37,R41,R44	1k
R5,R38	33k
R6	560
R7	330
R8,R10	100k
R9	560k
R11,R23,R24	4.7k
R12,R13,R33	10k
R15,R42	3.3k
R16	150k
R17	5.1k
R18	330 1/2W
R19,R32	3.9k
R21	1.2k
R22,R25,R28	1.5k
R26	820
R27	100
R29,R30	180
R31	510
R34	1.8k
R35,R36	620
R39	82k
R43	47k
R45	2.7
ความต้านทานปรับค่าได้ (VARIABLE RESISTOR)	
VR1 LINEAR	10k
VR2,VR3	20k
VR4 VOLUME	100kA

เอกสารนี้เป็นเอกสารที่สงวนไว้สำหรับการใช้งานเพื่อการศึกษาเท่านั้น ไม่อนุญาตให้นำไปใช้ประโยชน์ด้านการค้า
ไม่ว่ากรณีใดๆทั้งสิ้น อีกทั้งห้ามมิให้ดัดแปลงเนื้อหา และต้องอ้างอิงถึงเจ้าของเอกสารทุกครั้งที่มีการนำไปใช้

คาปาซิเตอร์ (CAPACITOR)

C1,C5,C25,C26,C31,C39	0.1 F
C2,C11	150PF
C3,C14,C36,C38	10 F/16V
C4,C27,C34,C41	47 F
C6	0.047 F
C7	5 F
C8,C10,C16,C20,C29,C33	0.001 F
C9,C28	2.2 F/16V
C12,C32	0.002 F
C13,C15,C21,C22,C24,C40	0.01 F
C17,C19	0.047 F/250V
C18,C23	2200 F/25V
C30	100PF
C35	300PF
C37	0.005 F

ไดโอด (DIODE)

D1,D6,D7,D8	1N4148
D2,D3,D4,D5	1N4001

ทรานซิสเตอร์ (TRANSISTOR)

Q1,Q2,Q5	BC109
Q3	2N2222
Q4	2N4248

ลิเนียร์ไอ ซี (LINEAR INTEGRATED CIRCUIT)

IC1,IC2	LM555
IC3	LM566
IC4,IC6	78L12
IC5	LM565
IC7	MC3346
IC8	LM380

เอกสารนี้เป็นเอกสารที่สงวนไว้สำหรับการใช้งานเพื่อการศึกษาเท่านั้น ไม่อนุญาตให้นำไปใช้ประโยชน์ด้านการค้า
ไม่ว่ากรณีใดๆทั้งสิ้น อีกทั้งห้ามมิให้ดัดแปลงเนื้อหา และต้องอ้างอิงถึงเจ้าของเอกสารทุกครั้งที่มีการนำไปใช้

บทสรุป

จากการที่ได้ทำการทดลองมาแล้ว จะเห็นว่าระบบรีโมท สปีคเกอร์ใช้ในการพูดคุยกันได้อีก ความสามารถของระบบต่อระยะทางที่คิดก่อนนั้นขึ้นอยู่กับวงจรรุ่นที่เราออกแบบ แต่อย่างไรก็ตามก็ยังมีข้อจำกัดคือจำนวนรอบเราไม่สามารถเพิ่มมากขึ้นไปได้เนื่องจากพันอยู่บนแกนเฟอร์ไรต์ที่มีเนื้อที่จำกัด ส่วนแหล่งจ่ายไฟใช้ขนาด 12 โวลต์เอ ซี ทั้งเครื่องรับและเครื่องส่ง นอกจากอุปกรณ์บางชนิดต้องการแรงดันที่คงที่มาก จึงต้องใช้เรกกูเลเตอร์เพื่อฟิลเตอร์อีกเพื่อให้ได้แรงดันที่คงที่ 12 โวลต์ ดี ซี สำหรับระบบขยายเสียงในเครื่องรับจำเป็นต้องใช้ฮีต ซิง เพื่อระบายความร้อนเพื่อป้องกันการเสียหายเนื่องจากความร้อนสูงเกินไป กำลังเอาต์พุตที่ออกทางลำโพงจะมีค่าเท่ากับ 2.5 วัตต์ ซึ่งความถี่ของเสียงเพียงพอต่อการรับฟัง

**LM380 audio power amplifier
general description**

The LM380 is a power audio amplifier for consumer application. In order to hold system cost to a minimum, gain is internally fixed at 34 dB. A unique input stage allows inputs to be ground referenced. The output is automatically self entering to one half the supply voltage.

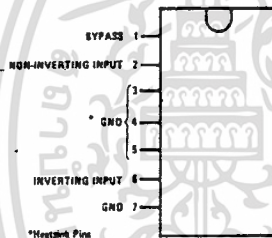
The output is short circuit proof with internal thermal limiting. The package outline is standard dual-in-line. A copper lead frame is used with the center three pins on either side comprising a heat sink. This makes the device easy to use in standard p-c layout.

Uses include simple phonograph amplifiers, intercoms, line drivers, teaching machine outputs, alarms, ultrasonic drivers, TV sound systems, AM-FM radio, small servo drivers, power converters, etc.

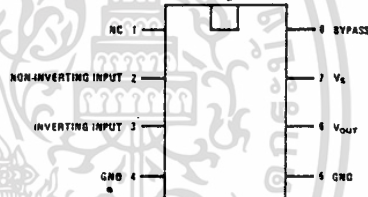
A selected part for more power on higher supply voltages is available as the LM384. For more information see AN-69.

features

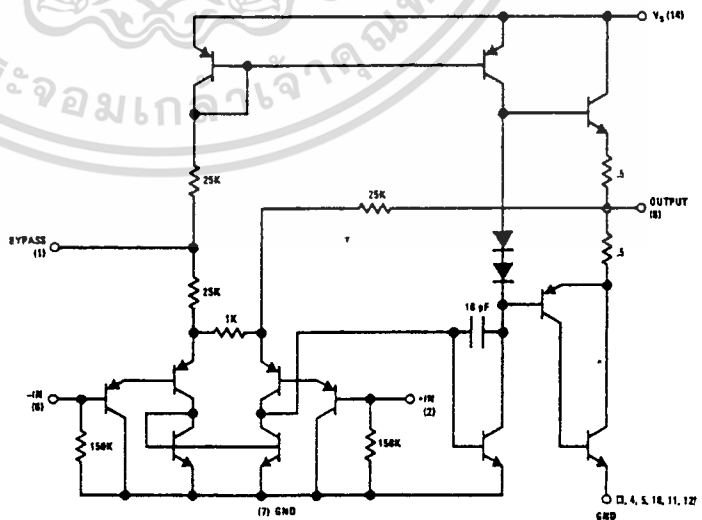
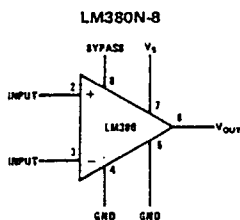
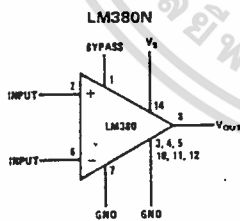
- Wide supply voltage range
- Low quiescent power drain
- Voltage gain fixed at 50
- High peak current capability
- Input referenced to GND
- High input impedance
- Low distortion
- Quiescent output voltage is at one-half of the supply voltage
- Standard dual-in-line package

connection diagrams (Dual-In-Line Packages, Top View)


Order Number LM380N
See NS Package N14A



Order Number LM380N-8
See NS Package N08B

block and schematic diagrams


absolute maximum ratings

LM380

Supply Voltage	22V
Peak Current	1.3A
Package Dissipation 14-Pin DIP (Notes 6 and 7)	10W
Input Voltage	$\pm 0.5V$
Storage Temperature	$-65^{\circ}C$ to $+150^{\circ}C$
Operating Temperature	$0^{\circ}C$ to $+70^{\circ}C$
Junction Temperature	$+150^{\circ}C$
Lead Temperature (Soldering, 10 sec)	$+300^{\circ}C$

electrical characteristics (Note 1)

PARAMETER	SYMBOL	CONDITIONS	MIN	TYP	MAX	UNITS
Output Power	$P_{OUT(RMS)}$	(Notes 3, 4) $R_L = 8\Omega$, THD = 3%	2.5			W
Gain	A_V		40	50	60	V/V
Output Voltage Swing	V_{OUT}	$R_L = 8\Omega$		14		V _{p-p}
Input Resistance	Z_{IN}			150k		Ω
Total Harmonic Distortion	THD	(Note 4, 5)		0.2		%
Power Supply Rejection Ratio	PSRR	(Note 2)		38		dB
Supply Voltage	V_S		8		22	V
Bandwidth	BW	$P_{OUT} = 2W$, $R_L = 8\Omega$		100k		Hz
Quiescent Supply Current	I_Q			7	25	mA
Quiescent Output Voltage	V_{OUTQ}		8	9.0	10	V
Bias Current	I_{BIAS}	Inputs Floating		100		nA
Short Circuit Current	I_{SC}			1.3		A

Note 1: $V_S = 18V$ and $T_A = 25^{\circ}C$ unless otherwise specified.

Note 2: Rejection ratio referred to the output with $C_{BYPASS} = 5 \mu F$.

Note 3: With device Pins 3, 4, 5, 10, 11, 12 soldered into a 1/16" epoxy glass board with 2 ounce copper foil with a minimum surface of 6 square inches.

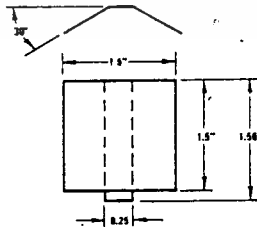
Note 4: If oscillation exists under some load conditions, add 2.7 Ω and 0.1 μF series network from Pin 8 to Gnd.

Note 5: $C_{BYPASS} = 0.47 \mu F$ on Pin 1.

Note 6: The maximum junction temperature of the LM380 is 150 $^{\circ}C$.

Note 7: The package is to be derated at 12 $^{\circ}C/W$ junction to heat sink pins.

heat sink dimensions



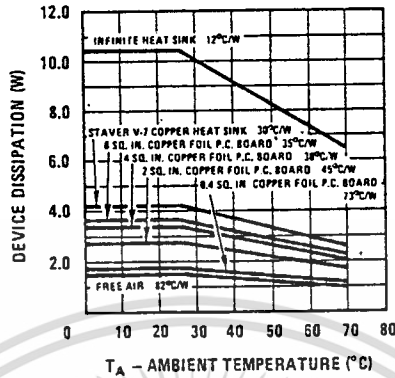
COPPER WINGS
2 REQUIRED TO
SOLDERED TO
PINS 3, 4, 5,
10, 11, 12 -
THICKNESS 0.04
INCHES

เอกสารนี้เป็นเอกสารที่สงวนไว้สำหรับการใช้งานเพื่อการศึกษาเท่านั้น ไม่อนุญาตให้นำไปใช้ประโยชน์ด้านการค้า
ไม่ว่ากรณีใดๆทั้งสิ้น อีกทั้งห้ามมิให้ดัดแปลงเนื้อหา และต้องอ้างอิงถึงเจ้าของเอกสารทุกครั้งที่มีการนำไปใช้

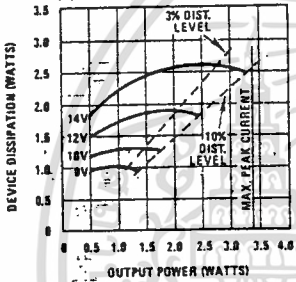
typical performance characteristics

LM380

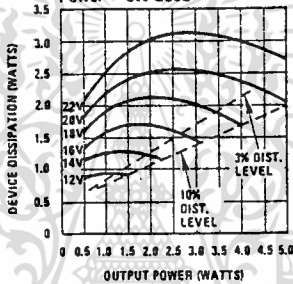
Device Dissipation vs Ambient Temperature



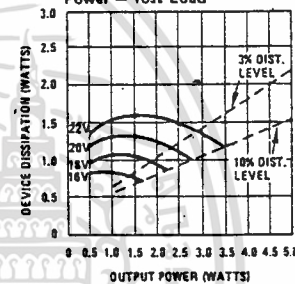
Device Dissipation vs Output Power - 4Ω Load



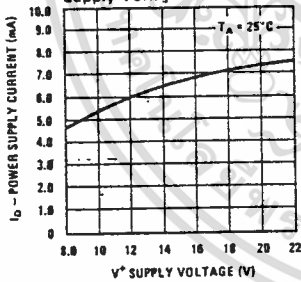
Device Dissipation vs Output Power - 8Ω Load



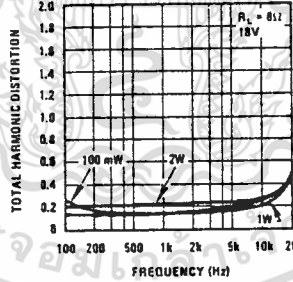
Device Dissipation vs Output Power - 16Ω Load



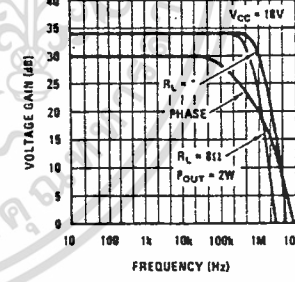
Power Supply Current vs Supply Voltage



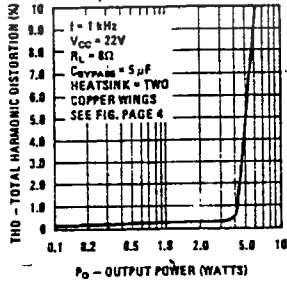
Total Harmonic Distortion vs Frequency



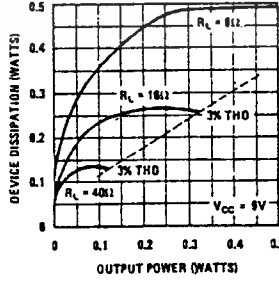
Output Voltage Gain and Phase vs Frequency



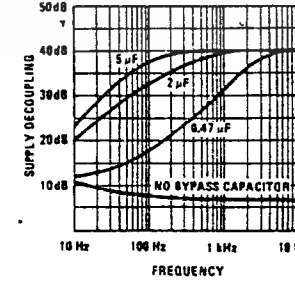
Total Harmonic Distortion vs Output Power



Device Dissipation vs Output Power



Supply Decoupling vs Frequency



เอกสารนี้เป็นเอกสารที่สงวนไว้สำหรับการใช้งานเพื่อการศึกษาเท่านั้น ไม่อนุญาตให้拿去ใช้ประโยชน์ด้านการค้า
ไม่ว่ากรณีใดๆทั้งสิ้น อีกทั้งห้ามมิให้ดัดแปลงเนื้อหา และต้องอ้างอิงถึงเจ้าของเอกสารทุกครั้งที่มีการนำไปใช้



National Semiconductor

Industrial/Automotive/Functional Blocks/ Telecommunications

LM566/LM566C voltage controlled oscillator

general description

The LM566/LM566C are general purpose voltage controlled oscillators which may be used to generate square and triangular waves, the frequency of which is a very linear function of a control voltage. The frequency is also a function of an external resistor and capacitor.

- High temperature stability
- Excellent supply voltage rejection
- 10 to 1 frequency range with fixed capacitor
- Frequency programmable by means of current, voltage, resistor or capacitor.

The LM566 is specified for operation over the -55°C to $+125^{\circ}\text{C}$ military temperature range. The LM566C is specified for operation over the 0°C to $+70^{\circ}\text{C}$ temperature range.

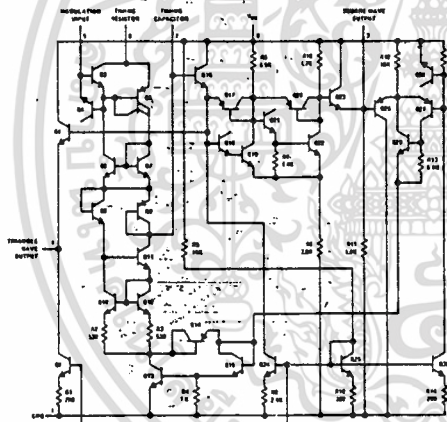
features

- Wide supply voltage range: 10 to 24 volts
- Very linear modulation characteristics

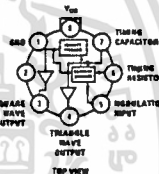
applications

- FM modulation
- Signal generation
- Function generation
- Frequency shift keying
- Tone generation

schematic and connection diagrams

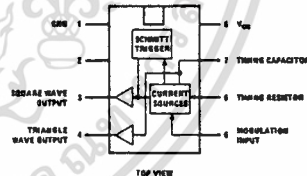


Metal Can Package



Order Number LM566H or LM566CH
See NS Package H08C

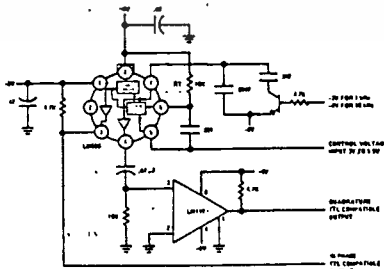
Dual-In-Line Package



Order Number LM566CN
See NS Package N08B

typical application

1 kHz and 10 kHz TTL Compatible Voltage Controlled Oscillator



applications information

The LM566 may be operated from either a single supply as shown in this test circuit, or from a split (\pm) power supply. When operating from a split supply, the square wave output (pin 4) is TTL compatible (2 mA current sink) with the addition of a 4.7 k Ω resistor from pin 3 to ground.

A .001 μF capacitor is connected between pins 5 and 6 to prevent parasitic oscillations that may occur during VCO switching.

$$f_o = \frac{2(V^+ - V_S)}{R_1 C_1 V^+}$$

where

$$2\text{K} < R_1 < 20\text{K}$$

and V_S is voltage between pin 5 and pin 1

เอกสารนี้เป็นเอกสารที่สงวนไว้สำหรับการใช้งานเพื่อการศึกษาเท่านั้น ไม่อนุญาตให้นำไปใช้ประโยชน์ด้านการค้า
ไม่ว่ากรณีใดๆทั้งสิ้น อีกทั้งห้ามมิให้ดัดแปลงเนื้อหา และต้องอ้างอิงถึงเจ้าของเอกสารทุกครั้งที่มีการนำไปใช้

absolute maximum ratings

Power Supply Voltage		26V
Power Dissipation (Note 1)		300 mW
Operating Temperature Range	LM566	-55°C to +125°C
	LM566C	0°C to 70°C
Lead Temperature (Soldering, 10 sec)		300°C

electrical characteristics $V_{CC} = 12V, T_A = 25^\circ C$, AC Test Circuit

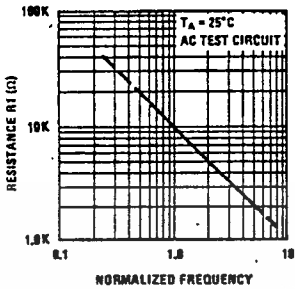
PARAMETER	CONDITIONS	LM566			LM566C			UNITS
		MIN	TYP	MAX	MIN	TYP	MAX	
Maximum Operating Frequency	$R_0 = 2k$ $C_0 = 2.7 pF$		1		1			MHz
Input Voltage Range Pin 5		$3/4 V_{CC}$		V_{CC}	$3/4 V_{CC}$		V_{CC}	
Average Temperature Coefficient of Operating Frequency			100		200			ppm/°C
Supply Voltage Rejection	10–20V		0.1	1	0.1	2		%/V
Input Impedance Pin 5		0.5	1		0.5	1		MΩ
VCO Sensitivity	For Pin 5, From 8–10V, $f_0 = 10 kHz$	6.4	6.6	6.8	6.0	6.6	7.2	kHz/V
FM Distortion	±10% Deviation		0.2	0.75	0.2	1.5		%
Maximum Sweep Rate		800	1		500	1		MHz
Sweep Range			10:1		10:1			
Output Impedance								
Pin 3			50		50			Ω
Pin 4			50		50			Ω
Square Wave Output Level	$R_{L1} = 10k$	5.0	5.4		5.0	5.4		V _{p-p}
Triangle Wave Output Level	$R_{L2} = 10k$	2.0	2.4		2.0	2.4		V _{p-p}
Square Wave Duty Cycle		45	50	55	40	50	60	%
Square Wave Rise Time			20		20			ns
Square Wave Fall Time			50		50			ns
Triangle Wave Linearity	+1V Segment at $1/2 V_{CC}$		0.2	0.75	0.5	1		%

Note 1: The maximum junction temperature of the LM566 is 150°C, while that of the LM566C is 100°C. For operating at elevated junction temperatures, devices in the TO-5 package must be derated based on a thermal resistance of 150°C/W. The thermal resistance of the dual-in-line package is 100°C/W.

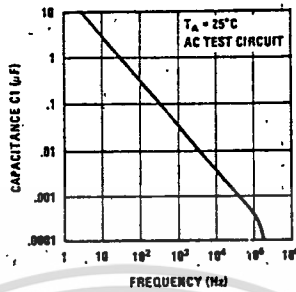
เอกสารนี้เป็นเอกสารที่สงวนไว้สำหรับการใช้งานเพื่อการศึกษาเท่านั้น ไม่อนุญาตให้นำไปใช้ประโยชน์ด้านการค้า
ไม่ว่ากรณีใดๆทั้งสิ้น อีกทั้งห้ามมิให้ดัดแปลงเนื้อหา และต้องอ้างอิงถึงเจ้าของเอกสารทุกครั้งที่มีการนำไปใช้

typical performance characteristics

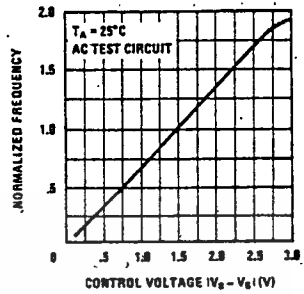
Operating Frequency as a Function of Timing Resistor



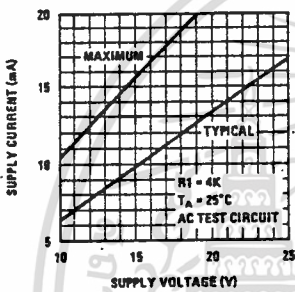
Operating Frequency as a Function of Timing Capacitor



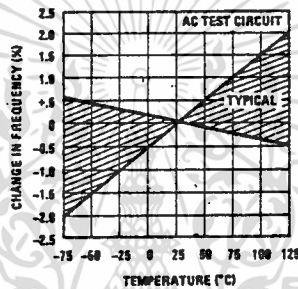
Normalized Frequency as a Function of Control Voltage



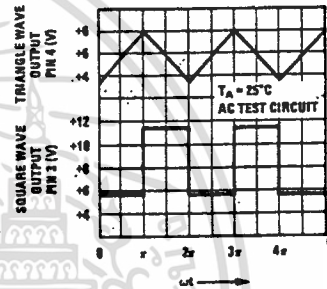
Power Supply Current



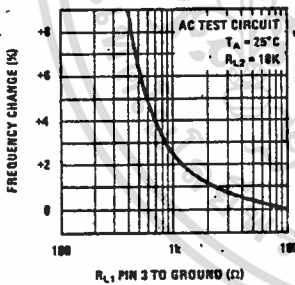
Temperature Stability



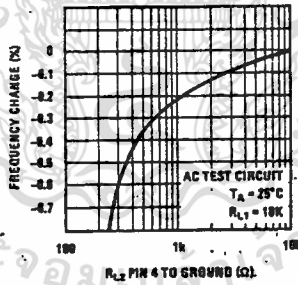
VCO Waveforms



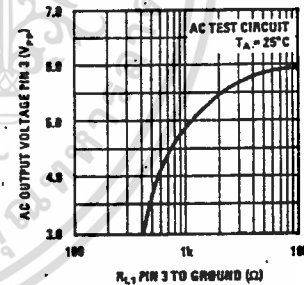
Frequency Stability vs Load Resistance (Square Wave Output)



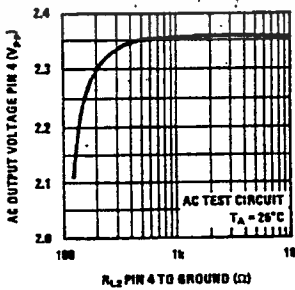
Frequency Stability vs Load Impedance (Triangle Output)



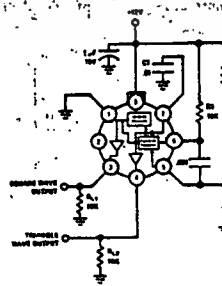
Square Wave Output Characteristics



Triangle Wave Output Characteristics



ac test circuit



เอกสารนี้เป็นเอกสารที่สงวนไว้สำหรับการใช้งานเพื่อการศึกษาเท่านั้น ไม่อนุญาตให้นำไปใช้ประโยชน์ด้านการค้า
ไม่ว่ากรณีใดๆทั้งสิ้น อีกทั้งห้ามมิให้ดัดแปลงเนื้อหา และต้องอ้างอิงถึงเจ้าของเอกสารทุกครั้งที่มีการนำไปใช้



National
Semiconductor

Industrial/Automotive/Functional
Blocks/ Telecommunications

LM565/LM565C phase locked loop general description

The LM565 and LM565C are general purpose phase locked loops containing a stable, highly linear voltage controlled oscillator for low distortion FM demodulation, and a double balanced phase detector with good carrier suppression. The VCO frequency is set with an external resistor and capacitor, and a tuning range of 10:1 can be obtained with the same capacitor. The characteristics of the closed loop system—bandwidth, response speed, capture and pull in range—may be adjusted over a wide range with an external resistor and capacitor. The loop may be broken between the VCO and the phase detector for insertion of a digital frequency divider to obtain frequency multiplication.

The LM565H is specified for operation over the -55°C to $+125^{\circ}\text{C}$ military temperature range. The LM565CH and LM565CN are specified for operation over the 0°C to $+70^{\circ}\text{C}$ temperature range.

features

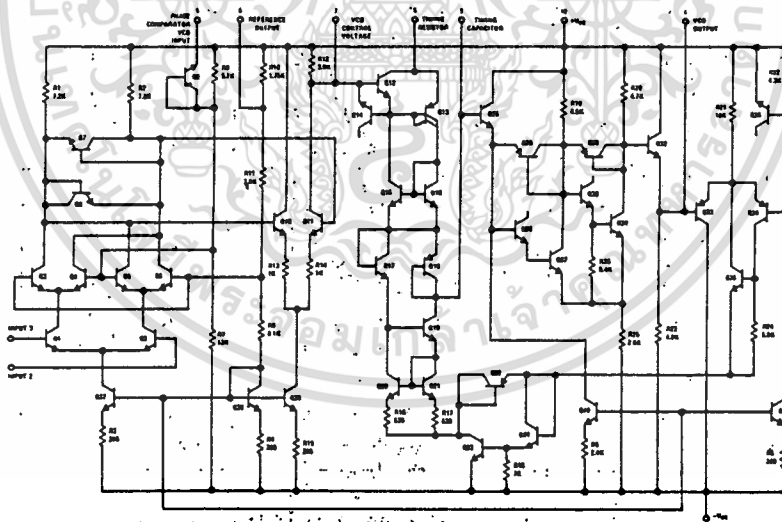
- 200 ppm/ $^{\circ}\text{C}$ frequency stability of the VCO

- Power supply range of ± 5 to ± 12 volts with 100 ppm/% typical
- 0.2% linearity of demodulated output
- Linear triangle wave with in phase zero crossings available
- TTL and DTL compatible phase detector input and square wave output
- Adjustable hold in range from $\pm 1\%$ to $> \pm 60\%$.

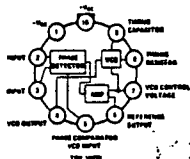
applications

- Data and tape synchronization
- Modems
- FSK demodulation
- FM demodulation
- Frequency synthesizer
- Tone decoding
- Frequency multiplication and division
- SCA demodulators
- Telemetry receivers
- Signal regeneration
- Coherent demodulators.

schematic and connection diagrams

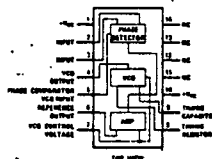


Metal Can Package



Order Number LM565H or LM565CH
See NS Package H10

Dual-In-Line Package



Order Number LM565CN
See NS Package N14A

เอกสารนี้เป็นเอกสารที่สงวนไว้สำหรับการใช้งานเพื่อการศึกษาเท่านั้น ไม่อนุญาตให้拿去ใช้ประโยชน์ด้านการค้า
ไม่ว่ากรณีใดๆทั้งสิ้น อีกทั้งห้ามมิให้ดัดแปลงเนื้อหา และต้องอ้างอิงถึงเจ้าของเอกสารทุกครั้งที่มีการนำไปใช้

absolute maximum ratings

Supply Voltage	±12V
Power Dissipation (Note 1)	300 mW
Differential Input Voltage	±1V
Operating Temperature Range LM565H	-55°C to +125°C
LM565CH, LM565CN	0°C to 70°C
Storage Temperature Range	-65°C to +150°C
Lead Temperature (Soldering, 10 sec)	300°C

electrical characteristics (AC Test Circuit, $T_A = 25^\circ\text{C}$, $V_C = \pm 6\text{V}$)

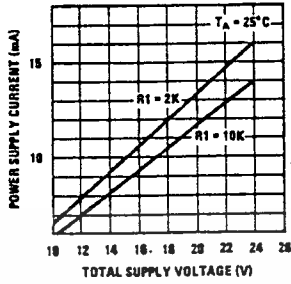
PARAMETER	CONDITIONS	LM565			LM565C			UNITS
		MIN	TYP	MAX	MIN	TYP	MAX	
Power Supply Current			8.0	12.5		8.0	12.5	mA
Input Impedance (Pins 2, 3)	$-4\text{V} < V_2, V_3 < 0\text{V}$	7	10			5		k Ω
VCO Maximum Operating Frequency	$C_0 = 2.7 \text{ pF}$	300	500		250	500		kHz
Operating Frequency Temperature Coefficient			-100	300		-200	500	ppm/ $^\circ\text{C}$
Frequency Drift with Supply Voltage			0.01	0.1		0.05	0.2	%/V
Triangle Wave Output Voltage		2	2.4	3	2	2.4	3	V_{pp}
Triangle Wave Output Linearity			0.2	0.75		0.5	1	%
Square Wave Output Level		4.7	5.4		4.7	5.4		V_{pp}
Output Impedance (Pin 4)			5			5		k Ω
Square Wave Duty Cycle		45	50	55	40	50	60	%
Square Wave Rise Time			20	100		20		ns
Square Wave Fall Time			50	200		50		ns
Output Current Sink (Pin 4)		0.6	1		0.6	1		mA
VCO Sensitivity	$f_0 = 10 \text{ kHz}$	6400	6600	6800	6000	6600	7200	Hz/V
Demodulated Output Voltage (Pin 7)	±10% Frequency Deviation	250	300	350	200	300	400	mV _{pp}
Total Harmonic Distortion	±10% Frequency Deviation		0.2	0.75		0.2	1.5	%
Output Impedance (Pin 7)			3.5			3.5		k Ω
DC Level (Pin 7)		4.25	4.5	4.75	4.0	4.5	5.0	V
Output Offset Voltage $ V_7 - V_6 $			30	100		50	200	mV
Temperature Drift of $V_7 - V_6$			500			500		$\mu\text{V}/^\circ\text{C}$
AM Rejection		30	40			40		dB
Phase Detector Sensitivity K_D		0.6	.68	0.9	0.55	.68	0.95	V/radian

Note 1: The maximum junction temperature of the LM565 is 150°C, while that of the LM565C and LM565CN is 100°C. For operation at elevated temperatures, devices in the TO-5 package must be derated based on a thermal resistance of 150°C/W junction to ambient or 45°C/W junction to case. Thermal resistance of the dual-in-line package is 100°C/W.

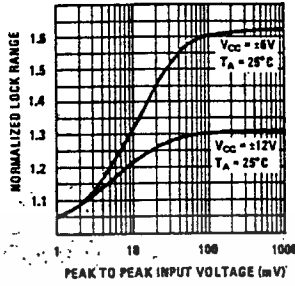
เอกสารนี้เป็นเอกสารที่สงวนไว้สำหรับการใช้งานเพื่อการศึกษาเท่านั้น ไม่อนุญาตให้นำไปใช้ประโยชน์ด้านการค้า
ไม่ว่ากรณีใดๆทั้งสิ้น อีกทั้งห้ามมิให้ดัดแปลงเนื้อหา และต้องอ้างอิงถึงเจ้าของเอกสารทุกครั้งที่มีการนำไปใช้

typical performance characteristics

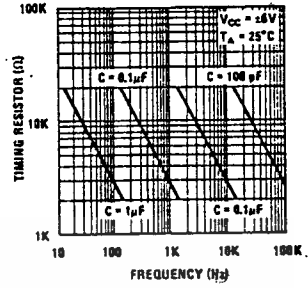
Power Supply Current as a Function of Supply Voltage



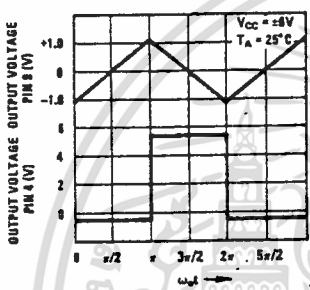
Lock Range as a Function of Input Voltage



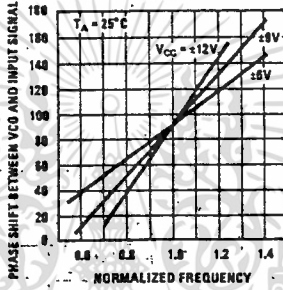
VCO Frequency



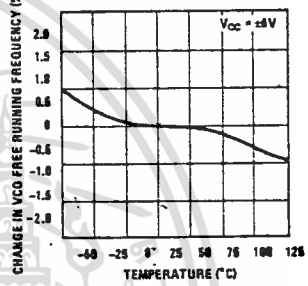
Oscillator Output Waveforms



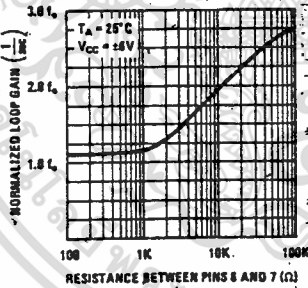
Phase Shift vs Frequency



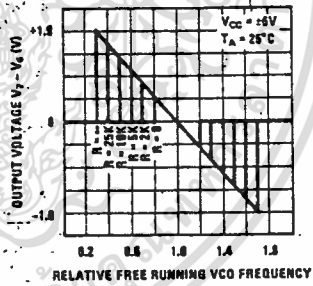
VCO Frequency as a Function of Temperature



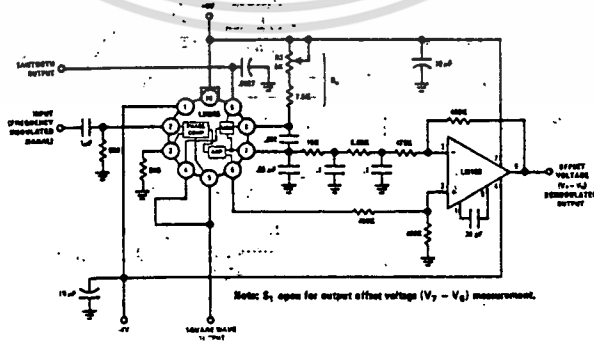
Loop Gain vs Load Resistance



Hold in Range as a Function of Rg-7



ac test circuit



เอกสารนี้เป็นเอกสารที่สงวนไว้สำหรับการใช้งานเพื่อการศึกษาเท่านั้น ไม่อนุญาตให้拿去ใช้ประโยชน์ด้านการค้า
ไม่ว่ากรณีใดๆทั้งสิ้น อีกทั้งห้ามมิให้ดัดแปลงเนื้อหา และต้องอ้างอิงถึงเจ้าของเอกสารทุกครั้งที่มีการนำไปใช้

applications information

In designing with phase locked loops such as the LM565, the important parameters of interest are:

The natural bandwidth of the closed loop response may be found from:

FREE-RUNNING FREQUENCY

$$f_o \cong \frac{1}{3.7 R_o C_o}$$

LOOP GAIN: relates the amount of phase change between the input signal and the VCO signal for a shift in input signal frequency (assuming the loop remains in lock). In servo theory, this is called the "velocity error coefficient".

$$\text{Loop gain} = K_o K_D \left(\frac{1}{\text{sec}} \right)$$

$$K_o = \text{oscillator sensitivity} \left(\frac{\text{radians/sec}}{\text{volt}} \right)$$

$$K_D = \text{phase detector sensitivity} \left(\frac{\text{volts}}{\text{radian}} \right)$$

The loop gain of the LM565 is dependent on supply voltage, and may be found from:

$$K_o K_D = \frac{33.6 f_o}{V_c}$$

f_o = VCO frequency in Hz

V_c = total supply voltage to circuit.

Loop gain may be reduced by connecting a resistor between pins 6 and 7; this reduces the load impedance on the output amplifier and hence the loop gain.

HOLD IN RANGE: the range of frequencies that the loop will remain in lock after initially being locked.

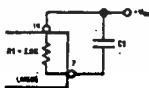
$$f_H = \pm \frac{8 f_o}{V_c}$$

f_o = free running frequency of VCO

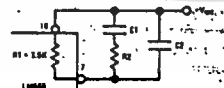
V_c = total supply voltage to the circuit.

THE LOOP FILTER

In almost all applications, it will be desirable to filter the signal at the output of the phase detector (pin 7) this filter may take one of two forms:



Simple Lag Filter



Lag-Lead Filter

A simple lag filter may be used for wide closed loop bandwidth applications such as modulation following where the frequency deviation of the carrier is fairly high (greater than 10%), or where wideband modulating signals must be followed.

Associated with this is a damping factor:

$$\delta = \frac{1}{2} \sqrt{\frac{1}{R_1 C_1 K_o K_D}}$$

For narrow band applications where a narrow noise bandwidth is desired, such as applications involving tracking a slowly varying carrier, a lead lag filter should be used. In general, if $1/R_1 C_1 < K_o K_D$, the damping factor for the loop becomes quite small resulting in large overshoot and possible instability in the transient response of the loop. In this case, the natural frequency of the loop may be found from

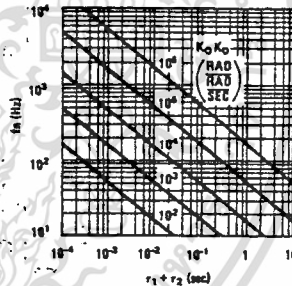
$$f_n = \frac{1}{2\pi} \sqrt{\frac{K_o K_D}{\tau_1 + \tau_2}}$$

$$\tau_1 + \tau_2 = (R_1 + R_2) C_1$$

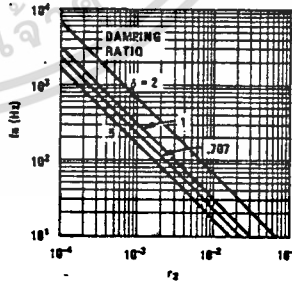
R_2 is selected to produce a desired damping factor δ , usually between 0.5 and 1.0. The damping factor is found from the approximation:

$$\delta \cong \pi \tau_2 f_n$$

These two equations are plotted for convenience.



Filter Time Constant vs Natural Frequency



Damping Time Constant vs Natural Frequency

Capacitor C_2 should be much smaller than C_1 since its function is to provide filtering of carrier. In general $C_2 \leq 0.1 C_1$.

TIMER

SE/NE555/SE555C

DESCRIPTION

The 555 monolithic timing circuit is a highly stable controller capable of producing accurate time delays, or oscillation. In the time delay mode of operation, the time is precisely controlled by one external resistor and capacitor. For a stable operation as an oscillator, the free running frequency and the duty cycle are both accurately controlled with two external resistors and one capacitor. The circuit may be triggered and reset on falling waveforms, and the output structure can source or sink up to 200mA.

FEATURES

- Turn off time less than $2\mu s$
- Maximum operating frequency greater than 500kHz
- Timing from microseconds to hours
- Operates in both astable and monostable modes
- High output current
- Adjustable duty cycle
- TTL compatible
- Temperature stability of 0.005% per °C

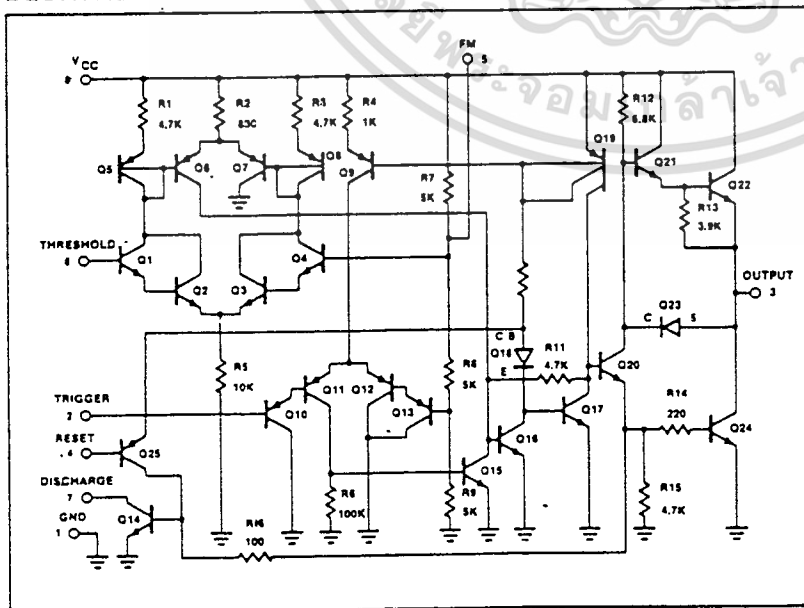
APPLICATIONS

- Precision timing
- Pulse generation
- Sequential timing
- Time delay generation
- Pulse width modulation
- Pulse position modulation
- Missing pulse detector

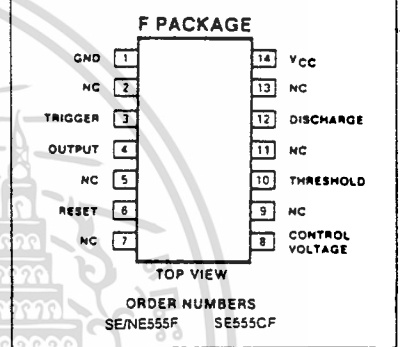
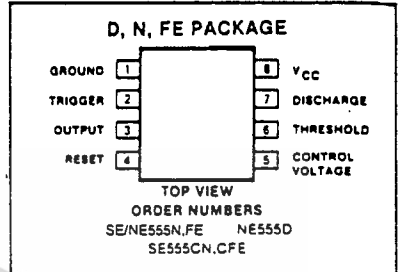
ABSOLUTE MAXIMUM RATINGS

PARAMETER	RATING	UNIT
Supply voltage		V
SE555	+18	V
NE555, SE555C	+16	V
Power dissipation	600	mW
Operating temperature range		°C
SE555	0 to +70	°C
NE555, SE555C	-55 to +125	°C
Storage temperature range	-65 to +150	°C
Lead temperature (soldering, 60sec)	300	°C

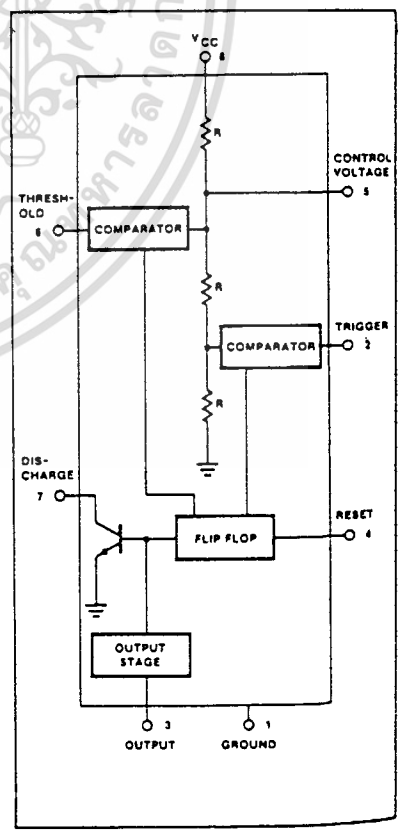
EQUIVALENT SCHEMATIC



PIN CONFIGURATIONS



BLOCK DIAGRAM



เอกสารนี้เป็นเอกสารที่สงวนไว้สำหรับการใช้งานเพื่อการศึกษาเท่านั้น ไม่อนุญาตให้นำไปใช้ประโยชน์ด้านการค้า
 ไม่ว่าจะกรณีใดๆทั้งสิ้น อีกทั้งห้ามมิให้ดัดแปลงเนื้อหา และต้องอ้างอิงถึงเจ้าของเอกสารทุกครั้งที่มีการนำไปใช้

TIMER

SE/NE555/SE555C

DC ELECTRICAL CHARACTERISTICS $T_A = 25^\circ\text{C}$, $V_{CC} = +5\text{V}$ to $+15$ unless otherwise specified.

PARAMETER	TEST CONDITIONS	SE555			NE555/SE555C			UNIT
		Min	Typ	Max	Min	Typ	Max	
Supply voltage		4.5		18	4.5		16	V
Supply current (low state) ¹	$V_{CC} = 5\text{V } R_L = \infty$ $V_{CC} = 15\text{V } R_L = \infty$		3 10	5 12		3 10	6 15	mA mA
Timing error (monostable) Initial accuracy ² Drift with temperature Drift with supply voltage	$R_A = 2\text{K}\Omega$ to $100\text{K}\Omega$ $C = 0.1\mu\text{F}$		0.5 30 0.05	2.0 100 0.2		1.0 50 0.1	3.0 150 0.5	% ppm/ $^\circ\text{C}$ %/V
Timing error (astable) Initial accuracy ² Drift with temperature Drift with supply voltage	$R_A, R_B = 1\text{k}\Omega$ to $100\text{k}\Omega$ $C = 0.1\mu\text{F}$ $V_{CC} = 15\text{V}$		4 0.15	6 500 0.6		5 0.3	13 500 1	% ppm/ $^\circ\text{C}$ %/V
Control voltage level	$V_{CC} = 15\text{V}$ $V_{CC} = 5\text{V}$	9.6 2.9	10.0 3.33	10.4 3.8	9.0 2.6	10.0 3.33	11.0 4.0	V V
Threshold voltage	$V_{CC} = 15\text{V}$ $V_{CC} = 5\text{V}$	9.4 2.7	10.0 3.33	10.6 4.0	8.8 2.4	10.0 3.33	11.2 4.2	V V
Threshold current ³			0.1	0.25		0.1	0.25	μA
Trigger voltage	$V_{CC} = 15\text{V}$ $V_{CC} = 5\text{V}$	4.8 1.45	5.0 1.67	5.2 1.9	4.5 1.1	5.0 1.67	5.6 2.2	V V
Trigger current	$V_{TRIG} = 0\text{V}$		0.5	0.9		0.5	2.0	μA
Reset voltage ⁴		0.3		1.0	0.3		1.0	V
Reset current			0.1	0.4		0.1	0.4	mA
Reset current	$V_{RESET} = 0\text{V}$		0.4	1.0		0.4	1.5	mA
Output voltage (low)	$V_{CC} = 15\text{V}$ $I_{SINK} = 10\text{mA}$ $I_{SINK} = 50\text{mA}$ $I_{SINK} = 100\text{mA}$ $I_{SINK} = 200\text{mA}$ $V_{CC} = 5\text{V}$ $I_{SINK} = 8\text{mA}$ $I_{SINK} = 5\text{mA}$		0.1 0.4 2.0 2.5	0.15 0.5 2.2		0.1 0.4 2.0 2.5	0.25 0.75 2.5	V V V V
Output voltage (high)	$V_{CC} = 15\text{V}$ $I_{SOURCE} = 200\text{mA}$ $I_{SOURCE} = 100\text{mA}$ $V_{CC} = 5\text{V}$ $I_{SOURCE} = 100\text{mA}$		12.5 13.0			12.5 13.3		V V
Turn off time ⁵	$V_{RESET} = V_{CC}$		0.5	2.0		0.5	2.0	μs
Rise time of output			100	200		100	300	ns
Fall time of output			100	200		100	300	ns
Discharge leakage current			20	100		20	100	na

NOTES

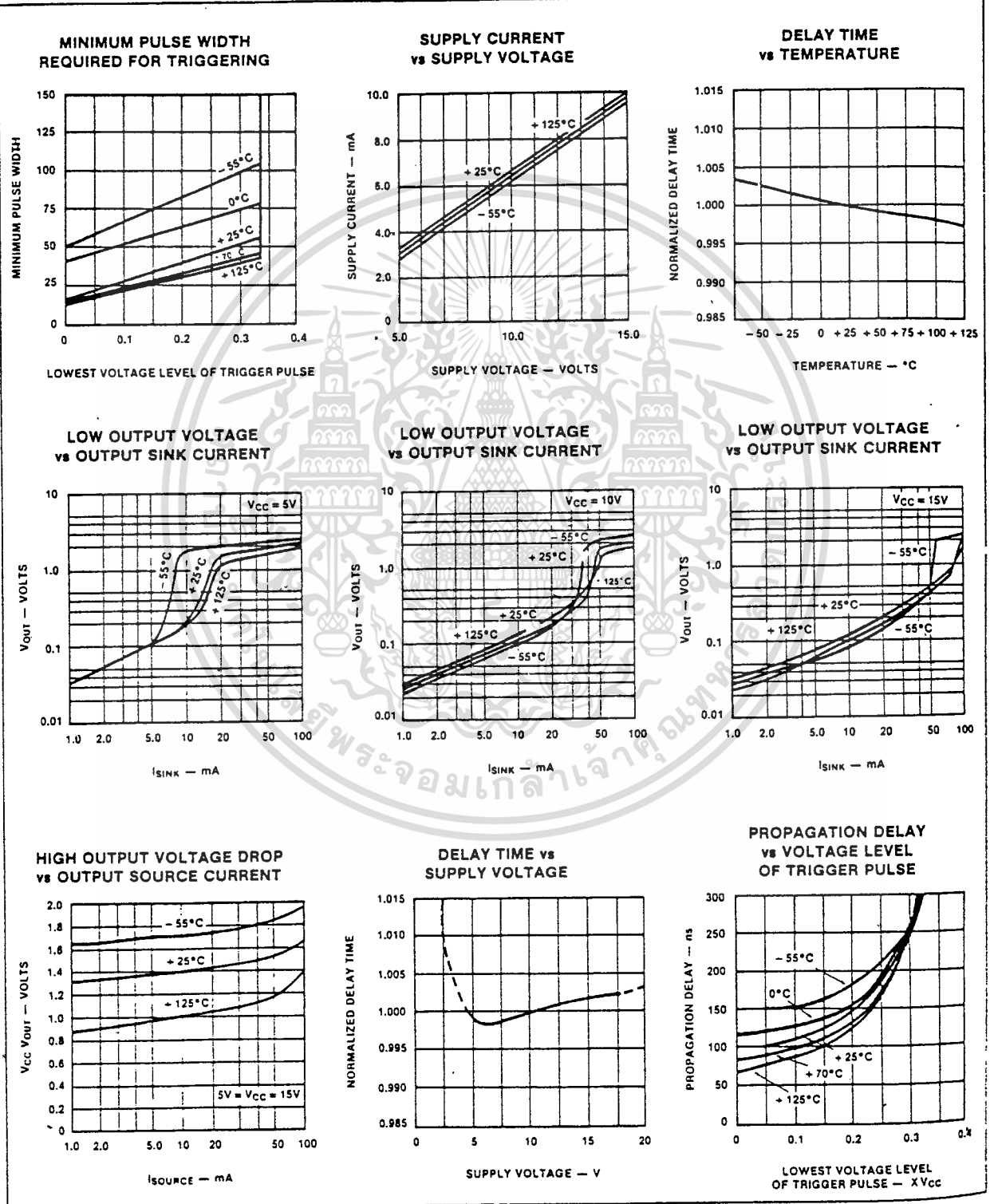
- Supply current when output high typically 1mA less.
- Tested at $V_{CC} = 5\text{V}$ and $V_{CC} = 15\text{V}$.
- This will determine the maximum value of $R_A - R_B$, for 15V operation, the max total $R = 10$ megohm, and for 5V operation, the max total $R = 3.4$ megohm.
- Specified with trigger input high.
- Time measured from a positive going input pulse from 0 to $0.8 \times V_{CC}$ into the threshold to the drop from high to low of the output. Trigger is tied to threshold.

เอกสารนี้เป็นเอกสารที่สงวนไว้สำหรับการใช้งานเพื่อการศึกษาเท่านั้น ไม่อนุญาตให้นำไปใช้ประโยชน์ด้านการค้า
ไม่ว่ากรณีใดๆทั้งสิ้น อีกทั้งห้ามมิให้ดัดแปลงเนื้อหา และต้องอ้างอิงถึงเจ้าของเอกสารทุกครั้งที่มีการนำไปใช้

TIMER

SE/NE555/SE555C

TYPICAL PERFORMANCE CHARACTERISTICS



เอกสารนี้เป็นเอกสารที่สงวนไว้สำหรับการใช้งานเพื่อการศึกษาเท่านั้น ไม่อนุญาตให้นำไปใช้ประโยชน์ด้านการค้า
 ไม่ว่ากรณีใดๆทั้งสิ้น อีกทั้งห้ามมิให้ดัดแปลงเนื้อหา และต้องอ้างอิงถึงเจ้าของเอกสารทุกครั้งที่มีการนำไปใช้

2N2218, A, 2N2219, A 2N2221, A (SILICON) 2N2222, A, 2N5581, 2N5582

NPN SILICON ANNULAR HERMETIC TRANSISTORS

... widely used "Industry Standard" transistors for applications as medium-speed switches and as amplifiers from audio to VHF frequencies.

- DC Current Gain Specified – 1.0 to 500 mAdc
- Low Collector-Emitter Saturation Voltage –
VCE(sat) @ IC = 500 mAdc
= 1.6 Vdc (Max) – Non-A Suffix
= 1.0 Vdc (Max) – A-Suffix
- High Current-Gain-Bandwidth Product –
fT = 250 MHz (Min) @ IC = 20 mAdc – All Types Except
= 300 MHz (Min) @ IC = 20 mAdc – 2N2219A, 2N2222A,
2N5582
- Complements to PNP 2N2904,A thru 2N2907,A
- JAN/JANTX Available for all devices

NPN SILICON SWITCHING AND AMPLIFIER TRANSISTORS

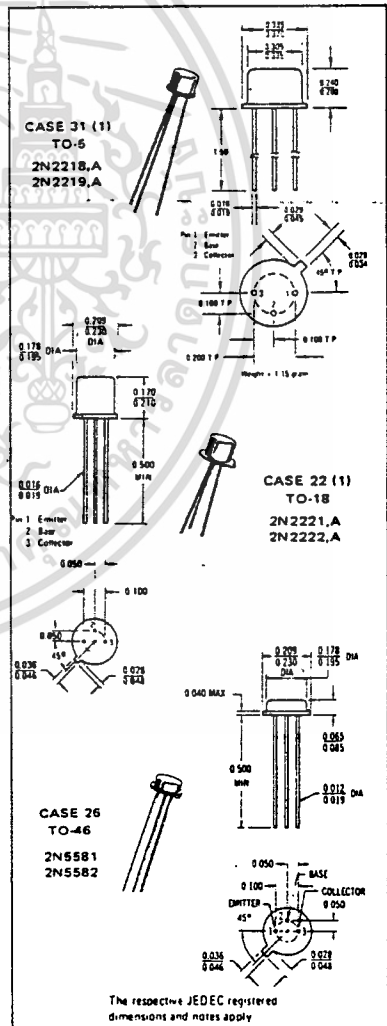
SELECTION GUIDE

Device Type	Characteristic			Package
	BVCEO IC = 10 mAdc Volts	IC = 150 mAdc Min/Max	hFE IC = 500 mAdc Min	
2N2218 2N2219	30	40/120 100/300	20 30	TO-5
2N2221 2N2222	30	40/120 100/300	20 30	TO-18
2N5581 2N5582	40	40/120 100/300	25 40	TO-46
2N2218A 2N2219A	40	40/120 100/300	25 40	TO-5
2N2221A 2N2222A	40	40/120 100/300	25 40	TO-18

*MAXIMUM RATINGS

Rating	Symbol	2N2218 2N2219 2N2221 2N2222	2N2218A 2N2219A 2N2221A 2N2222A	2N5581 2N5582	Unit
Collector-Emitter Voltage	VCEO	30	40	40	Vdc
Collector-Base Voltage	VCB	60	75	75	Vdc
Emitter-Base Voltage	VEB	5.0	6.0	6.0	Vdc
Collector Current – Continuous	IC	800	800	800**	mAdc
Total Device Dissipation @ TA = 25°C Derate above 25°C	PD	0.8 5.33	0.5 3.33	0.5 3.33	Watt mW/°C
Total Device Dissipation @ TC = 25°C Derate above 25°C	PD	3.0 20	1.8 12	2.0 11.43	Watts mW/°C
Operating and Storage Junction Temperature Range	TJ, Tstg	-65 to +200			°C

*Indicates JEDEC Registered Data.
**Motorola Guarantees this Data in Addition to JEDEC Registered Data.



The respective JEDEC registered dimensions and notes apply

เอกสารนี้เป็นเอกสารที่สงวนไว้สำหรับการใช้งานเพื่อการศึกษาเท่านั้น ไม่อนุญาตให้นำไปใช้ประโยชน์ด้านการค้า
ไม่ว่ากรณีใดๆทั้งสิ้น อีกทั้งห้ามมิให้ดัดแปลงเนื้อหา และต้องอ้างอิงถึงเจ้าของเอกสารทุกครั้งที่มีการนำไปใช้

2N2218,A, 2N2219,A, 2N2221,A, 2N2222,A, 2N5581, 2N5582 (continued)

*ELECTRICAL CHARACTERISTICS ($T_A = 25^\circ\text{C}$ unless otherwise noted)

Characteristic	Symbol	Min	Max	Unit
OFF CHARACTERISTICS				
Collector-Emitter Breakdown Voltage ($I_C = 10 \text{ mA}, I_B = 0$)	Non-A Suffix A-Suffix, 2N5581, 2N5582 BV_{CEO}	30 40	— —	Vdc
Collector-Base Breakdown Voltage ($I_C = 10 \mu\text{A}, I_E = 0$)	Non-A Suffix A-Suffix, 2N5581, 2N5582 BV_{CBO}	60 75	— —	Vdc
Emitter-Base Breakdown Voltage ($I_E = 10 \mu\text{A}, I_C = 0$)	Non-A Suffix A-Suffix, 2N5581, 2N5582 BV_{EBO}	5.0 6.0	— —	Vdc
Collector Cutoff Current ($V_{CE} = 60 \text{ Vdc}, V_{EB}(\text{off}) = 3.0 \text{ Vdc}$)	A-Suffix, 2N5581, 2N5582 I_{CEX}	—	10	nA
Collector Cutoff Current ($V_{CB} = 50 \text{ Vdc}, I_E = 0$)	Non-A Suffix A-Suffix, 2N5581, 2N5582 I_{CBO}	—	0.01 0.01	μA
Collector Cutoff Current ($V_{CB} = 60 \text{ Vdc}, I_E = 0$)	Non-A Suffix A-Suffix, 2N5581, 2N5582	—	10 10	
Collector Cutoff Current ($V_{CB} = 50 \text{ Vdc}, I_E = 0, T_A = 150^\circ\text{C}$)	Non-A Suffix A-Suffix, 2N5581, 2N5582	—	10 10	
Collector Cutoff Current ($V_{CB} = 60 \text{ Vdc}, I_E = 0, T_A = 150^\circ\text{C}$)	A-Suffix, 2N5581, 2N5582	—	10	
Emitter Cutoff Current ($V_{EB} = 3.0 \text{ Vdc}, I_C = 0$)	A-Suffix, 2N5581, 2N5582 I_{EBO}	—	10	nA
Base Cutoff Current ($V_{CE} = 60 \text{ Vdc}, V_{EB}(\text{off}) = 3.0 \text{ Vdc}$)	A-Suffix I_{BL}	—	20	nA
ON CHARACTERISTICS				
DC Current Gain ($I_C = 0.1 \text{ mA}, V_{CE} = 10 \text{ Vdc}$)	2N2218,A, 2N2221,A, 2N5581(1) 2N2219,A, 2N2222,A, 2N5582(1) h_{FE}	20 35	— —	—
($I_C = 1.0 \text{ mA}, V_{CE} = 10 \text{ Vdc}$)	2N2218,A, 2N2221,A, 2N5581 2N2219,A, 2N2222,A, 2N5582	25 50	— —	
($I_C = 10 \text{ mA}, V_{CE} = 10 \text{ Vdc}$)	2N2218,A, 2N2221,A, 2N5581(1) 2N2219,A, 2N2222,A, 2N5582(1)	35 75	— —	
($I_C = 10 \text{ mA}, V_{CE} = 10 \text{ Vdc}, T_A = -55^\circ\text{C}$)	2N2218,A, 2N2221,A, 2N5581 2N2219,A, 2N2222,A, 2N5582	15 35	— —	
($I_C = 150 \text{ mA}, V_{CE} = 10 \text{ Vdc}$)(1)	2N2218,A, 2N2221,A, 2N5581 2N2219,A, 2N2222,A, 2N5582	40 100	120 300	
($I_C = 150 \text{ mA}, V_{CE} = 1.0 \text{ Vdc}$)(1)	2N2218,A, 2N2221,A, 2N5581 2N2219,A, 2N2222,A, 2N5582	20 50	— —	
($I_C = 500 \text{ mA}, V_{CE} = 10 \text{ Vdc}$)(1)	2N2218, 2N2221 2N2219, 2N2222 2N2218,A, 2N2221,A, 2N5581 2N2219,A, 2N2222,A, 2N5582	20 30 25 40	— — — —	
Collector-Emitter Saturation Voltage(1) ($I_C = 150 \text{ mA}, I_B = 15 \text{ mA}$)	Non-A Suffix A-Suffix, 2N5581, 2N5582 $V_{CE}(\text{sat})$	— —	0.4 0.3	Vdc
($I_C = 500 \text{ mA}, I_B = 50 \text{ mA}$)	Non-A Suffix A-Suffix, 2N5581, 2N5582	— —	1.6 1.0	
Base-Emitter Saturation Voltage(1) ($I_C = 150 \text{ mA}, I_B = 15 \text{ mA}$)	Non-A Suffix A-Suffix, 2N5581, 2N5582 $V_{BE}(\text{sat})$	0.6 0.6	2.0 1.2	Vdc
($I_C = 500 \text{ mA}, I_B = 50 \text{ mA}$)	Non-A Suffix A-Suffix, 2N5581, 2N5582	— —	2.6 2.0	

เอกสารนี้เป็นเอกสารที่สงวนไว้สำหรับการใช้งานเพื่อการศึกษาเท่านั้น ไม่อนุญาตให้นำไปใช้ประโยชน์ด้านการค้า
ไม่ว่ากรณีใดๆทั้งสิ้น อีกทั้งห้ามมิให้ดัดแปลงเนื้อหา และต้องอ้างอิงถึงเจ้าของเอกสารทุกครั้งที่มีการนำไปใช้

2N2218,A, 2N2219,A, 2N2221,A, 2N2222,A, 2N5581, 2N5582 (continued)

*ELECTRICAL CHARACTERISTICS (Continued)

Characteristic	Symbol	Min	Max	Unit	
SMALL-SIGNAL CHARACTERISTICS					
Current-Gain-Bandwidth Product(2) ($I_C = 20 \text{ mAdc}$, $V_{CE} = 20 \text{ Vdc}$, $f = 100 \text{ MHz}$)	All Types, Except 2N2219A, 2N2222A, 2N5582	f_T	250 300	— —	MHz
Output Capacitance(3) ($V_{CB} = 10 \text{ Vdc}$, $I_E = 0$, $f = 100 \text{ kHz}$)		C_{ob}	—	8.0	pF
Input Capacitance(3) ($V_{EB} = 0.5 \text{ Vdc}$, $I_C = 0$, $f = 100 \text{ kHz}$)	Non-A Suffix A-Suffix, 2N5581, 2N5582	C_{ib}	— —	30 25	pF
Input Impedance ($I_C = 1.0 \text{ mAdc}$, $V_{CE} = 10 \text{ Vdc}$, $f = 1.0 \text{ kHz}$)	2N2218A, 2N2221A, 2N5581 2N2219A, 2N2222A, 2N5582	h_{ie}	1.0 2.0	3.5 8.0	k ohms
($I_C = 10 \text{ mAdc}$, $V_{CE} = 10 \text{ Vdc}$, $f = 1.0 \text{ kHz}$)	2N2218A, 2N2221A, 2N5581 2N2219A, 2N2222A, 2N5582		0.2 0.25	1.0 1.25	
Voltage Feedback Ratio ($I_C = 1.0 \text{ mAdc}$, $V_{CE} = 10 \text{ Vdc}$, $f = 1.0 \text{ kHz}$)	2N2218A, 2N2221A, 2N5581 2N2219A, 2N2222A, 2N5582	h_{re}	— —	5.0 8.0	$\times 10^{-4}$
($I_C = 10 \text{ mAdc}$, $V_{CE} = 10 \text{ Vdc}$, $f = 1.0 \text{ kHz}$)	2N2218A, 2N2221A, 2N5581 2N2219A, 2N2222A, 2N5582		— —	2.5 4.0	
Small-Signal Current Gain ($I_C = 1.0 \text{ mAdc}$, $V_{CE} = 10 \text{ Vdc}$, $f = 1.0 \text{ kHz}$)	2N2218A, 2N2221A, 2N5581 2N2219A, 2N2222A, 2N5582	h_{fe}	30 50	150 300	—
($I_C = 10 \text{ mAdc}$, $V_{CE} = 10 \text{ Vdc}$, $f = 1.0 \text{ kHz}$)	2N2218A, 2N2221A, 2N5581 2N2219A, 2N2222A, 2N5582		50 75	300 375	
Output Admittance ($I_C = 1.0 \text{ mAdc}$, $V_{CE} = 10 \text{ Vdc}$, $f = 1.0 \text{ kHz}$)	2N2218A, 2N2221A, 2N5581 2N2219A, 2N2222A, 2N5582	h_{oe}	3.0 5.0	15 35	μmhos
($I_C = 10 \text{ mAdc}$, $V_{CE} = 10 \text{ Vdc}$, $f = 1.0 \text{ kHz}$)	2N2218A, 2N2221A, 2N5581 2N2219A, 2N2222A, 2N5582		10 25	100 200	
Collector-Base Time Constant, ($I_E = 20 \text{ mAdc}$, $V_{CB} = 20 \text{ Vdc}$, $f = 31.8 \text{ MHz}$)	A-Suffix, 2N5581, 2N5582	$r_b' C_C$	—	150	ps
Noise Figure ($I_C = 100 \mu\text{Adc}$, $V_{CE} = 10 \text{ Vdc}$, $R_S = 1.0 \text{ k ohm}$, $f = 1.0 \text{ kHz}$)	2N2219A, 2N2222A	NF	—	4.0	dB

SWITCHING CHARACTERISTICS (A-Suffix, 2N5581 and 2N5582)

Delay Time	$(V_{CC} = 30 \text{ Vdc}$, $V_{BE}(\text{off}) = 0.5 \text{ Vdc}$, $I_C = 150 \text{ mAdc}$, $I_{B1} = 15 \text{ mAdc}$) (Figure 14)	t_d	—	10	ns
Rise Time		t_r	—	25	ns
Storage Time	$(V_{CC} = 30 \text{ Vdc}$, $I_C = 150 \text{ mAdc}$, $I_{B1} = I_{B2} = 15 \text{ mAdc}$) (Figure 15)	t_s	—	225	ns
Fall Time		t_f	—	60	ns
Active Region Time Constant** ($I_C = 150 \text{ mAdc}$, $V_{CE} = 30 \text{ Vdc}$)		T_A	—	2.5	ns

* Indicates JEDEC Registered Data.

** Motorola Guarantees this Data in Addition to JEDEC Registered Data.

(1) Pulse Test: Pulse Width $\leq 300 \mu\text{s}$, Duty Cycle $\leq 2.0\%$.

(2) f_T is defined as the frequency at which $|h_{fe}|$ extrapolates to unity.

(3) 2N5581 and 2N5582 are Listed C_{cb} and C_{ob} for these conditions and values.

เอกสารนี้เป็นเอกสารที่สงวนไว้สำหรับการใช้งานเพื่อการศึกษาเท่านั้น ไม่อนุญาตให้นำไปใช้ประโยชน์ด้านการค้า
ไม่ว่ากรณีใดๆทั้งสิ้น อีกทั้งห้ามมิให้ดัดแปลงเนื้อหา และต้องอ้างอิงถึงเจ้าของเอกสารทุกครั้งที่มีการนำไปใช้

SWITCHING TIME CHARACTERISTICS

FIGURE 11 - TURN-ON TIME

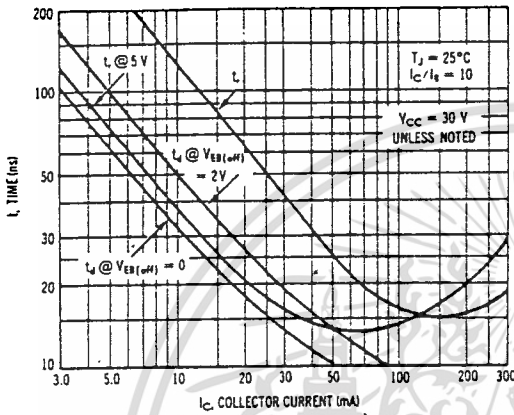


FIGURE 12 - CHARGE DATA

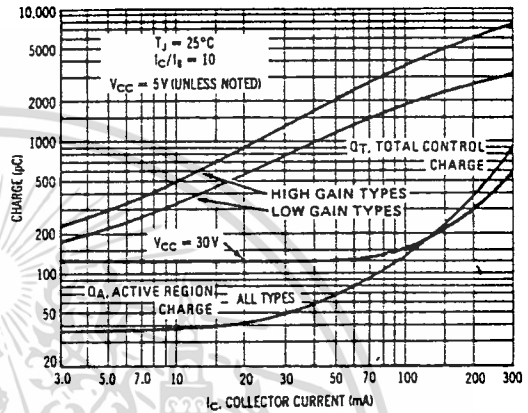


FIGURE 13 - TURN OFF BEHAVIOR

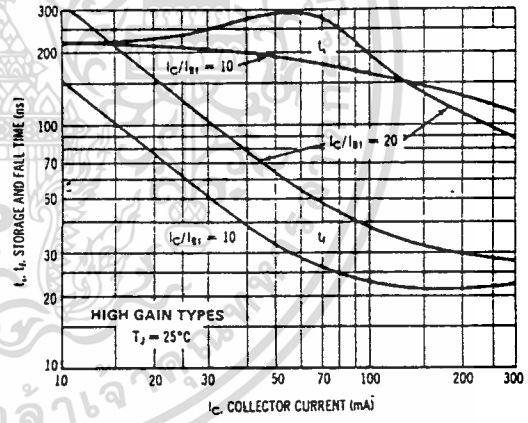
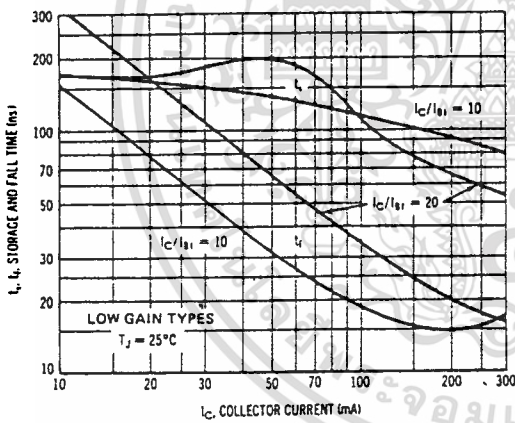


FIGURE 14 - DELAY AND RISE TIME EQUIVALENT TEST CIRCUIT

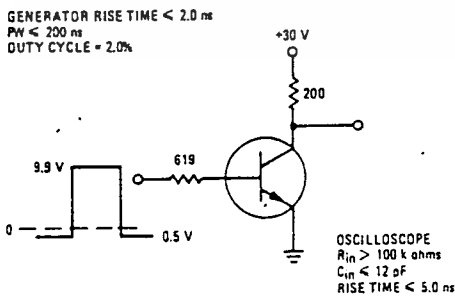
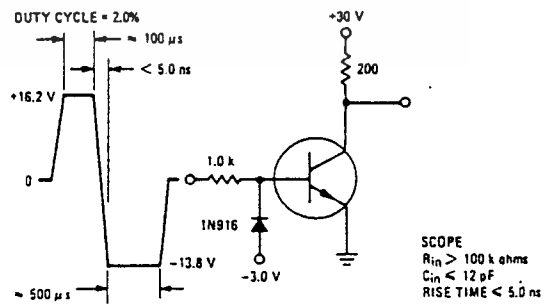


FIGURE 15 - STORAGE TIME AND FALL TIME EQUIVALENT TEST CIRCUIT



2N2218,A, 2N2219,A, 2N2221,A, 2N2222,A, 2N5581, 2N5582 (continued)

FIGURE 16 - CURRENT-GAIN-BANDWIDTH PRODUCT AND COLLECTOR-BASE TIME CONSTANT DATA

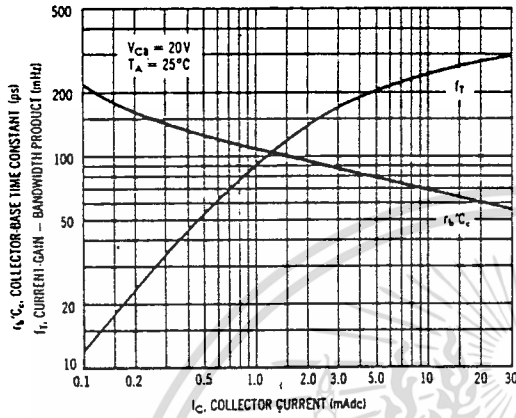


FIGURE 17 - CAPACITANCES

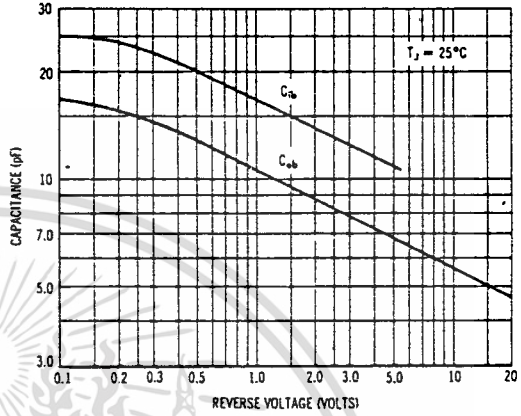
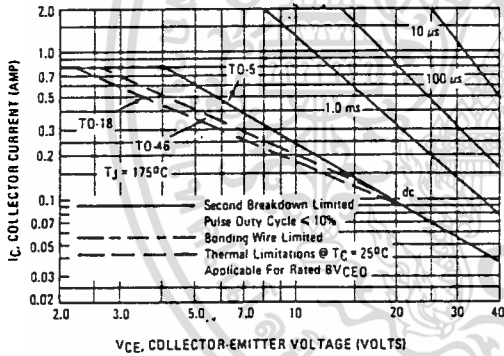


FIGURE 18 - ACTIVE-REGION SAFE OPERATING AREAS

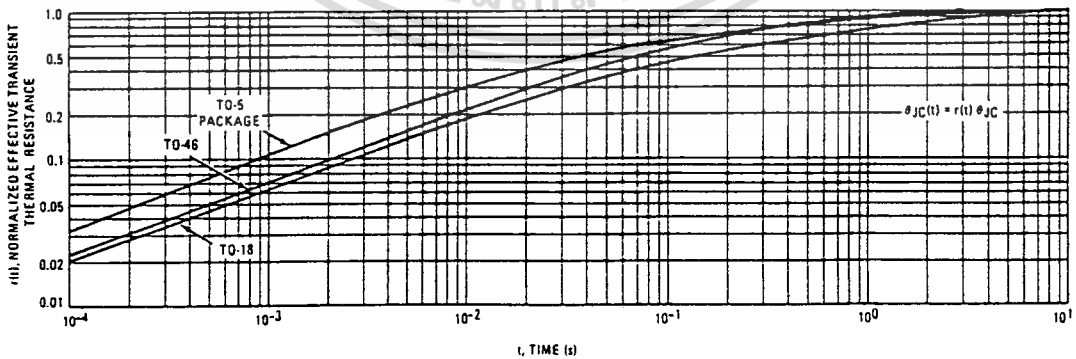


This graph shows the maximum I_C - V_{CE} limits of the device both from the standpoint of thermal dissipation (at $25^\circ C$ case temperature), and secondary breakdown. For case temperatures other than $25^\circ C$, the thermal dissipation curve must be modified in accordance with the derating factor in the Maximum Ratings table.

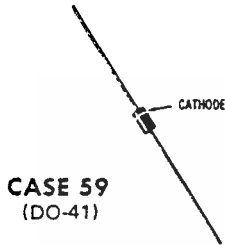
To avoid possible device failure, the collector load line must fall below the limits indicated by the applicable curve. Thus, for certain operating conditions the device is thermally limited, and for others it is limited by secondary breakdown.

For pulse applications, the maximum I_C - V_{CE} product indicated by the dc thermal limits can be exceeded. Pulse thermal limits may be calculated by using the transient thermal resistance curve of Figure 19.

FIGURE 19 - THERMAL RESPONSE



1N4001 thru 1N4007



Surmetic rectifiers, subminiature size, axial lead mounted rectifiers for general purpose low-power applications.

MAXIMUM RATINGS

Rating	Symbol	1N4001	1N4002	1N4003	1N4004	1N4005	1N4006	1N4007	Unit
Peak Repetitive Reverse Voltage Working Peak Reverse Voltage DC Blocking Voltage	$V_{RM(rep)}$ $V_{RM(wkg)}$ V_R	50	100	200	400	600	800	1000	Volts
Non-Repetitive Peak Reverse Voltage (halfwave, single phase, 60 Hz peak)	$V_{RM(non-rep)}$	75	150	300	600	900	1200	1500	Volts
RMS Reverse Voltage	V_R	35	70	140	280	420	560	700	Volts
Average Rectified Forward Current (single phase, resistive load, 60 Hz, see Figure 6, $T_A = 75^\circ\text{C}$)	I_O	1.0							Amp
Non-Repetitive Peak Surge Current (surge applied at rated load conditions, see Figure 2)	$I_{FM(surge)}$	30 (for 1 cycle)							Amp
Operating and Storage Junction Temperature Range	T_J, T_{stg}	-65 to +175							$^\circ\text{C}$

ELECTRICAL CHARACTERISTICS

Characteristic and Conditions	Symbol	Max	Unit
Maximum Instantaneous Forward Voltage Drop ($I_F = 1.0$ Amp. $T_J = 25^\circ\text{C}$) Figure 1	V_F	1.1	Volts
Maximum Full-Cycle Average Forward Voltage Drop ($I_O = 1.0$ Amp. $T_L = 75^\circ\text{C}$. 1 inch leads)	$V_{F(AV)}$	0.8	Volts
Maximum Reverse Current (rated dc voltage) $T_J = 25^\circ\text{C}$ $T_J = 100^\circ\text{C}$	I_R	0.01 0.05	mA
Maximum Full-Cycle Average Reverse Current ($I_O = 1.0$ Amp. $T_L = 75^\circ\text{C}$. 1 inch leads)	$I_{R(AV)}$	0.03	mA

เอกสารนี้เป็นเอกสารที่สงวนไว้สำหรับการใช้งานเพื่อการศึกษาเท่านั้น ไม่อนุญาตให้นำไปใช้ประโยชน์ด้านการค้า
ไม่ว่ากรณีใดๆทั้งสิ้น อีกทั้งห้ามมิให้ดัดแปลงเนื้อหา และต้องอ้างอิงถึงเจ้าของเอกสารทุกครั้งที่มีการนำไปใช้

1N4001 thru 1N4007 (continued)

MECHANICAL CHARACTERISTICS

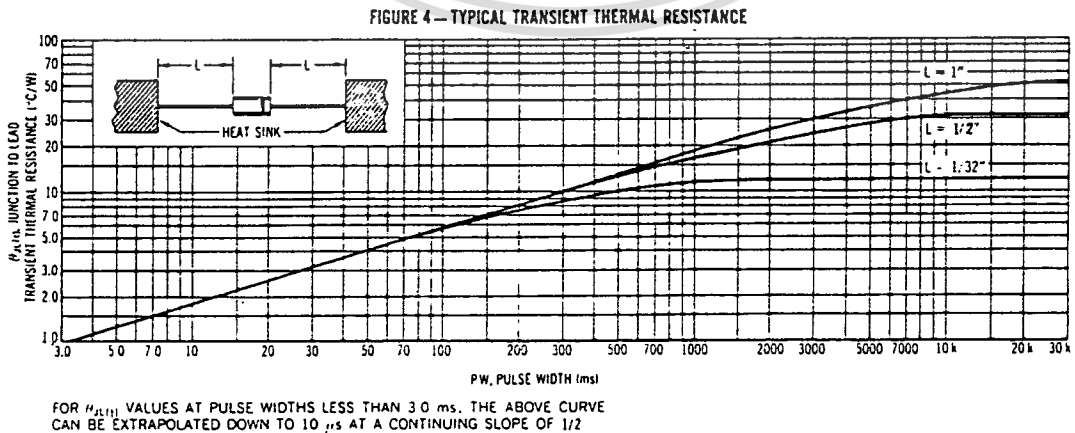
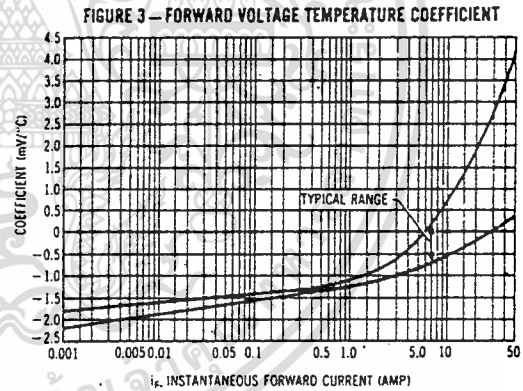
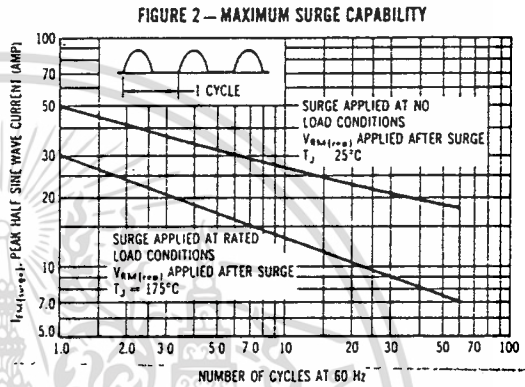
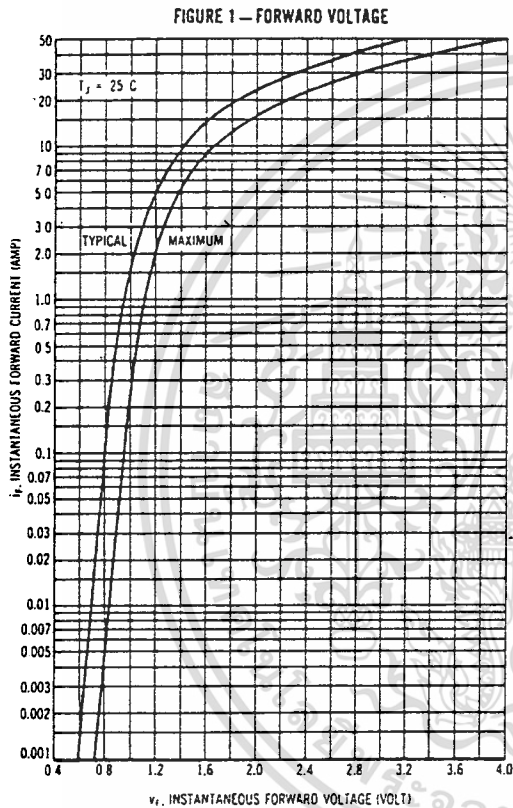
CASE: Void free. Transfer Molder

MAXIMUM LEAD TEMPERATURE FOR SOLDERING PURPOSES: 350°C, 3/8" from case for 10 seconds at 5 lbs. tension

FINISH: All external surfaces are corrosion-resistant, leads are readily solderable

POLARITY: Cathode indicated by color band

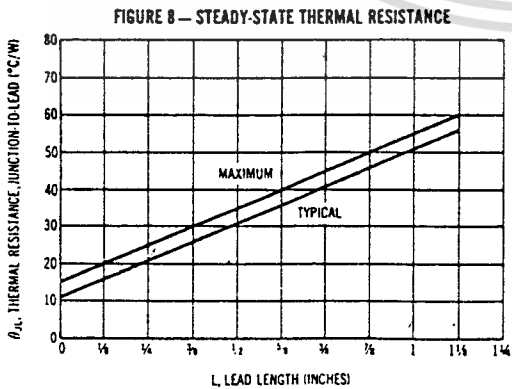
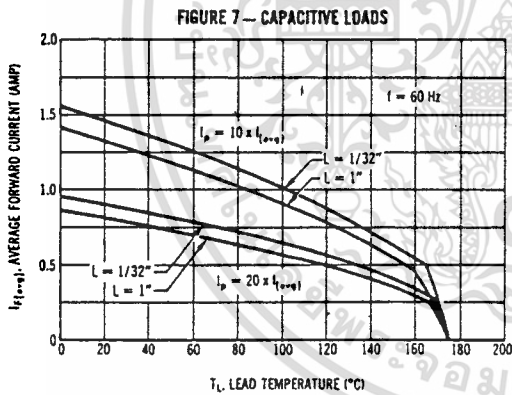
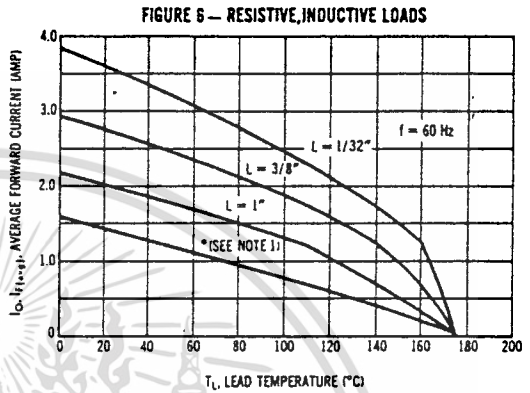
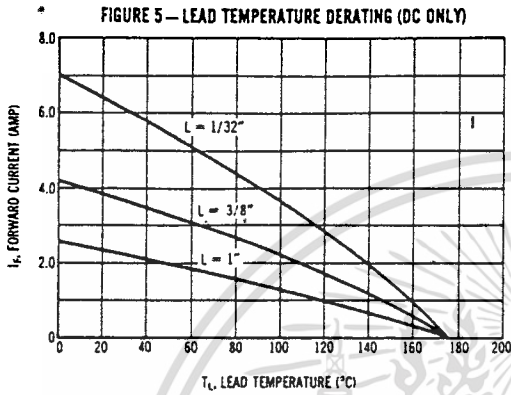
WEIGHT: 0.40 Grams (approximately)



เอกสารนี้เป็นเอกสารที่สงวนไว้สำหรับการใช้งานเพื่อการศึกษาเท่านั้น ไม่อนุญาตให้นำไปใช้ประโยชน์ด้านการค้า
ไม่ว่ากรณีใดๆทั้งสิ้น อีกทั้งห้ามมิให้ดัดแปลงเนื้อหา และต้องอ้างอิงถึงเจ้าของเอกสารทุกครั้งที่มีการนำไปใช้

1N4001 thru 1N4007 (continued)

CURRENT DERATING DATA



NOTES

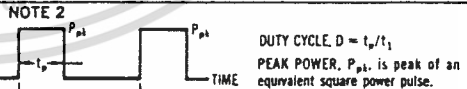
NOTE 1
Data shown for thermal resistance junction-to-ambient (θ_{JA}) for the mountings shown is to be used as typical guideline values for preliminary engineering or in case the tie point temperature cannot be measured.

TYPICAL VALUES FOR θ_{JA} IN STILL AIR



MOUNTING METHOD	LEAD LENGTH, L (IN.)	θ_{JA}
1	1/32	75
1	3/8	85
1	1	85
2	55	72
2	72	85
2	85	85

*Using Mounting Method 1 or 2 with $L = 1"$ the curve marked * in Figure 6 can be used for 60 Hz half-wave resistive/inductive load (Rating vs. Ambient Temperature). The abscissa of Figure 6 then indicates T_L in $^{\circ}$ C.



To determine maximum junction temperature of the diode in a given situation, the following procedure is recommended:

The temperature of the lead should be measured using a thermocouple placed on the lead as close as possible to the tie point. The thermal mass connected to the tie point is normally large enough so that it will not significantly respond to heat surges generated in the diode as a result of pulsed operation once steady-state conditions are achieved. Using the measured value of T_L , the junction temperature may be determined by:

$$T_J = T_L + \Delta T_{JL}$$

where ΔT_{JL} is the increase in junction temperature above the lead temperature. It may be determined by:

$$\Delta T_{JL} = P_{pk} \left[\theta_{JL(t_1)} \cdot D + (1 - D) \cdot \theta_{JL(t_1 + t_p)} - \theta_{JL(t_1)} - \theta_{JL(t_1 + t_p)} \right]$$

where $\theta_{JL(t)}$ = value of transient thermal resistance at time t , i.e.:

$\theta_{JL(t_1 + t_p)}$ = value of $\theta_{JL(t)}$ at time $t_1 + t_p$

$\theta_{JL(t_p)}$ = value of $\theta_{JL(t)}$ at end of pulse width t_p

$\theta_{JL(t_1)}$ = value of $\theta_{JL(t)}$ at time t_1

1N4001 thru 1N4007 (continued)

TYPICAL DYNAMIC CHARACTERISTICS

FIGURE 9 — FORWARD RECOVERY TIME

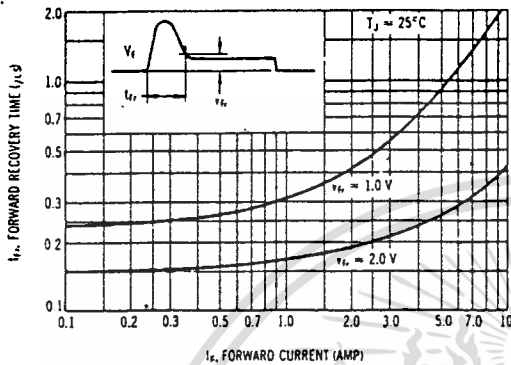


FIGURE 10 — REVERSE RECOVERY TIME

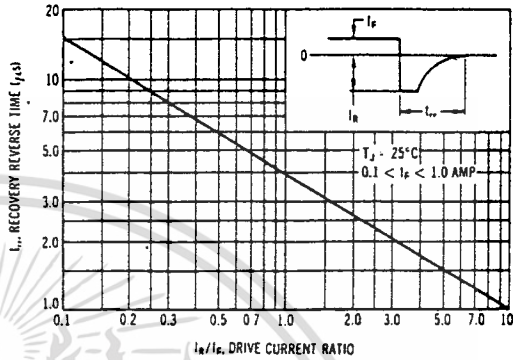


FIGURE 11 — RECTIFICATION WAVEFORM EFFICIENCY

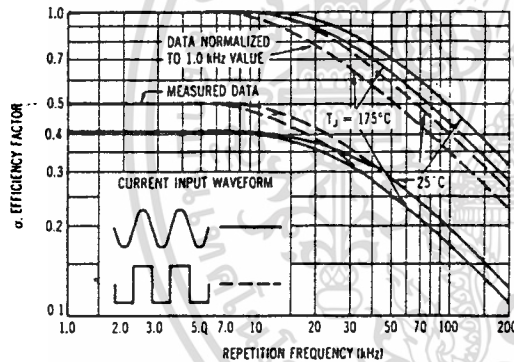
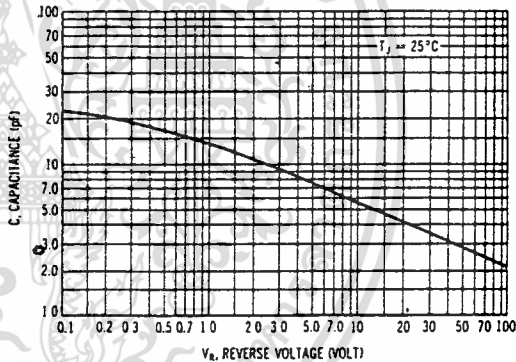
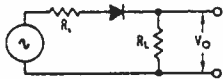


FIGURE 12 — JUNCTION CAPACITANCE



RECTIFIER EFFICIENCY NOTE

FIGURE 13 — SINGLE-PHASE HALF-WAVE RECTIFIER CIRCUIT



The rectification efficiency factor σ shown in Figure 11 was calculated using the formula:

$$\sigma = \frac{P_{dc}}{P_{rms}} = \frac{V_{dc}^2}{V_{rms}^2} \cdot 100\% = \frac{V_{dc}^2}{V_{dc}^2 + V_{ac}^2} \cdot 100\% \quad (1)$$

For a sine wave input $V_m \sin \omega t$ to the diode, assumed lossless, the maximum theoretical efficiency factor becomes:

$$\sigma(\text{sine}) = \frac{V_m^2}{\frac{2}{\sqrt{2}} R_L} \cdot 100\% = \frac{4}{\sqrt{2}} \cdot 100\% = 40.6\% \quad (2)$$

For a square wave input of amplitude V_m , the efficiency factor becomes:

$$\sigma(\text{square}) = \frac{V_m^2}{\frac{2}{\sqrt{2}} R_L} \cdot 100\% = 50\% \quad (3)$$

(A full wave circuit has twice these efficiencies!)

As the frequency of the input signal is increased, the reverse recovery time of the diode (Figure 10) becomes significant, resulting in an increasing ac voltage component across R_L which is opposite in polarity to the forward current, thereby reducing the value of the efficiency factor σ , as shown on Figure 11.

It should be emphasized that Figure 11 shows waveform efficiency only; it does not provide a measure of diode losses. Data was obtained by measuring the ac component of V_O with a true rms ac voltmeter and the dc component with a dc voltmeter. The data was used in Equation 1 to obtain points for Figure 11.

MC3346 MC3386

ORDERING INFORMATION

Device	Temperature Range	Package
MC3346P	-40°C to +85°C	Plastic DIP
MC3386P	-40°C to +85°C	Plastic DIP

ONE DIFFERENTIALLY-CONNECTED PAIR AND THREE ISOLATED TRANSISTOR ARRAY

The MC3346 and MC3386 are designed for general-purpose, low power applications for consumer and industrial designs.

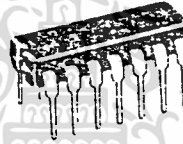
- Guaranteed Base-Emitter Voltage Matching
- Operating Current Range Specified - 10 μ A to 10 mA
- Five General-Purpose Transistors in One Package

GENERAL PURPOSE TRANSISTOR ARRAY

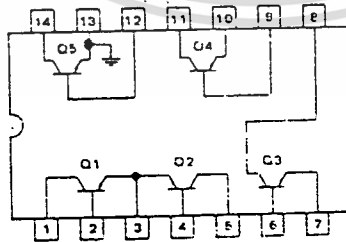
SILICON MONOLITHIC
INTEGRATED CIRCUIT

MAXIMUM RATINGS

Rating	Symbol	Value	Unit
Collector-Emitter Voltage	V _{CEC}	15	V _{dc}
Collector Base Voltage	V _{CB0}	20	V _{dc}
Emitter Base Voltage	V _{EB}	5.0	V _{dc}
Collector Substrate Voltage	V _{CS0}	20	V _{dc}
Collector Current - Continuous	I _C	50	mA _{dc}
Total Power Dissipation @ T _A = 25°C	P _D	1.2	Watts
Dissate above 25°C		10	mW/°C
Dissate Each Transistor @ 25°C		300	mW/°C
Operating Temperature Range	T _A	-40 to +85	°C
Storage Temperature Range	T _{stg}	-65 to +150	°C



P SUFFIX
PLASTIC PACKAGE
CASE 646-05



Pin 13 is connected to substrate

MOTOROLA LINEAR/INTERFACE DEVICES

เอกสารนี้เป็นเอกสารที่สงวนไว้สำหรับการใช้งานเพื่อการศึกษาเท่านั้น ไม่อนุญาตให้นำไปใช้ประโยชน์ด้านการค้า
ไม่ว่ากรณีใดๆทั้งสิ้น อีกทั้งห้ามมิให้ดัดแปลงเนื้อหา และต้องอ้างอิงถึงเจ้าของเอกสารทุกครั้งที่มีการนำไปใช้

MC3346, MC3386

ELECTRICAL CHARACTERISTICS

Characteristic	Symbol	MC3346P			MC3386P			Unit
		Min	Typ	Max	Min	Typ	Max	
STATIC CHARACTERISTICS								
Collector-Base Breakdown Voltage ($I_C = 10 \mu\text{A}$)	$V_{(BR)CB}$	20	60	-	20	60	-	Vdc
Collector-Emitter Breakdown Voltage ($I_C = 1.0 \text{ mA}$)	$V_{(BR)CE}$	15	-	-	15	-	-	Vdc
Collector-Substrate Breakdown Voltage ($I_C = 10 \mu\text{A}$)	$V_{(BR)CS}$	20	60	-	20	60	-	Vdc
Emitter-Base Breakdown Voltage ($I_E = 10 \mu\text{A}$)	$V_{(BR)EB}$	5.0	7.0	-	5.0	7.0	-	Vdc
Collector-Base Cutoff Current ($V_{CB} = 10 \text{ Vdc}, I_E = 0$)	I_{CBO}	-	-	40	-	-	100	nAdc
DC Current Gain ($I_C = 10 \text{ mA}, V_{CE} = 3.0 \text{ Vdc}$) ($I_C = 1.0 \text{ mA}, V_{CE} = 3.0 \text{ Vdc}$) ($I_C = 10 \mu\text{A}, V_{CE} = 3.0 \text{ Vdc}$)	h_{FE}	-	140	-	-	130	-	-
Base-Emitter Voltage ($V_{CE} = 3.0 \text{ Vdc}, I_E = 1.0 \text{ mA}$) ($V_{CE} = 3.0 \text{ Vdc}, I_E = 10 \text{ mA}$)	V_{BE}	-	0.72 0.80	-	-	0.72 0.80	-	Vdc
Input Offset Current for Matched Pair Q1 and Q2 ($V_{CE} = 3.0 \text{ Vdc}, I_C = 1.0 \text{ mA}$)	$ I_{O1} $ $ I_{O2} $	-	0.5	2.0	-	0.5	-	μAdc
Magnitude of Input Offset Voltage ($V_{CE} = 3.0 \text{ Vdc}, I_C = 1.0 \text{ mA}$)	-	-	0.5	5.0	-	0.5	-	mVdc
Temperature Coefficient of Base-Emitter Voltage ($V_{CE} = 3.0 \text{ Vdc}, I_C = 1.0 \text{ mA}$)	$\frac{\Delta V_{BE}}{\Delta T}$	-	-1.9	-	-	-1.9	-	$\text{mV}/^\circ\text{C}$
Temperature Coefficient	$\frac{\Delta V_{GS}}{\Delta T}$	-	1.0	-	-	1.0	-	$\mu\text{Adc}/^\circ\text{C}$
Collector-Emitter Cutoff Current ($V_{CE} = 10 \text{ Vdc}, I_B = 0$)	I_{CEO}	-	-	0.5	-	-	5.0	μAdc
DYNAMIC CHARACTERISTICS								
Low Frequency Noise Figure ($V_{CE} = 3.0 \text{ Vdc}, I_C = 100 \mu\text{A}, R_S = 1.0 \text{ k}\Omega, f = 1.0 \text{ kHz}$)	NF	-	5.25	-	-	5.25	-	dB
Forward Current Transfer Ratio ($V_{CE} = 3.0 \text{ Vdc}, I_C = 1.0 \text{ mA}, f = 1.0 \text{ kHz}$)	h_{FE}	-	140	-	-	140	-	-
Short-Circuit Input Impedance ($V_{CE} = 3.0 \text{ Vdc}, I_C = 1.0 \text{ mA}$)	h_{ie}	-	3.5	-	-	3.5	-	$\text{k}\Omega$
Open Circuit Output Impedance ($V_{CE} = 3.0 \text{ Vdc}, I_C = 1.0 \text{ mA}$)	h_{oe}	-	15.6	-	-	15.6	-	μmho
Reverse Voltage Transfer Ratio ($V_{CE} = 3.0 \text{ Vdc}, I_C = 1.0 \text{ mA}$)	h_{re}	-	1.8	-	-	1.8	-	$\times 10^{-4}$
Forward Transfer Admittance ($V_{CE} = 3.0 \text{ Vdc}, I_C = 1.0 \text{ mA}, f = 1.0 \text{ MHz}$)	Y_{fe}	-	31-j1.5	-	-	31-j1.5	-	-
Input Admittance ($V_{CE} = 3.0 \text{ Vdc}, I_C = 1.0 \text{ mA}, f = 1.0 \text{ MHz}$)	Y_{ie}	-	0.3-j0.04	-	-	0.3-j0.04	-	-
Output Admittance ($V_{CE} = 3.0 \text{ Vdc}, I_C = 1.0 \text{ mA}, f = 1.0 \text{ MHz}$)	Y_{oe}	-	0.001+j0.03	-	-	0.001+j0.03	-	-
Current-Gain - Bandwidth Product ($V_{CE} = 3.0 \text{ Vdc}, I_C = 3.0 \text{ mA}$)	f_T	300	550	-	-	550	-	MHz
Emitter-Base Capacitance ($V_{EB} = 3.0 \text{ Vdc}, I_E = 0$)	C_{eb}	-	0.6	-	-	0.6	-	pF
Collector-Base Capacitance ($V_{CB} = 3.0 \text{ Vdc}, I_C = 0$)	C_{cb}	-	0.55	-	-	0.58	-	pF
Collector-Substrate Capacitance ($V_{CS} = 3.0 \text{ Vdc}, I_C = 0$)	C_{cs}	-	2.8	-	-	2.8	-	pF

MOTOROLA LINEAR INTERFACE DEVICES

เอกสารนี้เป็นเอกสารที่สงวนไว้สำหรับการใช้งานเพื่อการศึกษาเท่านั้น ไม่อนุญาตให้นำไปใช้ประโยชน์ด้านการค้า
ไม่ว่ากรณีใดๆทั้งสิ้น อีกทั้งห้ามมิให้ดัดแปลงเนื้อหา และต้องอ้างอิงถึงเจ้าของเอกสารทุกครั้งที่มีการนำไปใช้

กิติกรรมประกาศ

Project นี้สำเร็จลงได้โดยได้รับคำแนะนำและความช่วยเหลือจากอาจารย์ ผู้ช่วยศาสตราจารย์ วิชัย สุรพัฒน์ ตลอดจนเพื่อนๆ ซึ่งให้ความร่วมมือและความช่วยเหลือเป็นอย่างดี ผู้จัดทำขอขอบคุณทุกท่านที่กล่าวนามมาข้างตนเป็นอย่างสูงมา ณ. ที่นี้ด้วย

สุดท้ายผู้จัดทำขอขอบคุณ คุณ เอมอร บุญสิทธิ์ ที่ได้ให้ความอนุเคราะห์ในการจัดพิมพ์วิทยานิพนธ์เล่มนี้จนสำเร็จลงได้โดยดี

ชัยชนะ ภัทรสว่างวงศ์
ปัญญา สิทธิเวช



เอกสารนี้เป็นเอกสารที่สงวนไว้สำหรับการใช้งานเพื่อการศึกษาเท่านั้น ไม่อนุญาตให้นำไปใช้ประโยชน์ด้านการค้า
ไม่ว่ากรณีใดๆทั้งสิ้น อีกทั้งห้ามมิให้ตัดแปลงเนื้อหา และต้องอ้างอิงถึงเจ้าของเอกสารทุกครั้งที่มีการนำไปใช้

หนังสืออ้างอิง

1. Jim Sherwin and Tim Regan, "FM. Remote Speaker System", National Semiconductor, Application note 146, 1984, Page 390-393.
2. ประเสริฐ โรจนสุวีวัฒน์, "ลำโพงไฮไฟไมทองเกินสาย", วารสารเคมีคอนคักเตอร์อิเล็กทรอนิกส์, ฉบับที่ 86, 2531, หน้า 148-155.
3. อุกม ชีระกาญจน์, "ครูช่าง ตอนที่ 5 การนำจุกหมกพร่องในวงจรขยาย", วารสาร เคมีคอนคักเตอร์อิเล็กทรอนิกส์, ฉบับที่ 65, 2528, หน้า 141-148.

